#### 第4章詳細編(案) 目次

## 第4章 問題点とその原因・要因の考察

- 4.1 基本的な考え方と再生目標
  - 4.1.1 第4章の基本的な考え方
  - 4.1.2 平成 28 年度委員会報告における再生目標
- 4.2 問題点とその原因・要因との考察
  - 4.2.1 有用二枚貝の減少
    - (1) タイラギ
    - (2) アサリ
    - (3) サルボウ
  - 4.2.2 ベントス(底生生物)の変化
  - 4.2.3 ノリ養殖の問題
  - 4.2.4 魚類等の変化
  - 4.2.5 生物の生息環境の確保

2 3

4

5 6

7 8

9

10

11

12

13

14

15

16

17

18

1920

21

22

#### 第4章 問題点とその原因・要因の考察

4.1 基本的な考え方と再生目標

#### 4.1.1 第4章の基本的な考え方

平成 28 年度委員会報告においては、後述する再生目標を踏まえ、生態系を構成する上で、または水産資源として重要と考えられる生物について、「ベントス(底生生物)の変化」、「有用二枚貝の減少」、「ノリ養殖の問題」及び「魚類等の変化」の 4 項目を取り上げ、その基盤となる生物の生息環境とともにこれらの変化に対する問題点及び問題点に関連する可能性が指摘されている原因・要因を、連関図として有明海及び八代海で取りまとめた。

令和8年度委員会報告では、上記主要 4 項目に加えて、その基盤となる「生物の生息環境の確保」(以降、「主要 5 項目」)について、平成 28 年度委員会報告以降に新たに得られた知見を中心に整理するとともに、平成 28 年度委員会報告で示した連関図に対して、主要 5 項目に影響を与える原因・要因に着目し、各原因・要因による影響の大小やプロセスを示すことを目的として、「サブ連関図」を新たに作成する。なお、影響の大小については、定量的な把握が難しいことから、便宜的に、影響が複数年度で確認される場合は「影響が大きい」とし、単年度での確認に留まる場合や影響の大小の判断が出来ないものは「影響が小さいあるいは影響の大小が不明」とした。また、これらサブ連関図の結果を基に、平成 28 年度委員会報告で示した連関図の更新を行った。(付図 4.1.2-1、付図 4.1.2-2)

さらに、平成28年度委員会報告では、海域区分毎に原因・要因の考察を行い、「個別海域ごとの再生方策」を整理している(付図5.X.X第5章にて掲載予定)ことを踏まえ、令和8年度委員会報告では、「個別海域ごとの再生方策」が掲げられた海域を中心に、海域ごとの主な問題点と原因・要因の整理表(以降「要因整理表」)を新たに作成する。

232425

28

#### 4.1.2 平成 28 年度委員会報告における再生目標

26 平成 28 年度委員会報告では、有明海・八代海等の海域全体において目指すべき再生 27 目標(全体目標)を以下のとおり掲げている。

# ○希有な生態系、生物多様性及び水質浄化機能の保全・回復

29 有明海、八代海等は、他の海域ではみられない希有な生態系を有しており、高い生物多30 様性及び豊かな生物生産性を有している。広大な干潟や浅海域は、有明海、八代海等を

- 1 特徴付ける生物種をはじめとする希有な生態系、生物多様性の基盤となるとともに、水質浄
- 2 化機能を有している。このような生態系、生物多様性及び水質浄化機能を、後世に引き継ぐ
- 3 べき自然環境として保全・回復を図る。

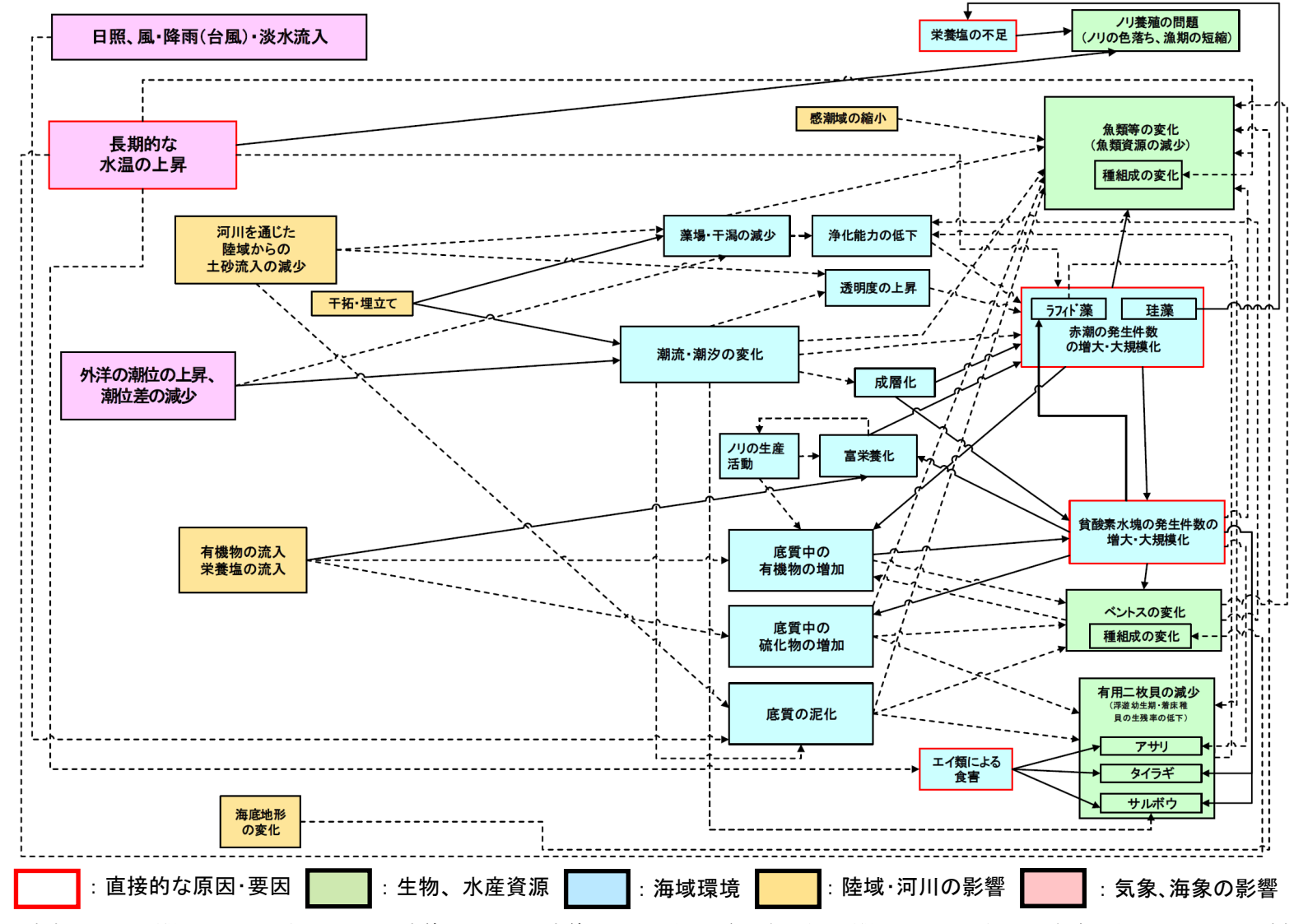
# 4 〇二枚貝等の生息環境の保全・回復と持続的な水産資源の確保

- 5 有明海、八代海等を水産資源の宝庫として後世に引き継ぐためには、海域環境の特性を
- 6 踏まえた上で、底生生物の生息環境を保全・再生し、二枚貝等の生産性の回復をはじめと
- 7 する底生生態系の再生を図り、ノリ養殖、二枚貝及び魚類等(養殖を含む)の多種多様な水
- 8 産資源等の持続的・安定的な確保を図る。

9

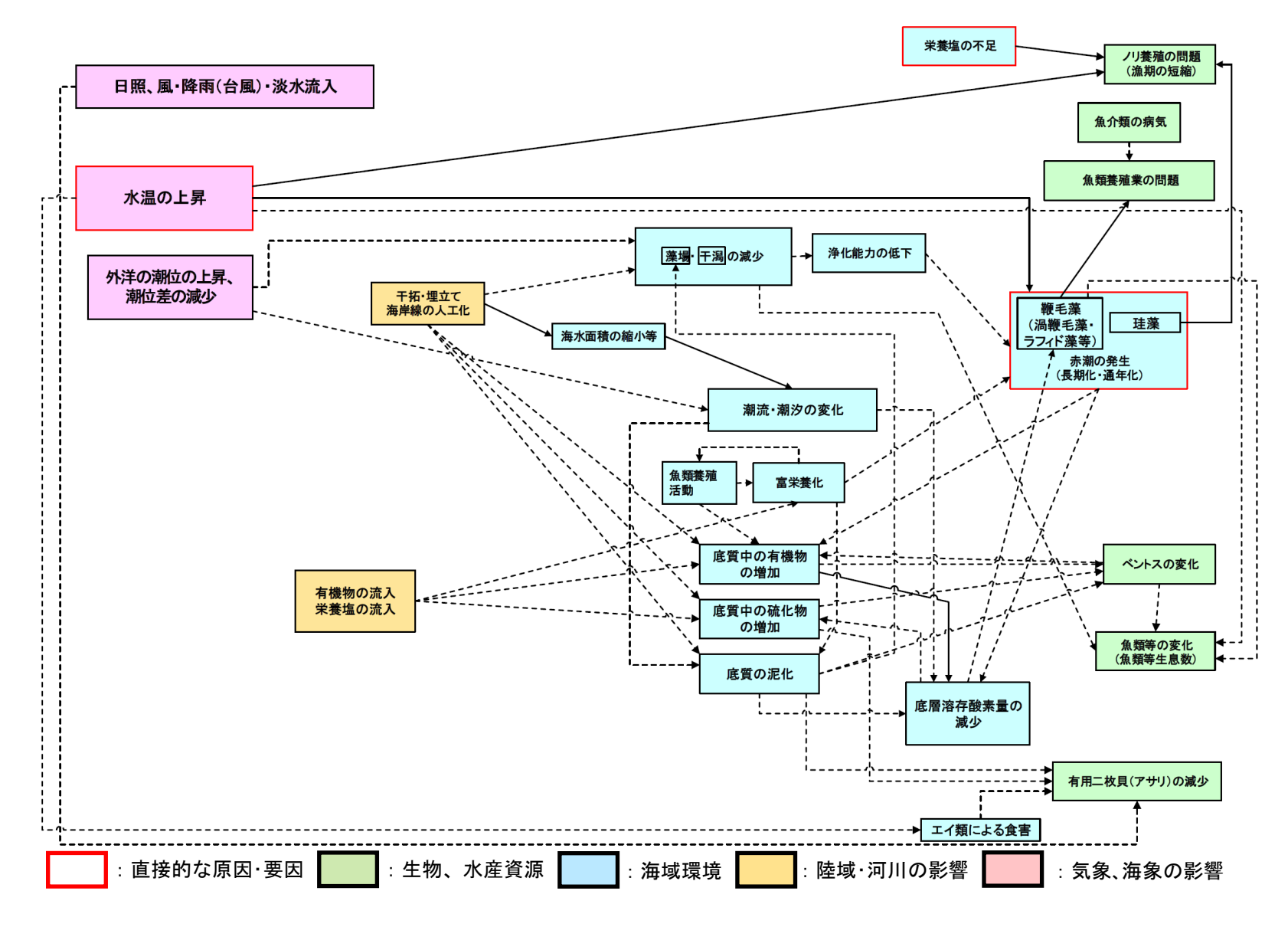
- 10 これらの目標は、独立しているものではなく、希有な生態系、生物多様性の保全・再生、
- 11 水産資源等の回復及び持続的かつ安定的な確保は、共に達成されるべきものである。

12



注)本報告書において影響があることを確認したものを実線で、その他を点線で示した。なお、有明海の中で影響があることを確認した海域区分が一つでもあれば実線で示している。

付図 4.1.2-1 有明海における問題点と原因・要因との関連 ※更新予定



注)本報告書において影響があることを確認したものを実線で、その他を点線で示した。なお、八代海の中で影響があることを確認した海域区分が一つでもあれば実線で示している。

付図 4.1.2-2 八代海における問題点と原因・要因との関連 ※更新予定

#### 4.2 問題点とその原因・要因との関連

## 4.2.1 有用二枚貝の減少

本節では、1970年頃以降の漁獲量が年間数万tを超えたことのある有用二枚貝3種に関し、 問題点とその原因・要因との関連についての考察をまとめた。

#### (1) タイラギ

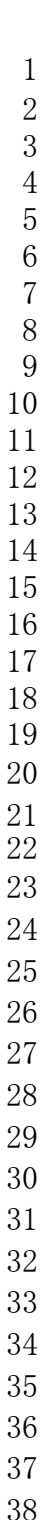
1 2

 平成28年度委員会報告における問題点等を以下に示す。

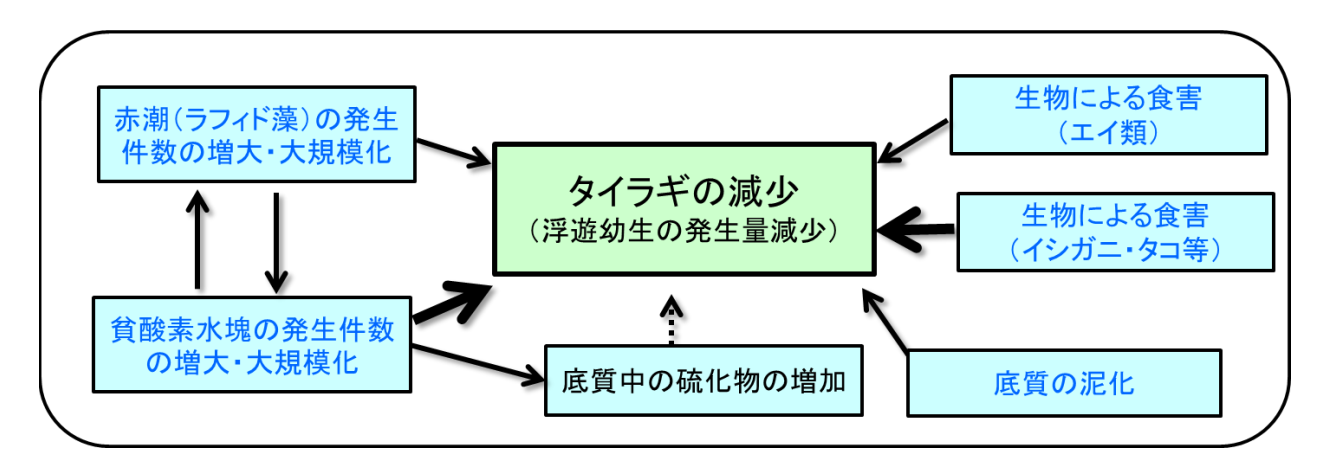
- ・2012 年以降にタイラギの資源量の低下傾向が顕著になっており、2012 年から休漁状態が続いている。その要因として、エイ類による食害や、着底後、翌年に発生する「立ち枯れへい死」と呼ばれる原因不明の大量死や、貧酸素水塊の影響が推定されている。また、タイラギの浮遊幼生や着底稚貝の量が2012 年以降低位で推移していると類推される。
- ・ タイラギの親貝資源の減少によって、浮遊幼生の発生量と着底稚貝が減少し、資源の 再生産に大きな支障が生じている可能性が示唆された。
- ・タイラギの立ち枯れへい死の多くは春期から秋期にかけて発生し、貧酸素水塊、基礎生産力(特に浮遊珪藻)の低下による餌不足、濁りによる摂食障害、硫化水素などの底質中の有害物質、ウイルスの影響などの懸念が示されているが、原因の特定には至っていない。また、赤潮の発生件数の増大・大規模化によるタイラギへの影響に関する知見も確認されていない。
- ・ 浮泥の存在がタイラギに悪影響を及ぼすとの知見がある。

令和8年度委員会報告では、3.9 生物で述べたとおり、タイラギについては、1992 年以降、タイラギ生息域分布が A2 海域に偏る傾向がみられる。この海域では着底稚貝の資源への加入が極めて少なく、局所的に発生した稚貝も主に春期から夏期にかけて立ち枯れへい死等によって大量減耗し、成貝まで到達していない。また、2012 年以降、稚貝の出現密度がそれまでの1割以下に減少し、浮遊幼生の出現低下によると思われる稚貝の資源量の低下傾向が顕著になっている。ただし、浮遊幼生に関して、A6 海域を対象とした広域調査においては、2018 年度頃から浮遊幼生の出現数は増加の兆しがみられる。

平成 28 年度委員会報告以降に新たに得られた知見をサブ連関図及び要因整理表に整理した(付図 4.2.1-1 及び付表 4.2.1-1)。



40



注) : 平成 28 年度委員会報告にて示した原因・要因( : 生物、水産資源、 : 海域環境)

**青字**: 平成 28 年度委員会報告以降に新たな知見が得られた事象

→ (太実線):影響が大きい(複数年度で影響が確認される場合)

→ (実線) :影響が小さい (単年度での影響の確認に留まる場合あるいは影響の大小が不明)

→ (点線) :影響が確認できなかったもの

付図 4.2.1-1 タイラギの減少と原因・要因との関連(サブ連関図)

付表 4.2.1-1 海域区分別のタイラギの減少と原因・要因との関連(要因整理表)

	A2海域	A3海域	A4海域	A6海域	他の 海域等	備考
生物による食害(エイ類)	Δ*	Δ*	Δ*	Δ*	_	
生物による食害(イシガニ・タコ等)	0*	0*	_	0*	0*	他の海域はA7海域
貧酸素水塊の発生件数 の増大・大規模化	0*	0*	_	_	0*	夏期に貧酸素水塊 が発生 他の海域はA1海域
底質中の硫化物の増加	_	_	_	_	_	
底質の泥化	Δ*	-	_	_	_	
赤潮(ラフィド藻)の発生 件数の増大・大規模化	_	Δ*	_	_	_	夏期に赤潮が発生

注) 〇:影響が大きい(複数年度で影響が確認される場合)

△:影響が小さい(単年度での影響の確認に留まる場合あるいは影響の大小が不明)

-:影響が確認できなかったもの

※: 平成28年度委員会報告以降に新たな知見が得られた事象

#### ア) 浮遊幼生の発生量減少

平成 28 年度委員会報告において、2010 年以降のタイラギ資源量の低迷の要因の一つとして、浮遊幼生の発生量減少が挙げられている。

タイラギ浮遊幼生量については、3.9.4 において述べたとおり、1981 年、1982 年及び 1984 年の調査では、浮遊幼生・稚貝ともに広範囲に分布していたのに対し、2012 年以降は、2020 年を除き低位で推移しており、稚貝の分布状況も含めて、浮遊幼生の出現低下によると思われる稚貝の資源量の低下傾向が顕著になっている。一方で、2015 年度に始まった有明海全域を対象とした浮遊幼生調査によると、2020 年から 2024 年までは、調査地点の累計幼生出現数の合計が過年度の結果と比較すると高く、また、広範囲で高い最大出現密度が確認された。これは、4県における人工種苗を用いた母貝によって、浮遊幼生が供給されている結果と推測される。

また、平成28年度委員会報告については、有明海湾奥部(A2、A3海域を合わせたもの)を対象とした福岡県及び佐賀県の調査研究の結果から、1981年のタイラギ成貝は2~3世代で構成されていたが、1999年には1世代群だけ(1歳貝のみ)が再生産を担っており、個体数の減少に加えて、産卵量の多い大型個体が消失したことにより、再生産が縮小・不安定化していると推測された。このことからも、人工種苗による母貝や漁場も含めて適切な資源管理を行い、大型個体を増やしていく必要があると考えられる。

1 2

4 5

#### イ)生物による食害の影響

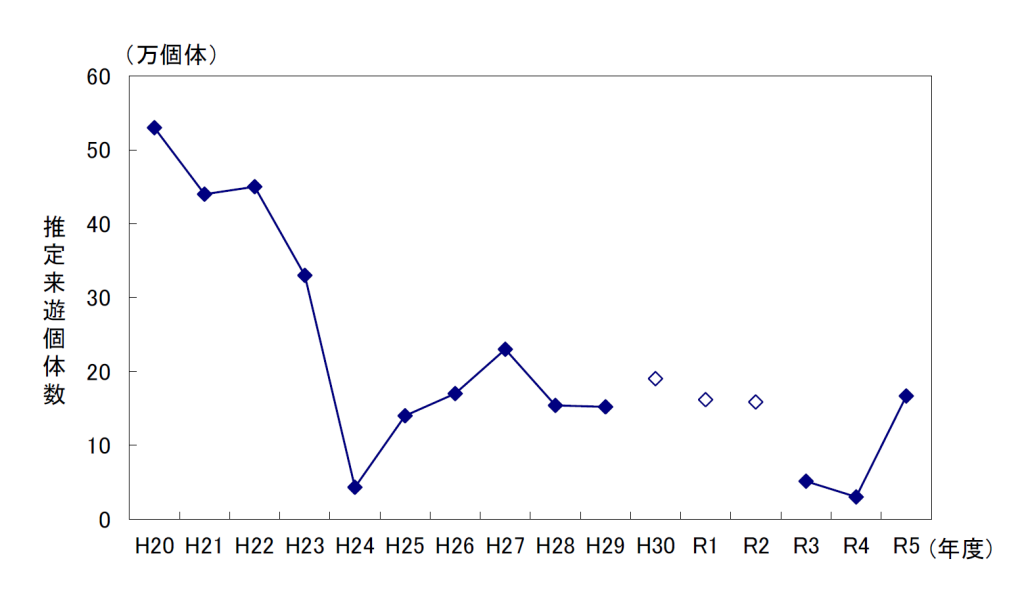
# ① ナルトビエイによる影響

有明海全域において、ナルトビエイは貝類を専食する。雌は雄に比べて長寿で大きく、有明海の内外を季節的に回遊しており、外海の天草灘などが越冬場所であると推定されている<sup>1)</sup>。また、ナルトビエイは新種かつ東アジアの特産種、希少種であることが明らかとなり、成熟までに長い年数を要し、繁殖力が低いことから、生物学的には急に個体数が増えることはないと推定された<sup>1)</sup>。

有明海全域において、捕獲したナルトビエイのサイズデータをもとに、年齢構成・寿命・生残率・産仔数などの生態情報を加味したナルトビエイの来遊量を推定した結果、2008年度~2010年度には 40~50 万個体であったが、2012年度までに大きく減少した 200。その後、変動はあるものの 10~20 万個体でほぼ横ばいで推移している 200(付図 4.2.1–200)。

<sup>1)</sup> 環境省(2025)「有明海・八代海等総合調査評価委員会第16回海域環境再生方策検討作業小委員会資料2」

<sup>2)</sup> 環境省(2024)「有明海・八代海等総合調査評価委員会第14回水産資源再生方策検討作業小委員会資料2-1」



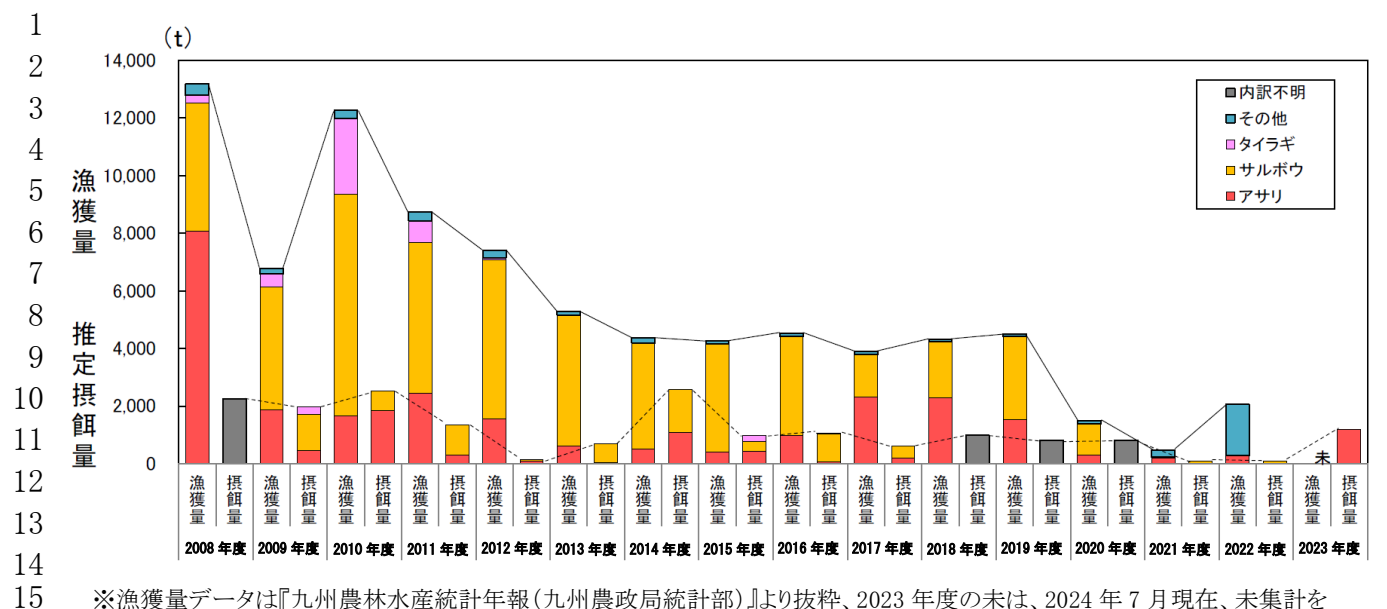
※ 平成30年度は体盤幅、生残率、混獲率、令和元年度、令和2年度は生残率、混獲率の調査を実施していないため、 平成27~29年度の3か年の平均値を使用してDOIRAP法で推定した参考値を示した。

付図 4.2.1-2 ナルトビエイ推定来遊個体数の経年変化

出典:環境省(2024)「有明海・八代海等総合調査評価委員会第14回水産資源再生方策検討作業小委員会資料2」

有明海におけるナルトビエイの推定来遊量に対して、胃内容物のアサリ、サルボウ、タイラギの比率を掛けて算出した水産有用二枚貝類の推定摂餌量を付図 4.2.1-3 に示す。2008 年度  $\sim 2010$  年度の  $2,000t \sim 2,500t$  から、2012 年度には 200t 以下にまで減少した。2015 年度以降は 1,000t 程度で横ばいの状況である  $^2$ 。

有明海におけるナルトビエイによる水産有用二枚貝類の推定摂餌量は、漁獲量の 13~59% で推移しているが、ナルトビエイ胃内容物調査の結果、捕食されたタイラギの確認は 2009 年度、2011 年度、2015 年度の 3 か年のみで、ごくまれであった 2)。



※漁獲量データは『九州農林水産統計年報(九州農政局統計部)』より抜粋、2023 年度の未は、2024 年 7 月現在、未集計を示す。

※2008年度は胃内容物調査を実施していないため、内訳不明の参考値を示した。

※2018 年度~2020 年度は来遊量が参考値であり、胃内容物調査を実施していないため、内訳不明の参考値を示した。

# 付図 4.2.1-3 水産有用二枚貝類漁獲量とナルトビエイ推定来遊個体数から推定した 摂餌量の経年変化

出典:環境省(2024)「有明海·八代海等総合調査評価委員会第 14 回水産資源再生方策検討作業小委員会資料 2-1」

# ② アカエイ類による影響

 有明海全域において、アカエイの餌料生物は、甲殻類、多毛類、魚類が主で、貝類は重量比で全体の約3%(貝殻含む)であった $^2$ 。ナルトビエイが二枚貝類を専門に摂餌するのに比べ、アカエイ類は $0\sim18.2\%$ と低く、アカエイ類の二枚貝類への依存度は小さいと考えられる $^2$ (付表 4.2.1-2)。

付表 4 2 1-2 アカエ	イ類の胃内突物に占め.	る各餌生物の重量百分率
----------------	-------------	-------------

種名	二枚貝類	巻貝	頭足類 (イカ)	甲殻類 (エビ,カニな ど)	多毛類(ゴカイ)	魚類 (ハゼなど)	その他 (ナマユ,不明 種)
アカエイ (n=99)	2.8	0.0	2.0	53.1	16.7	17.4	8.0
ヤジリエイ (n=21)	0.0	0.0	1.0	69.6	4.8	19.9	4.8
アリアケアカエイ (n=11)	18.2	0.0	0.0	28.0	26.6	9.1	18.2
シロエイ (n=10)	0.4	0.0	0.0	40.9	48.7	0.0	10.0

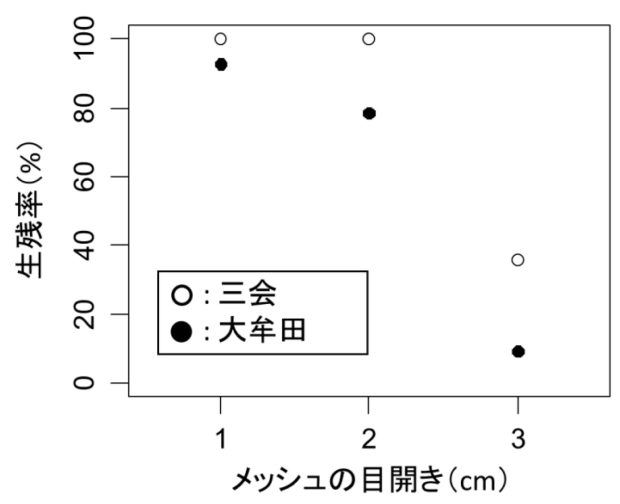
※表中の濃い網掛けは50%以上、淡い網掛けは20%以上を示す。

赤文字の二枚貝類は、DNA分析によりアサリの他、マテガイ属、ウネナシトマヤガイ、シカメガキ、シズクガイと同定された。

出典:環境省(2024)「有明海·八代海等総合調査評価委員会第 14 回水産資源再生方策検討作業小委員会資料 2-1」

#### ③ イシガニ・タコ等による影響

2017年8月~10月に実施したA2海域(大牟田)、A7海域(三会)での食害実験の結果、食害防止ネットのメッシュサイズが20mmを超えるとタイラギの生残率が低下した(付図 4.2.1-4)。また、2018年5月~10月には上記2地点に加え、A3海域(沖神瀬西)、A6海域(野崎干潟)、A7海域(燗場島)で食害実験を実施した結果、保護ゲージ(15mm 網目)に比べて低保護ゲージ(網目 115mm)の生残率が低下していた。同時にセットした水中カメラの映像から、アカニシ、タコ類、イシガニ類等の小型底生捕食者による食害の影響が示唆された³(付表 4.2.1-3)。一方で、上記結果は周囲にタイラギが存在しない条件下で人為的に高密度に移植された実験の結果であり、移植されたタイラギが集中的な食害を受ける可能性が高いことから、食害の影響を過大評価している可能性がある⁴。



付図 4.2.1-4 食害防止ネットのメッシュサイズ毎のタイラギの生残率 (69 日間)

出典:Nagasoe et al. (2020)

1 2

付表 4.2.1-3 水中カメラの日中撮影時間における小型捕食者の出現率

定点	アカニシ	タコ類	イシガニ類	エイ類	クロダイ
大牟田	12.9%		3.6%		
沖神瀬西			0.4%		
野崎干潟			5.3%		0.022%
三会		0.11%		0.0044%	0.021%
燗場島	0.18%	0.31%	0.014%		

出典:Kurihara et al. (2021)

<sup>3)</sup> Sou Nagasoe, Takahisa Tokunaga, Tatsuya Yurimoto, Yukihiko Matsuyama (2020): Survival and behavior patterns associated with hypoxia at different life stages of the pen shell Atrina cf. japonica. Aquatic Toxicology, Volume 227 (2020) 105610.

<sup>4)</sup> Kurihara, T., Hashimoto, K., Nakano, S., Matsuyama, Y., Yurimoto, T., Nagasoe, S., Ito, A., Ojima, D., Okamura, K. (2021): Effects of transplant sites and preventive measures against predation on the survival rates of pen shell in the Ariake Sea, Japan, Plankton and Benthos Research, Vol. 16, pp. 266–277.

A2 海域の福岡県三池地先におけるタイラギの現地試験で、直植え区注)は春期に全滅し、被 覆カゴ区<sup>注)</sup>は夏期から秋期にへい死した<sup>5)</sup>。この時期は海底直上では短期間の貧酸素状態が 発生したが、長期間の継続はみられていない<sup>5)</sup>。また、海底上 1m の海中育成ネット区注)におい ても短期間の貧酸素状態は発生したが稚貝の顕著なへい死はみられなかった 50。これらのこと から、稚貝の生残率には食害と底質の影響が関係していることが示唆された(付図 4.2.1-5)。

5 6 7

8

9

10

1

2

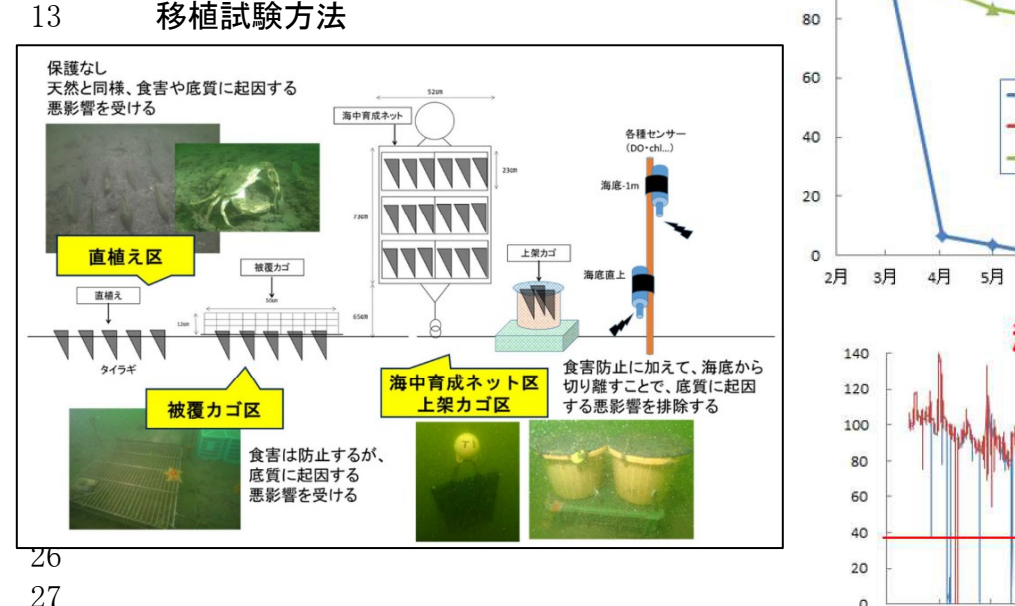
3

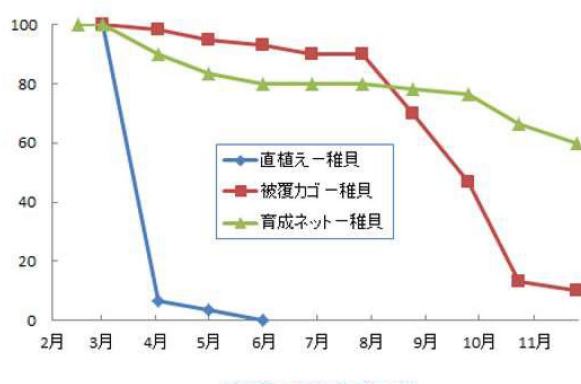
4

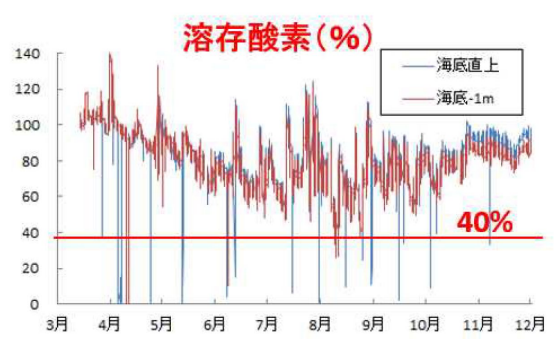
- 注)・直植え区:カゴ等の保護がなく、天然のタイラギと同様に食害及び底質に起因する影響を受ける試験区
  - ・被覆カゴ区:被覆カゴで覆うことで食害は防止するが、底質に起因する影響を受ける試験区
  - ・海中育成ネット区・上架カゴ区:海中育成ネットや上架カゴに収容して海底から切り離すことで、食害と底質及び その近傍に起因する影響を排除した試験区

11 12

# 移植試験方法







# 付図 4.2.1-5 稚貝の生残率の推移及び酸素飽和度の推移(2015年度. 三池島)

出典:環境省(2022)「有明海・八代海等総合調査評価委員会中間とりまとめ」.

31 32

33

34

35

36

37

30

28

29

# ウ) 貧酸素水塊の発生件数の増大・大規模化による影響

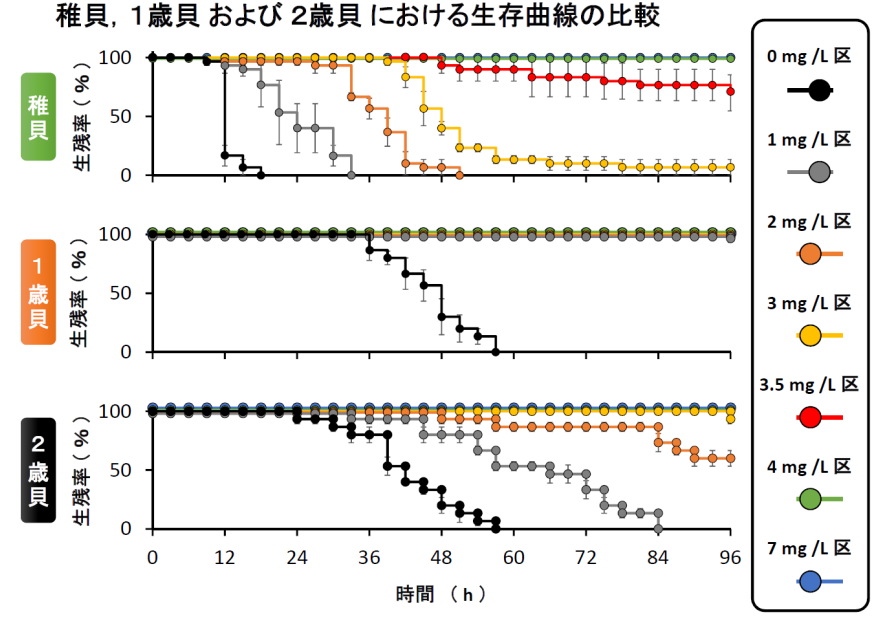
底層水中の有機物や淡水流入・低塩分化を含む貧酸素水塊の増大・大規模化に関する考 察については、後述の 4.2.5 生物の生息環境の確保で述べるとおりであり、ここでは、貧酸素水 塊によるタイラギ減少への影響について整理した。

室内実験によるタイラギの貧酸素耐性は、生活史ステージによって異なり、生残率低下をも たらす溶存酸素濃度は、稚貝は3.5mg/L以下、1歳貝では約0mg/L、2歳貝では2mg/L以下 であり、貧酸素耐性は稚貝<2歳貝<1歳貝の順に高まると考えられた <sup>6</sup>(付図 4.2.1-6)。

38 39

<sup>5)</sup> 環境省(2022)「有明海・八代海等総合調査評価委員会中間とりまとめ」

<sup>6)</sup> 環境省(2019)「有明海・八代海等総合調査評価委員会第2回水産資源再生方策検討作業小委員会資料4-1」



付図 4.2.1-6 稚貝、1歳貝および2歳貝における生存曲線

出典:環境省(2019)「有明海・八代海等総合調査評価委員会第2回水産資源再生方策検討作業小委員会資料4-1」

また、2017年~2022年にタイラギ稚貝・1歳貝・2歳貝を用いて室内で 96 時間の貧酸素暴露実験を行って  $LC_{95}$  注 を求めた結果  $\tau$  (付表 4.2.1-4)においても、稚貝が貧酸素の影響を最も敏感に受けていることが分かった。

注)LC95 は「Lethal Concentration 95%」の略で、ある条件下で対象生物の95%が死亡する濃度(致死濃度)を示す。

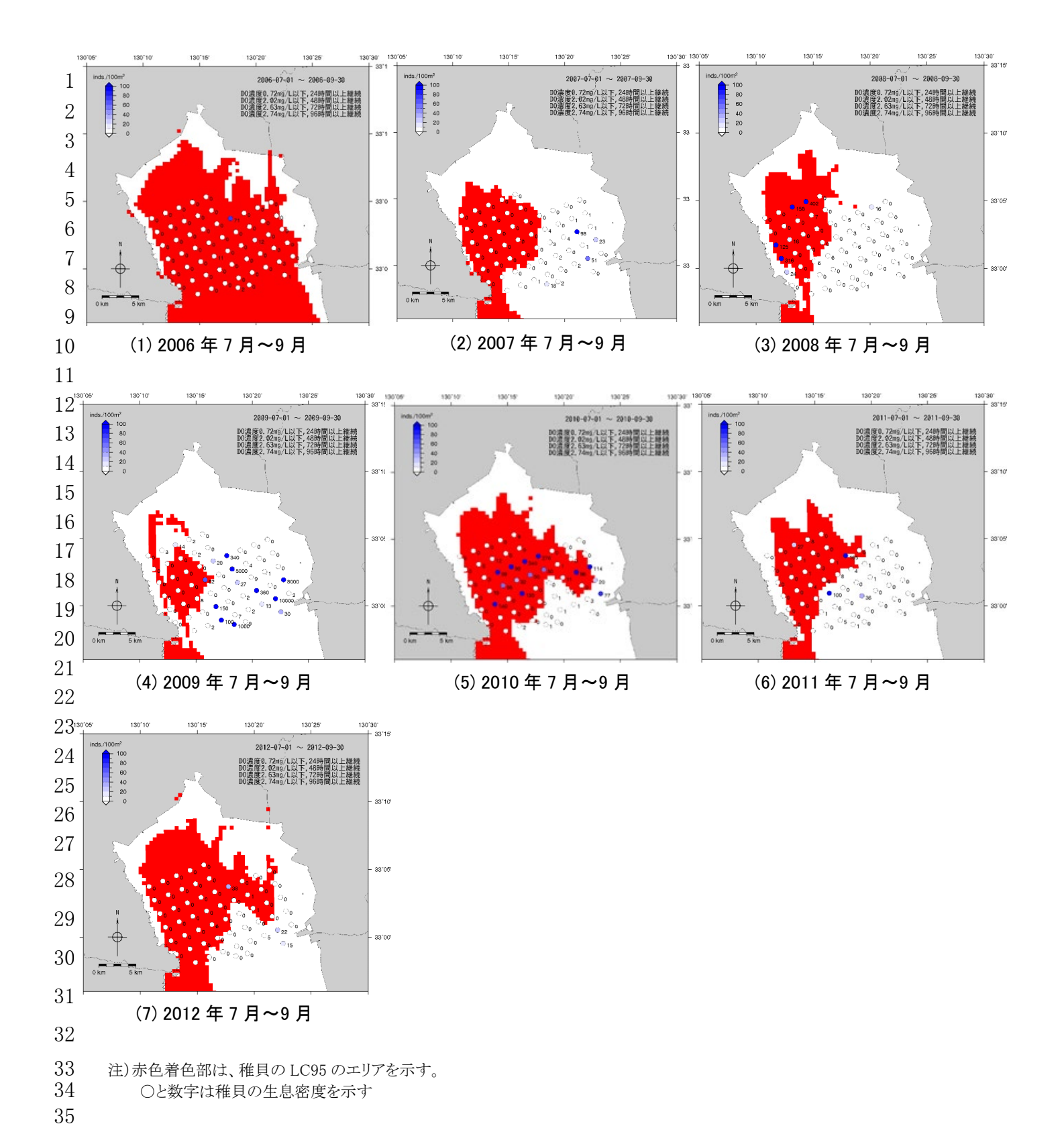
2006 年~2012 年の 7 月~9 月の A2 海域、A3 海域 (一部 A1 海域を含む)を中心とした有明海奥部の底層 DO を数値シミュレーションモデルによって推測し、上記  $LC_{95}$  の分布と佐賀県のタイラギ生息調査結果を重ね合わせたところ、2006 年~2007 年、2009 年、2012 年はタイラギ稚貝の  $LC_{95}$  分布領域に稚貝が概ね見られないなど対応関係が認められた一方、2008 年、2010 年~2011 年で対応関係がない、あるいは  $LC_{95}$  分布域外で大量へい死が確認されたことから、大量へい死は貧酸素以外の要因も考えられた $^{7}$  (付図 4.2.1-7)。

付表 4.2.1-4 室内実験によるタイラギの生活史ステージ別貧酸素耐性

30	稚貝(LC <sub>95</sub> )	1歳貝 (LC <sub>95</sub> )	2歳貝(LC <sub>95</sub> )
31	DO<0.72 mg/L·>24h	DO =0.20 mg/L > 40h	DO <0.21 mg/l > 40h
32	DO<2.02 mg/L·>48h DO<2.63 mg/L·>72h	DO<0.39 mg/L·>48h DO<0.62 mg/L·>72h DO<0.64 mg/L·>96h	DO<0.31 mg/L·>48h DO<0.77 mg/L·>72h DO<1.29 mg/L·>96h
33	DO<2.74 mg/L·>96h	DO < 0.04 mg/ L- > 90m	DO<1.29 mg/L*/90m

出典:環境省(2024)「有明海·八代海等総合調査評価委員会第13回水産資源再生方策検討作業小委員会資料2-2」

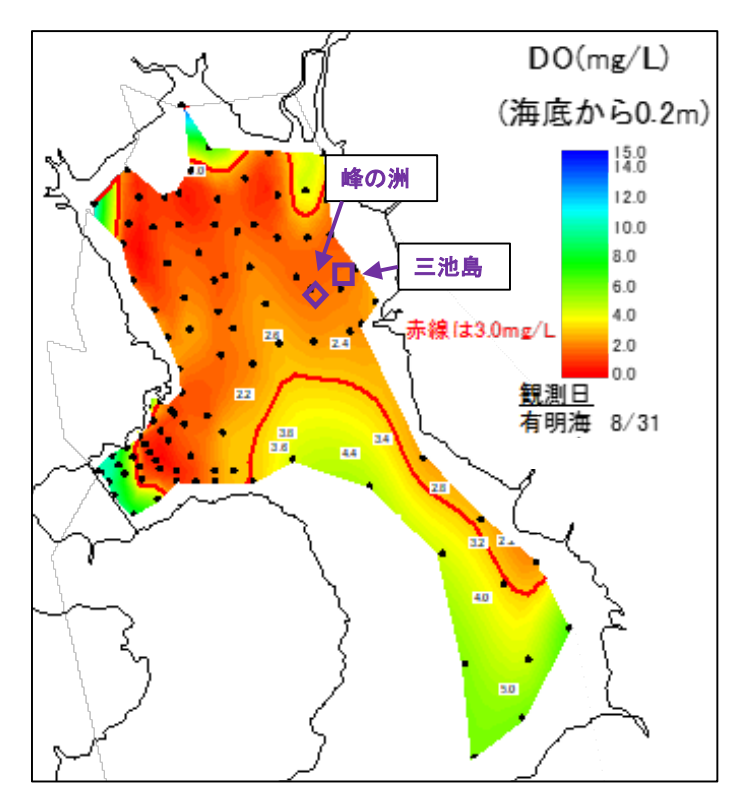
<sup>7)</sup> 環境省(2024)「有明海・八代海等総合調査評価委員会第13回水産資源再生方策検討作業小委員会資料2-2」



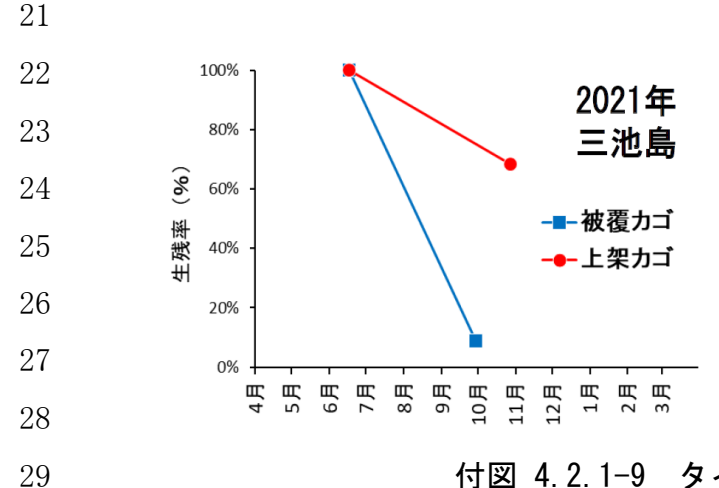
付図 4.2.1-7 数値シミュレーションモデルで推定した LC95 の分布と稚貝の分布状況

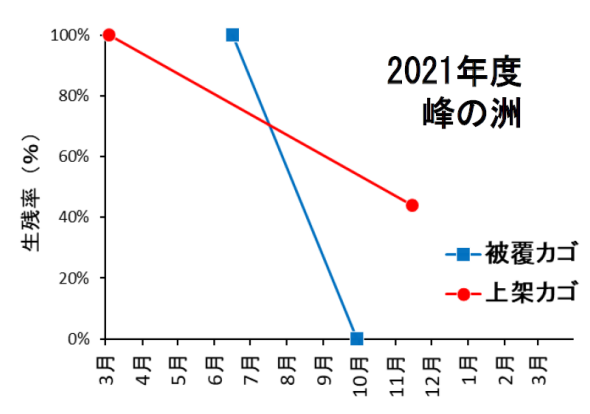
 出典:環境省(2024)「有明海・八代海等総合調査評価委員会第13回水産資源再生方策検討作業小委員会資料2-2」

2021年の大量へい死時は、3.6 貧酸素水塊で述べたとおり、2021年8月に豪雨がみられ、その後 A2 海域にまで達する大規模な貧酸素水塊が発生した(付図 4.2.1-8)。移植試験の結果では、両試験区で上架カゴで生残が良いため、立ち枯れへい死だけでなく、貧酸素も影響した可能性が推定された 8 (付図 4.2.1-9)。



付図 4.2.1-8 タイラギの移植場所と底層溶存酸素濃度の分布(2021年8月31日)





付図 4.2.1-9 タイラギ移植試験結果

出典:環境省(2024)「有明海・八代海等総合調査評価委員会第 13 回水産資源再生方策検討作業小委員会資料 2-1」をもと に一部改変

<sup>8)</sup> 環境省(2024)「有明海·八代海等総合調査評価委員会第 13 回水産資源再生方策検討作業小委員会資料 2-1」

#### エ) 底質の泥化の影響

4 5

2014年及び2015年の各1月~3月<sup>9)</sup>、2020年12月~2021年4月<sup>10)</sup>にA2海域の三池地先において、タイラギの育成条件の解明のために、上架式カゴ・育成ネットを用いて現地で試験を行ったところ、生残、成長ともに上架式カゴが育成ネットより良好であった。試験終了時に育成カゴ・ネットともに内部に浮泥の堆積がみられ、上架式カゴでは、貝が基質からせり上がり粗目網を通して呼吸孔を確保できていたのに対し、育成ネットでは浮泥中で貝が動かないままの状態になっており、このことが、貝の生残や成長に影響を与えたものと考えられた<sup>10)</sup>。

また、立ち枯れへい死を起こす A2 海域において、海底から切り離して育成することがへい死 抑制手法として有効で、長期の育成が可能と考えられた。想定されるへい死要因としては、5cm より海底に近い層の底質環境や海底の間隙水中の酸素濃度の低下、硫化水素の一時的な増加、海底に堆積する浮泥による摂餌障害などの二次的な影響が想定されている<sup>9)</sup>。

A2 海域における移植タイラギの大量死と環境要因との関係を整理したところ、大量死が非発生の調査時においても高い濁度が観測されており、大量死が発生した調査時よりも濁度が高い場合もあったことから、濁りの強い状況(高濁度環境)そのものがタイラギに影響しているわけではないと考えられる 11)。泥粒子濃度が高い環境になるとタイラギの摂餌が阻害される観察結果を得ているものの、このような泥粒子の高懸濁環境の間接的な影響は、濁度上昇と連動して餌濃度が高濃度で混合されることによって影響の程度が緩やかになることも観察されている 12)。つまり、濁度が高い環境であったとしても、同時に豊富な餌が現存する状況であれば、濁りの影響による摂餌阻害は相対的に小さくなることを意味している 11)。これまでの検討で、濁度の高い環境下であっても十分に餌料が現存すれば、タイラギが生育することは可能であることが示唆された 11)。タイラギの生残には、濁りの変化よりも、そこに含まれるクロロフィル a 濃度(餌の量)の多寡が重要である 11)。

浮泥は、タイラギ着底稚貝の着底率に影響する可能性があるが、足糸を貝殻等の硬い基質に固着することで、浮泥が多い海底でも成長・生残が可能である<sup>13)</sup>。浮泥は永続的に存在するのではなく、海底環境の擾乱等で容易に消失すること、体サイズが浮泥層厚を超えて成長して埋没の危機を免れることがあること、過年度の浮泥調査結果とフルグロウン/稚貝着底率との関係性も低いことから、主たる資源の減少要因となることは考えにくいとされている<sup>11)、12)</sup>。

9) 的場達人,廣瀬道宣,長本篤,吉田幹英,篠原直哉 (2016):有明海福岡県地先におけるタイラギの斃死要因に関する研究 IV,福岡県水産海洋技術センター研究報告,第26号,pp.1-8.

<sup>10)</sup> 江崎恭志, 合戸賢利 (2023): 有明海におけるリシケタイラギの中間育成および母貝育成の適正条件, 福岡県水産海洋技術センター研究報告, 第33号, pp.1-9.

<sup>11)</sup> 環境省(2023)「令和5年度有明海・八代海等再生評価支援(有明海二枚貝類の減少要因解明等調査)報告書」

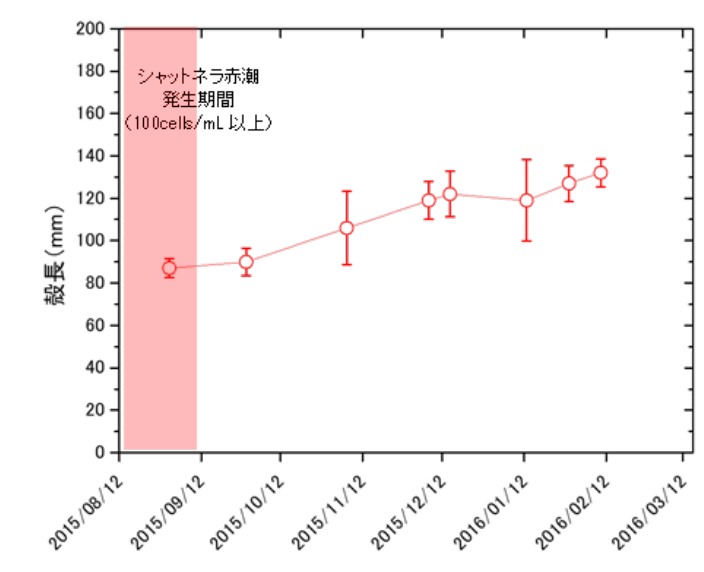
<sup>12)</sup> 環境省(2024)「令和6年度有明海・八代海等再生評価支援(有明海二枚貝類の減少要因解明等調査)報告書」

<sup>13)</sup> 古賀秀昭, 荒巻裕 (2013): 佐賀県有明海におけるタイラギ漁業の歴史と漁場形成要因, 佐賀県有明水産振興センター研究報告, 第 26 号, pp.13-24.

# オ) 赤潮発生件数の増大・大規模化の影響

2015年にA3海域の大浦において行われた現地実験では、タイラギ 1 歳貝殻長の時系列変化から成長速度を算出すると、2015年8月から9月にかけては一時的に成長速度がかなり低かった  $^{14)}$ (付図 4.2.1-10)。この原因として、Chattonella 赤潮発生が疑われた。本種は数百 cells/mL という低密度でもタイラギに対してろ水量低下を引き起こすとされている。この大浦における一時的な成長速度の低下は、Chattonella 赤潮によるタイラギのろ水量低下が原因であることが推察された  $^{14}$ (付図 4.2.1-11)。

4.2.5 生物の生息環境の確保で述べているとおり、気候変動による有明海・八代海におけるシャトネラ赤潮の将来予測結果によると、21世紀末(RCP2.6)では、有明海では8月に、八代海では7月~9月にほとんどの区域で水温25℃を上回るため、シャトネラ赤潮が増殖しやすい水温となり、発生頻度が高くなる可能性が示唆されていることから、赤潮の影響は今後も留意する必要がある。

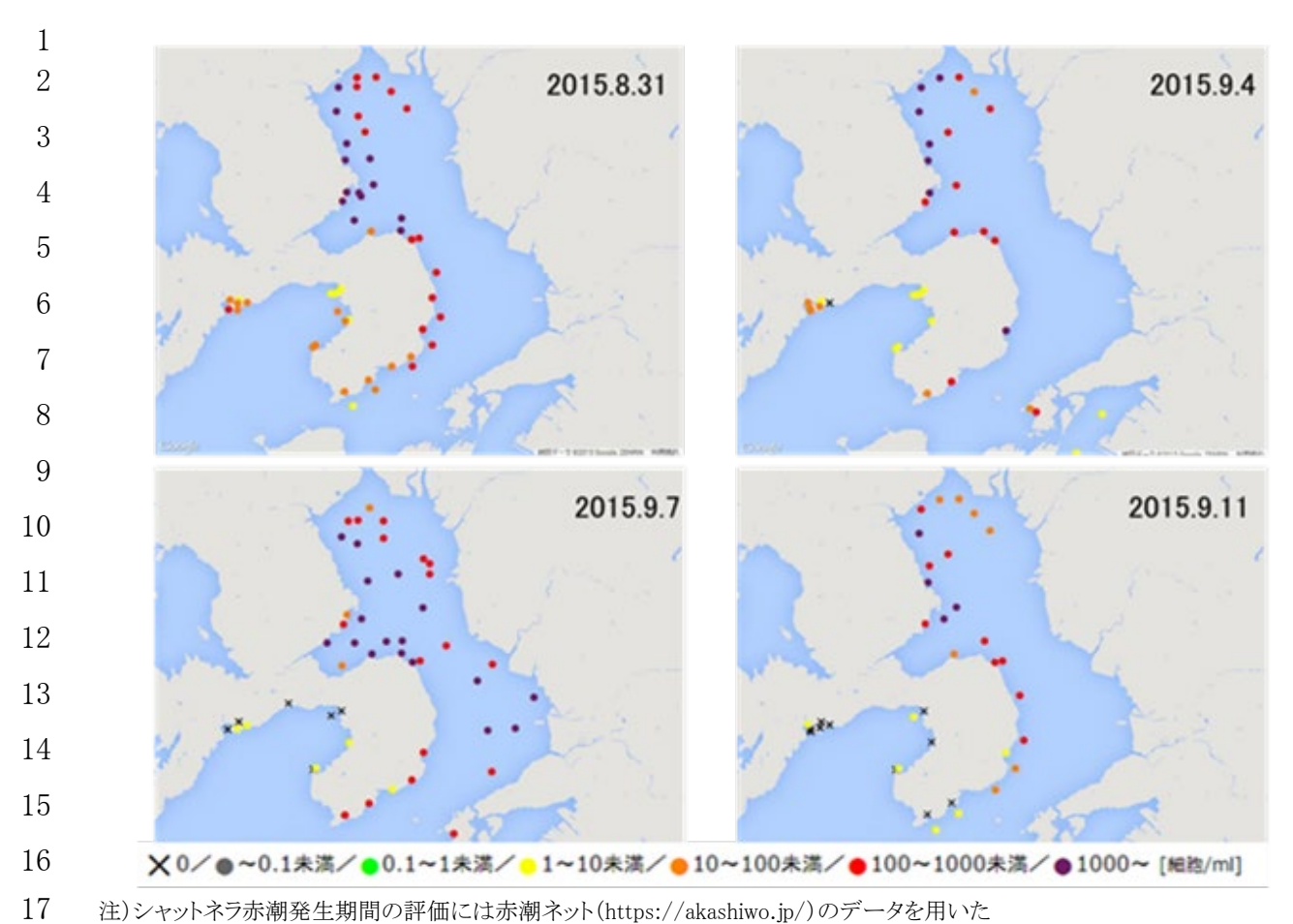


注)シャットネラ赤潮発生期間の評価には赤潮ネット(https://akashiwo.jp/)のデータを用いた

付図 4.2.1-10 大浦における1歳貝殻長の時系列変化速度

出典:環境省(2021)「令和3年度有明海・八代海等再生評価支援(有明海二枚貝類の減少要因解明等調査)報告書」

<sup>14)</sup> 環境省(2021)「令和3年度有明海・八代海等再生評価支援(有明海二枚貝類の減少要因解明等調査)報告書」



注)シャットネラ赤潮発生期間の評価には赤潮ネット(https://akashiwo.jp/)のデータを用いた 付図 4.2.1-11 2015 年 8 月下旬から 9 月にかけてのシャットネラ赤潮発生状況

20

出典:環境省(2021)「令和3年度有明海・八代海等再生評価支援(有明海二枚貝類の減少要因解明等調査)報告書」

## カ) まとめ

1 2

3 4

生物による食害の影響について、ナルトビエイ、アカエイ類のほか、小型底生捕食者(イシガニ・マダコ等)による影響も一部海域の結果から示唆された。また、季節別の影響に関する知見は少ないものの、長期間の貧酸素状態が見られなかった夏期から秋期にかけてタイラギがへい死した現地試験結果から、タイラギの減少要因としては、生物による食害だけでなく、他の環境要因(貧酸素、底質等)と複合的に作用している可能性が高く、今後の要因解明や対策検討においては、これらの相互作用も含めた整理が重要である。

貧酸素水塊の影響について、1 歳貝、2 歳貝に比べて特に稚貝の貧酸素への耐性が低く、DOが3.5mg/L以下になると致死的影響を受けることから、底層DOを3.5mg/L以上に保つことが生息環境の再生における重要な指標となると示唆された。ただし、大量へい死は貧酸素以外の要因も考えられることに留意する必要がある。

底質の泥化の影響について、育成カゴ等の閉鎖的な環境では浮泥が堆積することでタイラギの生残に影響を及ぼすことが示唆されたが、濁度そのものが生残に直接影響しているのではなく、そこに含まれる Chl.a 濃度が重要と考えられた。また、浮泥は主たる資源の減少要因となることは考えにくい。

赤潮の影響について、2015 年に A1海域の大浦において行われた現地実験の結果から、タイラギ 1 歳貝殻長の Chattonella 赤潮によるろ水量低下(成長阻害)が示唆されている。気候変動による有明海・八代海におけるシャトネラ赤潮の将来予測結果によると、21 世紀末(RCP2.6)では、有明海では8月に、八代海では7月~9月にほとんどの区域で水温25℃を上回るため、Chattonella 赤潮が増殖しやすい水温となり、発生頻度が高くなる可能性が示唆されていることから、赤潮の影響は今後も留意する必要がある。

#### (2) アサリ

1 2

平成28年度委員会報告における問題点等を以下に示す。

- ・ 平成 18 年度委員会報告から、アサリは漁獲量が低迷の要因として、過剰な漁獲圧、底質の変化、ナルトビエイによる食害、有害赤潮、底質中のマンガンの影響が挙げられているが、このうち底質中のマンガンはアサリの資源減少要因として特定されるには至っていない。
- ・2008 年以降、アサリ漁獲量が低迷しており、秋期に発生したアサリの浮遊幼生や着底 稚貝の減少による再生産の縮小が大きく影響しているとの指摘がある。
- ・アサリの浮遊幼生や着底稚貝の量が過去と比較して2008年以降低位で推移している と類推される。このような状況の中で、アサリ資源の持続的な利用を進めるために確保す べき資源量等の知見が得られていないことが課題の一つとして挙げられている。
- ・ Chattonella 赤潮の発生件数が有明海全体で増加しているが、これが直接アサリ資源 に影響している可能性は考えにくい。

令和8年度委員会報告では、3.9生物で述べたとおり、有明海でのアサリの漁獲量は、1983年を除くと 1978年以降は漁獲量が減少に転じ、2003年から 2008年にかけて有明海全域で一時的に回復したものの、2009年以降再び漁獲量が減少している。八代海では、2005年以降漁獲量が増加したが、その後減少し、2012年以降は低い水準で推移している。

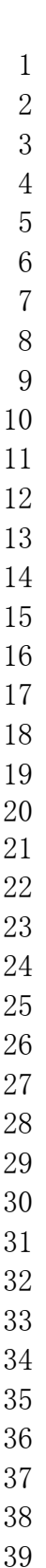
有明海の秋期の浮遊幼生の変化では、秋期の出現ピークについては、2015 年は 1 地点のみであったが、2019 年頃から大幅に増加傾向となっている。また、2022 年頃からは佐賀県、長崎県における出現ピークの頻度も増加している。

1980年代以降の有明海のアサリ漁獲の減少要因としては、乱獲のほか、冬季の波・流れによる死亡、河川出水による塩分低下あるいは被泥、底質の不適やかく乱、食害及び赤潮などが考えられている15。

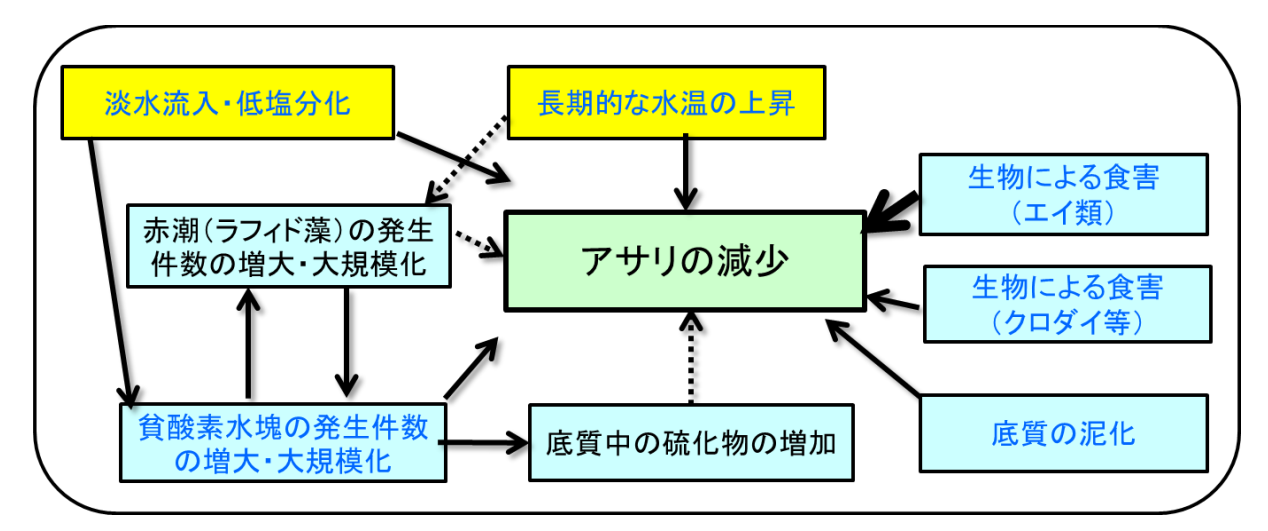
漁獲サイズの資源へ繋がる着底稚貝は、特に秋の浮遊幼生発生量に左右されている一方で、秋のアサリ産卵量を左右する要因については必ずしも明らかになっていない。

平成 28 年度委員会報告以降に新たに得られた知見をサブ連関図及び要因整理表に整理した(付図 4.2.1-12 及び付表 4.2.1-5)。

<sup>15)</sup> 水産庁(2021): 砕石を利用したアサリ漁場造成の手引き, p.9



41 42



注) : 平成 28 年度委員会報告にて示した原因・要因 ( 生物、水産資源、 : 海域環境)

: 平成 28 年度委員会報告以降に得られた知見に基づき追加された原因・要因

青字: 平成 28 年度委員会報告以降に新たな知見が得られた事象

➡ (太実線):影響が大きい(複数年度で影響が確認される場合)

→ (実線) : 影響が小さい(単年度での影響の確認に留まる場合あるいは影響の大小が不明)

→ (点線) :影響が確認できなかったもの

付図 4.2.1-12 アサリの減少と原因・要因との関連(サブ連関図)

付表 4.2.1-5 海域区分別のアサリの減少と原因・要因との関連(要因整理表)

	A1海域	A4海域	A6海域	Y1海域	Y2海域	他の 海域等	備考
生物による食害(エイ類)	0*	0*	0*	_	_	_	
生物による食害(クロダイ等)	_	Δ*	_	_	_	_	
底質の泥化	Δ*	_	_	_	_	_	夏期の出水 時に発生
淡水流入·低塩分化	$\Delta^{*}$	_	_	_	_	_	夏期の出水 時に発生
貧酸素水塊の発生件数の 増大・大規模化	Δ*	Δ*	Δ*	Δ*	Δ*	Δ*	室内実験
長期的な水温の上昇	$\Delta^*$	$\Delta^*$	Δ*	Δ*	Δ*	Δ*	将来予測
底質中の硫化物の増加	_	_	_	_	_	_	
赤潮(ラフィド藻)の発生件数の増大・大規模化	_	_	_	_	_	_	

注) O:影響が大きい(複数年度で影響が確認される場合)

△:影響が小さい(単年度での影響の確認に留まる場合あるいは影響の大小が不明)

-:影響が確認できなかったもの

※: 平成 28 年度委員会報告以降に新たな知見が得られた事象

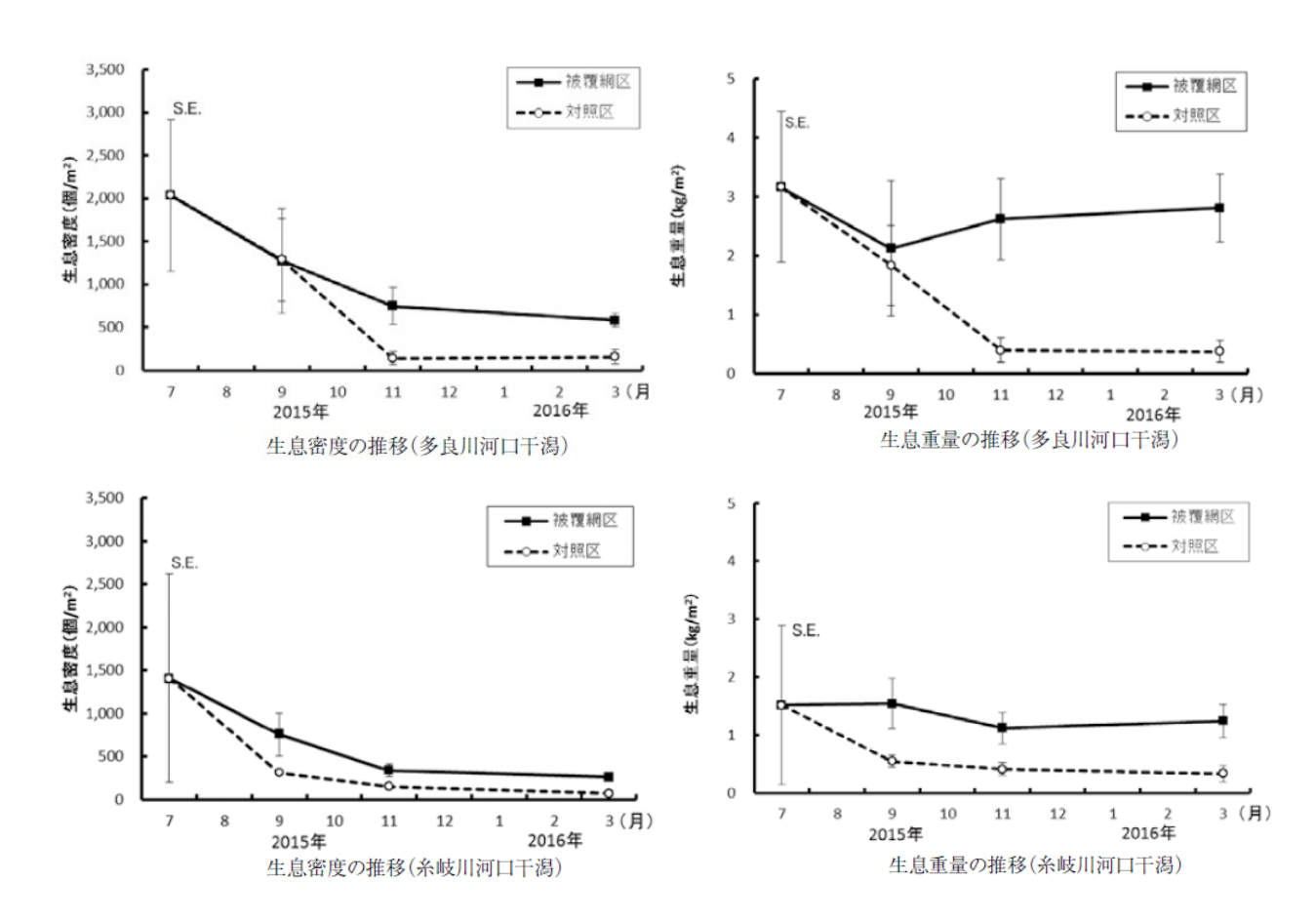
#### ア) 生物による食害の影響

#### ① エイ類による影響

1 2

(1)タイラギで述べたとおり、有明海におけるナルトビエイによる水産有用二枚貝類の推定摂餌量は、漁獲量の 13~59%程度であり、ナルトビエイの胃内容物調査の結果、アサリはほとんどの年で捕食されていることが確認されている<sup>2)</sup>。

2015 年 8 月に、A1 海域の糸岐川河口干潟ではエイ類(ナルトビエイ等)によると思われるすり鉢状の摂餌痕と、その中に破壊されたアサリの貝殻片が多数確認された。また、多良川及び糸岐川河口干潟では、被覆網を敷設した試験区はその対照区に比べ、生息密度で  $3.6\sim3.7$  倍、生息重量で約  $4.0\sim7.0$  倍であったことから、エイ類の食害により生息密度が減少した可能性が考えられた  $^{16}$ (付図 4.2.1-13)。



付図 4.2.1-13 多良川河口干潟・糸岐川河口干潟のアサリ生息密度と生息重量の推移

出典:神﨑博幸・佃政則・津城啓子(2017)

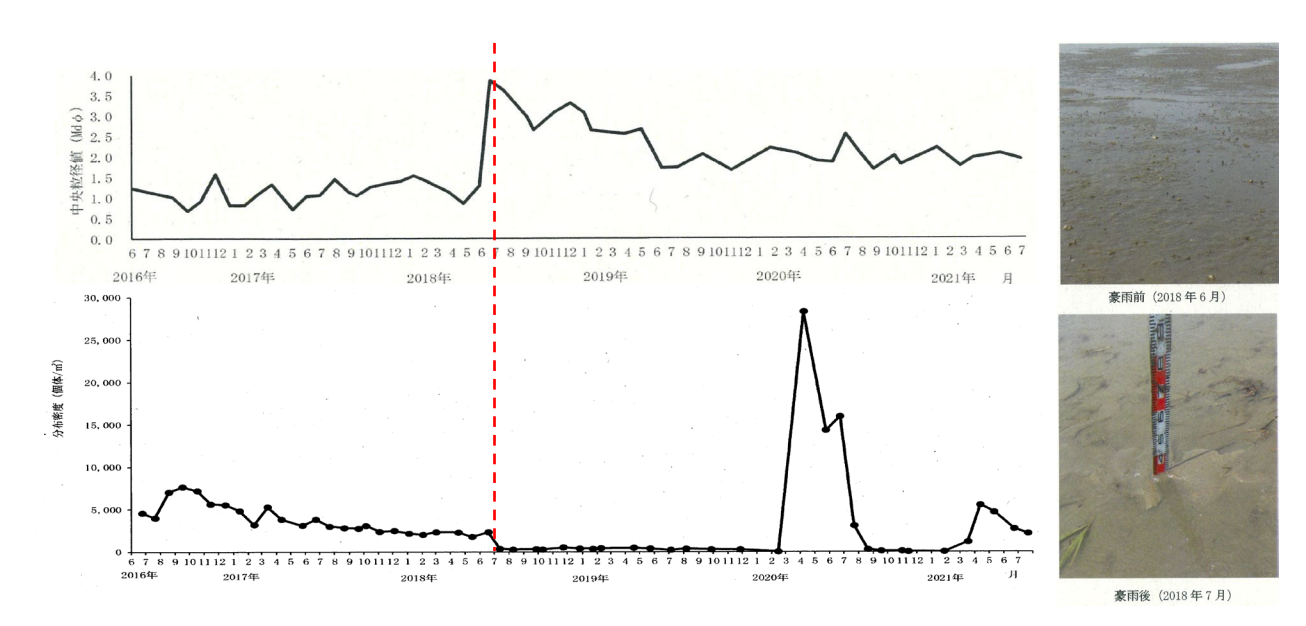
<sup>16)</sup> 神﨑博幸・佃政則・津城啓子(2017): 多良川及び糸岐川河口干潟における被覆網の敷設によるアサリの生残率の向上.佐賀県有明水産振興センター研究報告、28号,117-118

# ② クロダイ等による影響

 平成 28 年度委員会報告において、クロダイを含む硬骨魚類の二枚貝摂餌量はほとんど影響がないとされているが、クロダイの飼育試験や2022 年に A4 海域の緑川河口において採取されたクロダイとキチヌの胃内容物を確認した結果では、クロダイ等による食害が示唆されたことから、定量的評価が必要と考えられた80。

#### イ) 底質の泥化の影響

2018年7月にA1海域の矢部川河口漁場では、1mm 以上のアサリが減耗し、その要因として西日本豪雨により、漁場に泥が堆積し、中央粒径値が $Md\phi=3$ を超えるなど、底質が一時的にアサリの生息に不適な環境になったことが考えられた17 (付図 4.2.1-14)。



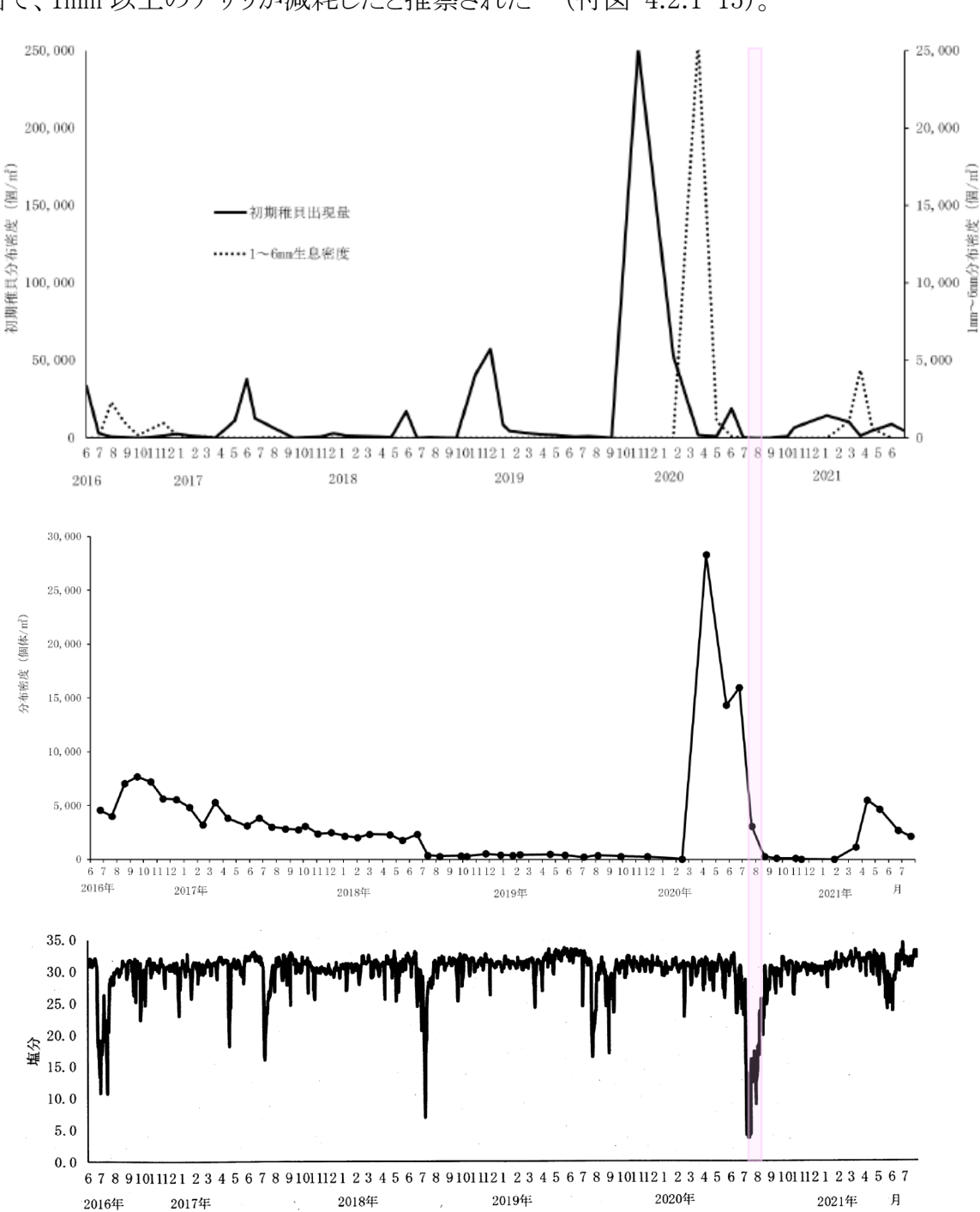
付図 4.2.1-14 矢部川河口漁場の中央粒径とアサリ分布密度(1mm 以上)の推移

出典:山田 京平・長本 篤・合戸 賢利・佐野 二郎(2022)

<sup>17)</sup> 山田 京平・長本 篤・合戸 賢利・佐野 二郎(2022):矢部川河口漁場におけるアサリ稚貝の出現とその動向.福岡県水産海洋技術センター研究報告, 32: 21-36.

#### ウ) 淡水流入・低塩分化の影響

A1 海域の矢部川河口域では、2019 年秋期の初期稚貝が例年以上に高密度であったことから、2020 年の 1mm 以上のアサリについても高密度で存在していたが、2020 年の梅雨末期の大雨時に塩分が満潮時でも 3.7 まで低下し、その後満潮時に 10 を下回る状態が 7 月 11 日~17 日の約 1 週間程度、20 を下回る状態が 7 月 8 日~8 月 6 日の約 1 ヶ月程度継続したことが原因で、1mm 以上のアサリが減耗したと推察された 17 (付図 4.2.1-15)。



付図 4.2.1-15 矢部川河口漁場のアサリ分布密度(初期稚貝及び1~6mm(上段)、 1mm以上(中段))、塩分(下段)の推移

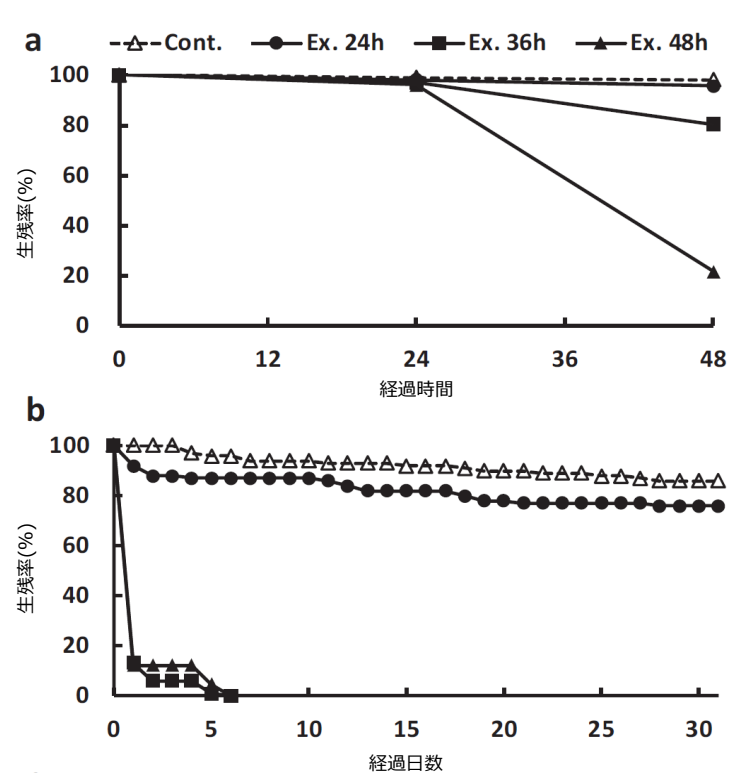
出典:山田 京平・長本 篤・合戸 賢利・佐野 二郎(2022):矢部川河口漁場におけるアサリ稚貝の出現とその動向.福岡県水 産海洋技術センター研究報告, 32: 21-36.

#### エ) 貧酸素水塊の発生件数の増大・大規模化の影響

2017 年及び 2018 年の 8 月下旬に、貧酸素暴露によるアサリへの影響について室内実験を行った結果、36 時間に満たない無酸素環境に暴露しても致死的な障害や長期的な影響はみられなかったが、48 時間暴露すると、その後水温が高い環境(26.3℃以上)におかれた場合は生残率が激減し、夏期に 48 時間以上無酸素状態では、グリコーゲン生産や濾水機能に修復不可能な障害(後遺障害)を受ける間もなく即座にへい死する可能性が高いと考えられた 18) (付図 4.2.1-16)。

これらのことから、夏~秋期の数ヶ月にわたる漁場でのアサリの緩慢なへい死については、 低塩分曝露とは異なり、無(貧)酸素が単独で関与し、引き起こされる可能性は低いと示唆された <sup>18)</sup>。

よって、養殖漁場でのアサリの数ヶ月にわたる夏期~秋期の緩慢なへい死対策のための要因解明については、今回の無(貧)酸素、低塩分<sup>19)</sup>以外の高水温、赤潮、産卵や餌不足による衰弱などの影響を室内試験などで調べるとともに、その複合的要因の関与について養殖漁場現場の環境観測とアサリのへい死状況の継続的なモニタリングによって明らかにする必要がある<sup>18)</sup>。



付図 4.2.1-16 無酸素状態に暴露されたアサリの生残率(a)と 暴露後の室内流水実験装置における生残率(b)

出典:松田正彦(2022)

<sup>18)</sup> 松田正彦(2022):アサリの無酸素曝露後の影響について. 長崎県水産試験場研究報告, 47, 1-7. 19) 松田正彦, 平野慶二(2019):アサリの低塩分曝露後の影響について. 長崎県水産試験場報告,44,7-13.

#### オ) 長期的な水温の上昇の影響

長期的な水温の上昇によるアサリ減少への影響については、4.2.5 生物の生息環境で記載した。また、3.9 生物でも述べたとおり、アサリの産卵期の長期化又は時期の変化が確認されており、海水温の上昇が母貝の成熟に影響を及ぼしている可能性が考えられる<sup>20)</sup>。

1 2

#### 力) 冬期の減耗

A1 海域の福岡県などでは、冬期に多くのアサリが減耗しており、減耗要因は明らかになっていない<sup>21)</sup>。主に冬期に発生する生産阻害要因として、以下が挙げられている<sup>22)</sup>。

- ①水温が低く日照時間が少なくなる傾向となり、餌が少なくなる傾向となる。冬場に餌が長く不足すると実入りが低下し、砂に潜る能力が低下する。
- ②冬期波浪や流れによって底面が侵食されると掘り出されて生息場から流出する。
- ③冬場は、魚類による食害は少ないが近年の水温上昇で活発な期間が長くなっている。また、鳥による食害もあり、潜水カモ類などによる食害が顕著となる。

#### キ) まとめ

アサリに対する生物による食害の影響について、ナルトビエイについては、継続的な影響が 考えられた。また、クロダイ等による食害が示唆されたことから、定量的評価のための現存量の 推定が必要であることが考えられた。

底質の泥化の影響について、大規模出水等により漁場に泥が堆積し、中央粒径値が Md φ =3 を超えるなど、底質が一時的にアサリの生息に不適な環境になることでアサリが減耗することが示唆された。

淡水流入・低塩分化の影響について、梅雨末期の大雨後に塩分が 10 を下回る状態が約 1 週間程度、20を下回る状態が約 1 ヶ月程度継続したことが原因で、1mm 以上のアサリが減耗したと推察された。

貧酸素水塊の影響について、36 時間に満たない無酸素環境に暴露しても致死的な障害や長期的な影響はみられなかったが、48 時間暴露すると、その後水温が高い環境(26.3℃以上)におかれた場合は生残率が激減したことから、夏期に 48 時間以上無酸素状態となった場合は後遺障害を受ける間もなく即座にへい死する可能性が高いと考えられ、夏~秋期の数ヶ月にわたる漁場でのアサリの緩慢なへい死については、無(貧)酸素が単独で関与し、引き起こされる可能性は低いと示唆された。

長期的な水温の上昇の影響については、アサリの産卵期の長期化又は時期の変化が確認されており、海水温の上昇が母貝の成熟に影響を及ぼしている可能性が考えられる。(将来予測は4.2.5 生物の生息環境で記載)

A1海域の福岡県などでは、冬期にも多くのアサリが減耗しており、減耗要因は明らかになっていない。

<sup>20)</sup> 静岡県水産・海洋技術研究所(2023):アサリの成熟に対する餌と水温の影響,碧水,185.

<sup>21)</sup> 環境省(2024): 有明海·八代海等総合調査評価委員会第 14 回水産資源再生方策検討作業小委員会資料 2-2b

<sup>22)</sup>水産庁(2023):有明海におけるアサリ等生産性向上マニュアル

#### (3) サルボウ

1 2

4 5

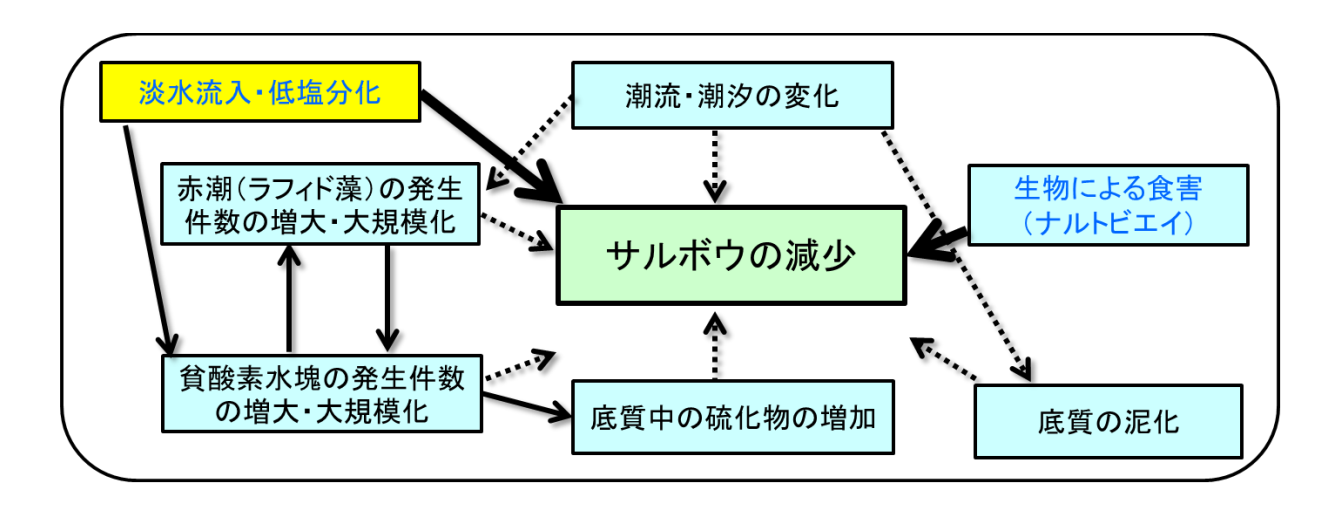
 平成28年度委員会報告における問題点等を以下に示す。

- ・サルボウは二枚貝の中でも比較的低酸素の環境下でも生残できる特性を有した二枚貝のひとつであり、無酸素水中で7日間生残するという知見<sup>23)</sup>がある。実際の有明海では 1mg/L 未満の無酸素状態は小潮期の数日程度しか継続しないことから、サルボウの夏期の大量へい死の要因としては、夏期の底層における著しい貧酸素化(溶存酸素量 1mg/L 未満)に伴う底泥及び海底直上水中の硫化水素の増加による可能性が高いと推測される。
- ・ 有用二枚貝の漁獲量が減少しており、その要因の一つとしてエイ類等による食害が挙 げられる。

令和8年度委員会報告では、3.9 生物で述べたとおり、有明海のサルボウ浮遊幼生出現について、佐賀県海域の調査結果で、2019 年までは産卵期である 6月から8月まで浮遊幼生が安定的に発生していたが、2020 年の豪雨以降浮遊幼生の発生数が激減し、付着稚貝数が大きく減少しており、資源の凋落傾向が顕在化している。

平成 28 年度委員会報告以降に新たに得られた知見をサブ連関図及び要因整理表に整理した(付図 4.2.1-17 及び付表 4.2.1-6)。

<sup>23)</sup> 中村幹雄, 品川 明, 戸田顕史, 中尾 繁(1997) : 宍道湖および中海産二枚貝 4 種の環境耐性. 水産増殖, 第 45 号, pp.179-185



注) : 平成 28 年度委員会報告にて示した原因・要因( : 生物、水産資源、 : 海域環境)

: 平成 28 年度委員会報告以降に得られた知見に基づき追加された原因・要因

青字: 平成 28 年度委員会報告以降に新たな知見が得られた事象

➡ (太実線):影響が大きい(複数年度で影響が確認される場合)

→ (実線) : 影響が小さい(単年度での影響の確認に留まる場合あるいは影響の大小が不明)

→ (点線) :影響が確認できなかったもの

付図 4.2.1-17 サルボウの減少と原因・要因との関連(サブ連関図)

付表 4.2.1-6 海域区分別のサルボウの減少と原因・要因との関連(要因整理表)

	A1海域	A3海域	他の 海域等	備考
生物による食害(ナルトビエイ)	O*	O*	_	
底質の泥化	_	_	_	
淡水流入·低塩分化	O*	O*	_	夏期の出水時に発生
貧酸素水塊の発生件数の増 大・大規模化	Δ	Δ	_	夏期に貧酸素水塊が 発生
底質中の硫化物の増加	_	_	_	
赤潮(ラフィド藻)の発生件数の 増大・大規模化	_	_	_	
潮流・潮汐の変化	-	-	-	

注) 〇:影響が大きい(複数年度で影響が確認される場合)

△:影響が小さい(単年度での影響の確認に留まる場合あるいは影響の大小が不明)

-:影響が確認できなかったもの

※: 平成 28 年度委員会報告以降に新たな知見が得られた事象

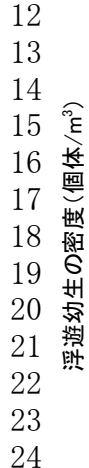
# ア)生物による食害の影響

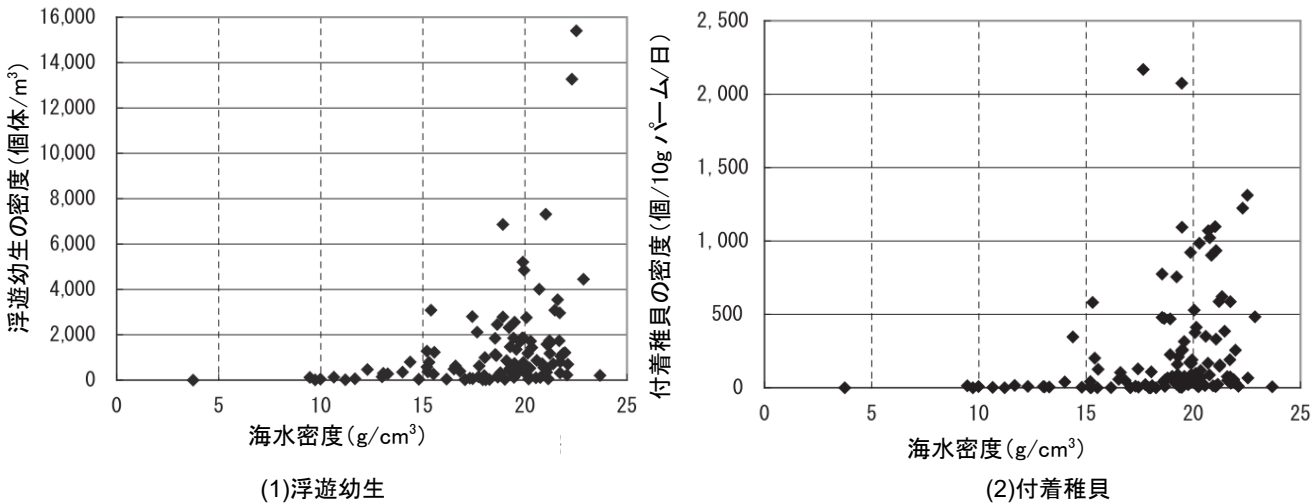
有明海におけるナルトビエイの摂餌量の大半を占めるサルボウについては、漁場外での摂餌も確認されており、摂餌量のすべてが漁獲量の直接的な減少をもたらすとは言えないとの報告もある。一方で(1)タイラギで述べたとおり、ナルトビエイによる水産有用二枚貝類の推定摂餌量は、当該年の漁獲量の 13~59%に相当する年もあり、特に漁獲量が低位で推移している近年においては、その摂餌圧が資源維持に与える影響は無視できないと考えられる<sup>2)</sup>。

1 2

#### イ) 淡水流入・低塩分化の影響

佐賀県のA1海域におけるサルボウ浮遊幼生密度・付着稚貝密度と海水密度との関係から、 浮遊幼生・付着稚貝のいずれも、比重20前後に出現ピークがあり、15を下回ると急減する関係 性がみられており、低塩分耐性が低いことが知られている<sup>24)</sup>(付図 4.2.1-18)。





付図 4.2.1-18 佐賀県海域におけるサルボウ浮遊幼生密度・付着稚貝密度と海水密度との関係

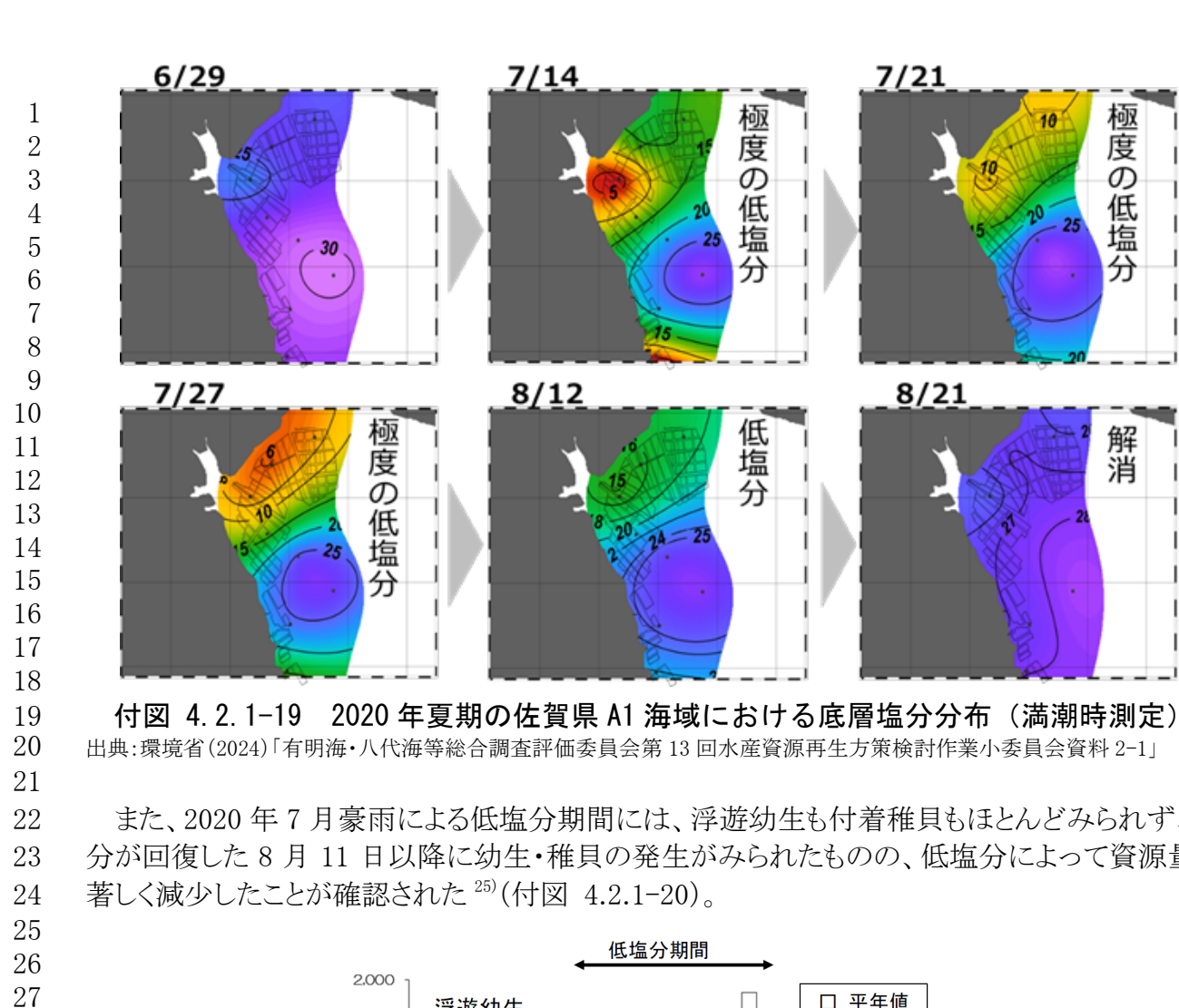
出典:真崎邦彦、小野原隆幸(2009)

2020年の豪雨により、A1海域・A3海域の佐賀県海域のサルボウ資源は壊滅的な被害を受けた。これは豪雨による低塩分で大量へい死したと推察される<sup>25)</sup>(付図 4.2.1-19)。

また、A1海域の福岡県海域においては、2020年と2021年に月降水量が1,000mmを超える2年連続の豪雨が発生し、当該海域のサルボウ資源に大きな影響を与えたことが報告されている $^{25)}$ 。

<sup>24)</sup> 真崎邦彦・小野原隆幸(2009): 有明海湾奥部におけるサルボウ稚貝の発生と気象条件について, 有明水産振興センター研究報告, 第24号, 13-18.

<sup>25)</sup> 廣田 健一郎, 三根 崇幸, 岩永 卓也, 津城 啓子, 豊福 太樹, 川崎 北斗, 明田川 貴子, 佃 政則, 川原 逸朗 (2021): 令和2年7月豪雨による有明海佐賀県海域の海況変化と漁業への影響について. 佐賀県有明水産振興センター研究報告, 30号, 59-72.

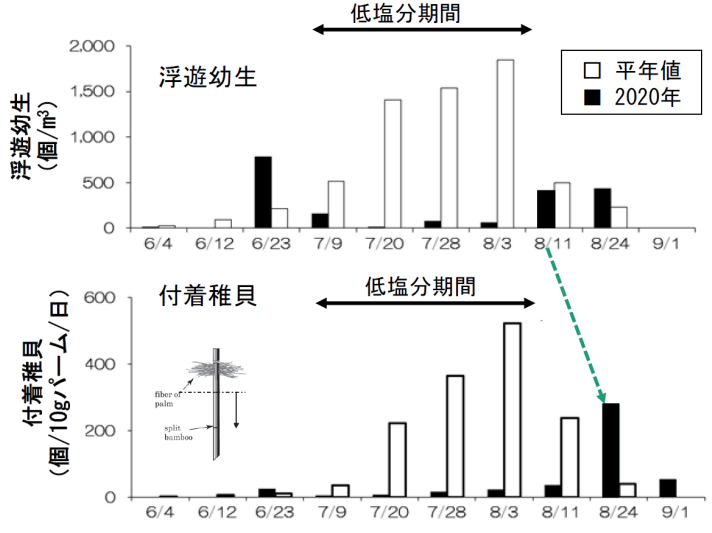


また、2020年7月豪雨による低塩分期間には、浮遊幼生も付着稚貝もほとんどみられず、塩 分が回復した8月11日以降に幼生・稚貝の発生がみられたものの、低塩分によって資源量が

度

の低塩

解消



注) 平年値は 1990 年~2019 年の旬別(月3回)の平均値。

付図 4.2.1-20 佐賀県 A1 海域における 2020 年 7 月豪雨期を含む 夏期のサルボウ浮遊幼生の出現状況

出典:環境省(2024)「有明海・八代海等総合調査評価委員会第13回水産資源再生方策検討作業小委員会資料2-1」

## ウ) まとめ

1 2

3

4

5

6

7 8 9 生物による食害については、有明海におけるナルトビエイによる水産有用二枚貝類の推定 摂餌量は漁獲量の13~59%に相当し、特に漁獲量が低位で推移している近年においては、そ の摂餌圧が資源維持に与える影響は無視できないと考えられる。

淡水流入・低塩分化の影響については、A1・A3海域の佐賀県海域では2020年、A1海域の福岡県海域では2020年、2021年の豪雨による低塩分化によってサルボウ資源は大きな影響を受けたと考えられている。

#### 4.2.2 ベントス(底生生物)の変化

1 2

3

4

5

6

7

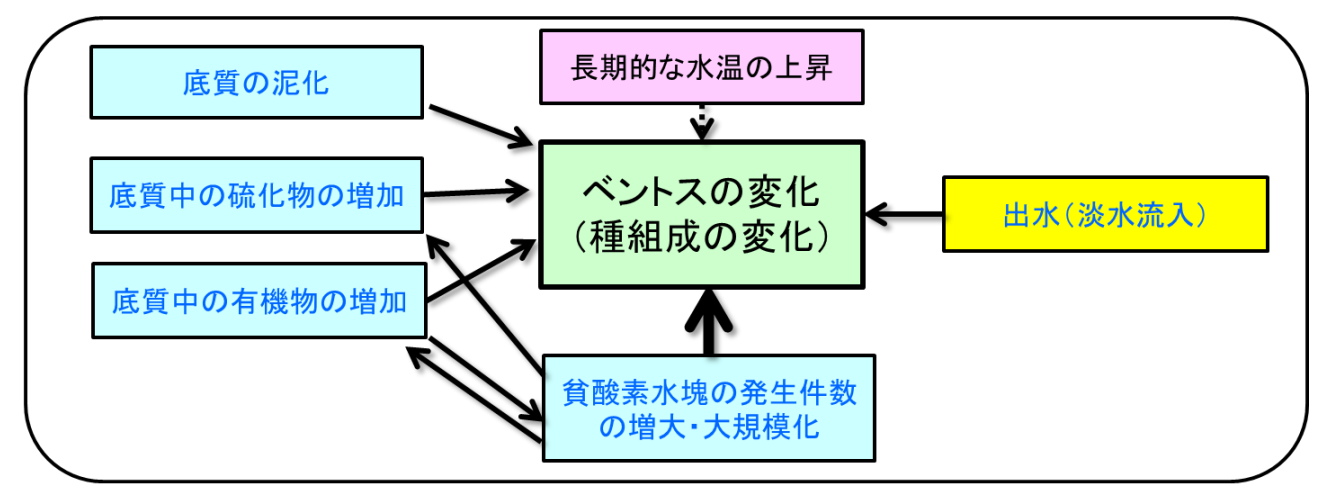
8 9 10

- 平成28年度委員会報告における問題点等を以下に示す。
  - ・ 日和見的で短命な有機汚濁耐性種の増減等により群衆構造の年変動が大きい等の特 徴がみられるが、変動要因等の明確な特定には至らなかった。
  - ・ 底質の変化に伴ってベントス指標種の個体数が大きく増加した可能性が示唆されたものの、一時的な現象である可能性が高く、底質との明確な関係性は認められていない。
  - ・ ベントス群集への底質以外の影響要因として、貧酸素化、長期的な水温上昇等が挙げられているが、関連性については十分な知見が得られていない。

## (1) 有明海

1 2

有明海における、平成 28 年度委員会報告以降に新たに得られた知見をサブ連関図及び要因整理表に整理した(付図 4.2.1-1 及び付表 4.2.2-1)。



注) : 平成 28 年度委員会報告にて示した原因・要因

: 生物、水産資源、: 海域環境: : 気象・海象)

: 平成 28 年度委員会報告以降に得られた知見に基づき追加された原因・要因

青字: 平成 28 年度委員会報告以降に新たな知見が得られた事象

➡ (太実線):影響が大きい(複数年度で影響が確認される場合)

→ (実線) : 影響が小さい (単年度での影響の確認に留まる場合あるいは影響の大小が不明)

→ (点線) :影響が確認できなかったもの

付図 4.2.2-1 有明海のベントスの変化と原因・要因との関連(サブ連関図)

付表 4.2.2-1 海域区分別の有明海のベントス変化と原因・要因との関連(要因整理 表)

	A2海域	A3海域	A4海域	他の 海域等	備考
底質中の有機物の増加	-	Δ*	-	_	
底質中の硫化物の増加	_	_	_	$\Delta^*$	他の海域はA6海域
底質の泥化	-	Δ*	_	$\Delta^{*}$	他の海域はA6海域
貧酸素水塊の発生件数 の増大・大規模化	$\Delta^*$	O*	_	_	夏期に貧酸素水塊が発生
長期的な水温の上昇	_	_	_	_	
出水(淡水流入)	_	_	_	$\Delta^{*}$	夏期の出水に伴って淡水が流入 他の海域はA1海域

注) 〇:影響が大きい(複数年度で影響が確認される場合)

△:影響が小さい(単年度での影響の確認に留まる場合あるいは影響の大小が不明)

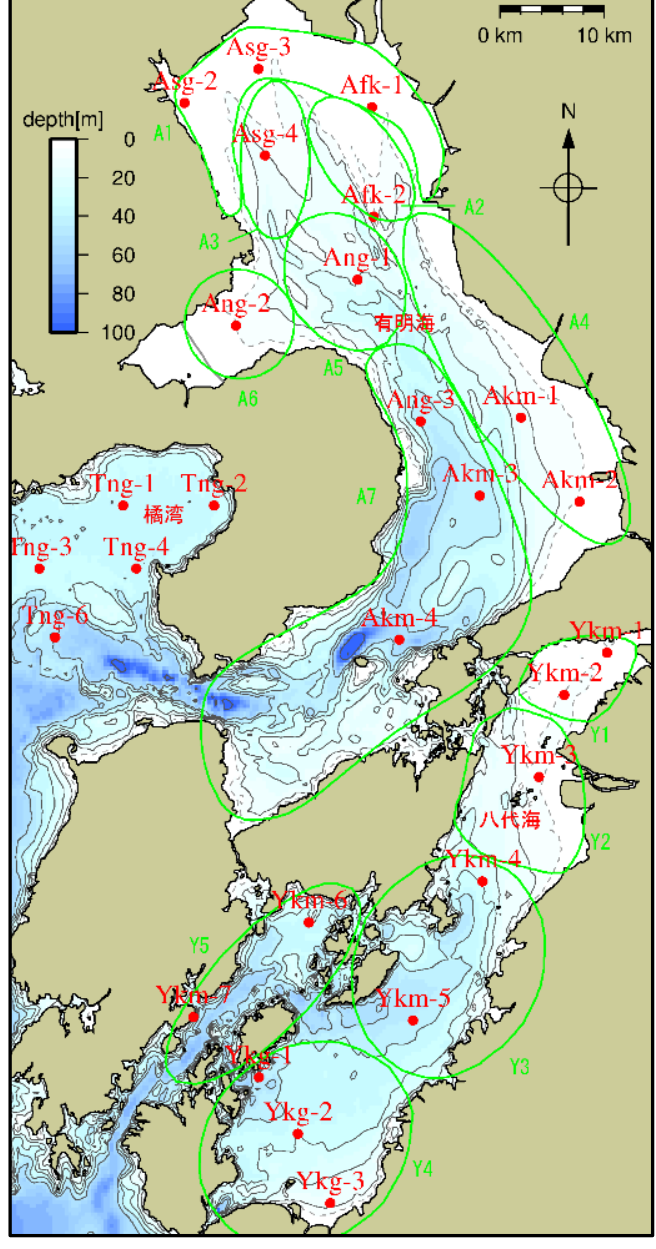
-:影響が確認できなかったもの

※: 平成 28 年度委員会報告以降に新たな知見が得られた事象

## ア) 底質の変化による影響

2005 年度~2023 年度におけるベントス及び底質データについて、有明海・八代海それぞれでクラスター分析<sup>注)</sup>により複数のグループに分類し、各調査地点(付図 4.2.2-2)におけるベントスと底質グループの経年変動について比較を行った。なお、クラスター分析に用いた生物データは種別個体数及び多様度指数、底質データは T-N、COD、T-S、中央粒径とし、夏期と冬期に分けて分析した。

注)クラスター分析とは、個々のデータから類似しているデータ同士をグルーピングする分析手法であり、グルーピングされた データの集まりをクラスター(集団)と表現する。各グループ内のデータは互いに似た性質を持ち、異なるグループ間では大き な違いが存在するように分けられる。



付図 4.2.2-2 ベントス及び底質の調査地点

出典:環境省(2024)「有明海・八代海等総合調査評価委員会第14回海域環境再生方策検討作業小委員会資料4-2」

有明海の夏期においては、ベントスは6つのグループに、底質は4つのグループに分類さ れた(付図 4.2.2-3)。ベントスグループ 1 は種類数・個体数が少なく、多様度が最も低い。ベ ントスグループ2から5になるに従って種類数、多様度が高くなり、グループ5は最も種類数、 多様度が高くなった。ベントスグループ 6 は個体数が非常に多いグループであった。底質グ ループ I は中央粒径が最も小さく、T-N、COD の値が大きい。底質グループ ⅡからIVになる に従って中央粒径が大きくなり、T-N、COD が小さくなる傾向であったが、T-S はグループⅡ が最も大きくなった 26)。

T-N

COD

8 9

1

2

3 4

5 6

7

26 27 28

29 30 31

23 24 25

37

38

39

Group I 種類数 (mg/g.dry) 10 Group II -Group1 86% -Group2 Group Ⅲ ø6% -Group3 Group IV *4*0% Group4 Group5 Group6 中央粒径 (mg/g.dry) (mm) 個体数 (個体数 /m2)

付図 4.2.2-3 有明海・夏期のベントス(左)、底質(右)のグルーブ特性 出典:環境省(2024)「有明海・八代海等総合調査評価委員会第14回海域環境再生方策検討作業小委員会資料4-2」を更新

各調査地点のベントスと底質のグループの経年変動を確認した結果、ベントスグループが変 化した場合において、翌年等に元のグループに戻る傾向が多くみられた一方で、A3 海域 (Asg-4)では 2019 年度夏期以降、A6 海域(Ang-2)では 2018 年度夏期以降、元のグループ に戻らない状況が継続しており、同時期に底質グループも変化がみられたことから、これらの地 点において、ベントスと底質との関連性を検討した。

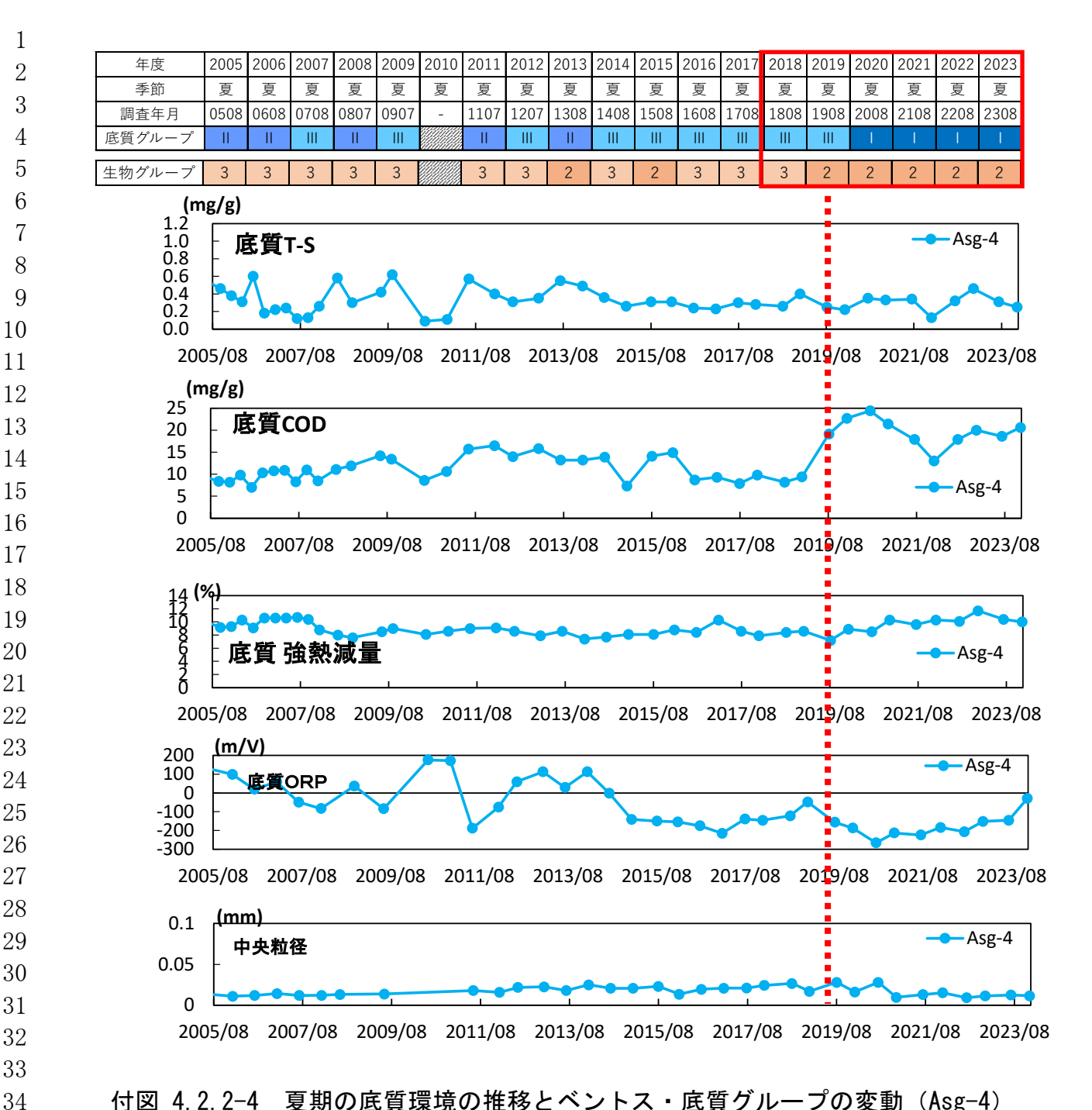
# ① 底質中の有機物・硫化物の増加及び底質の泥化の影響

A3海域(Asg-4)では、2019年度夏期以降、ベントスの種類数が減少するとともに多様度も低 下した一方で、底質の COD が増加していることから、COD の増加がベントスの変動に影響した 可能性が示唆された <sup>26)</sup> (付図 4.2.2-4)。 同地点では、COD は増加しているものの、強熱減量 は大きな変動がみられず、ORP(酸化還元電位)が低下していることから、COD の増加は有機 物量の増加よりも、還元体の増加による影響が大きいものと推察された。

なお、2019 年度夏期以降において、T-S や中央粒径に大きな変化はみられていないことか ら、中央粒形がベントスの変動に大きな影響を及ぼしている可能性は低いものと考えられる。

<sup>40</sup> 41

<sup>26)</sup> 環境省(2024)「有明海・八代海等総合調査評価委員会第14回海域環境再生方策検討作業小委員会資料4-2」を更新

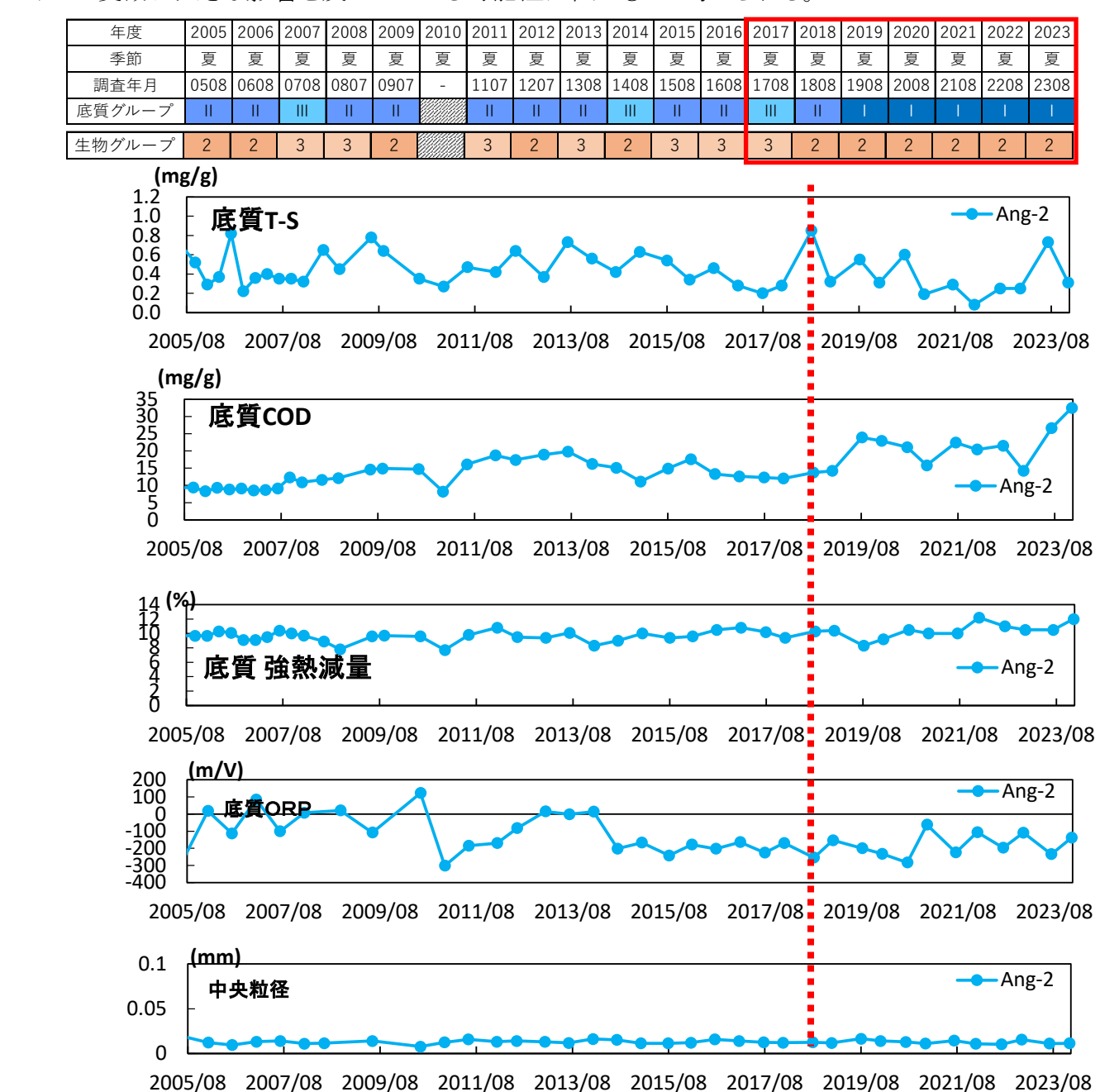


付図 4.2.2-4 夏期の底質環境の推移とベントス・底質グループの変動(Asg-4) 出典:環境省(2024)「有明海・八代海等総合調査評価委員会第14回海域環境再生方策検討作業小委員会資料4-2」を更新

 $\begin{array}{c} 36 \\ 37 \end{array}$ 

また、A6 海域 (Ang-2) では、2018 年度夏期以降、ベントスの種類数が減少するとともに多様度も低下した一方で、同時期に底質グループ II (T-S 濃度が高く、COD 濃度がやや高いグループ) に移行しており、T-S の増加がベントスの変動に関与している可能性が示唆された  $^{26}$  (付図 4.2.2-5)。

なお、2018 年度夏期以降、中央粒径に大きな変化はみられていないため、中央粒径がベントスの変動に大きな影響を及ぼしている可能性は低いものと考えられる。



付図 4.2.2-5 夏期の底質環境の推移とベントス・底質グループの変動(Ang-2) 出典:環境省(2024)「有明海・八代海等総合調査評価委員会第14回海域環境再生方策検討作業小委員会資料4-2」を更新

### イ) 貧酸素水塊の発生件数の増大・大規模化による影響

# ① 貧酸素状態によるベントスへの影響

有明海湾奥部で最も貧酸素状態(底層 DO:2mg/L 未満)となる A3 海域(Asg-4)では、2019年度夏期以降、ベントスの種類数が減少するとともに多様度も低下した。Asg-4 近傍の P6 地点では 2020年度夏期以降、底層 DO が 3mg/L 未満となった日数が多く、種類数も減少しており、貧酸素状態によるベントスへの影響が生じている可能性が考えられるが、ベントス相(種組成)の変化についてはより詳細な解析が必要と考えられる<sup>26)</sup>(付図 4.2.2-6)。

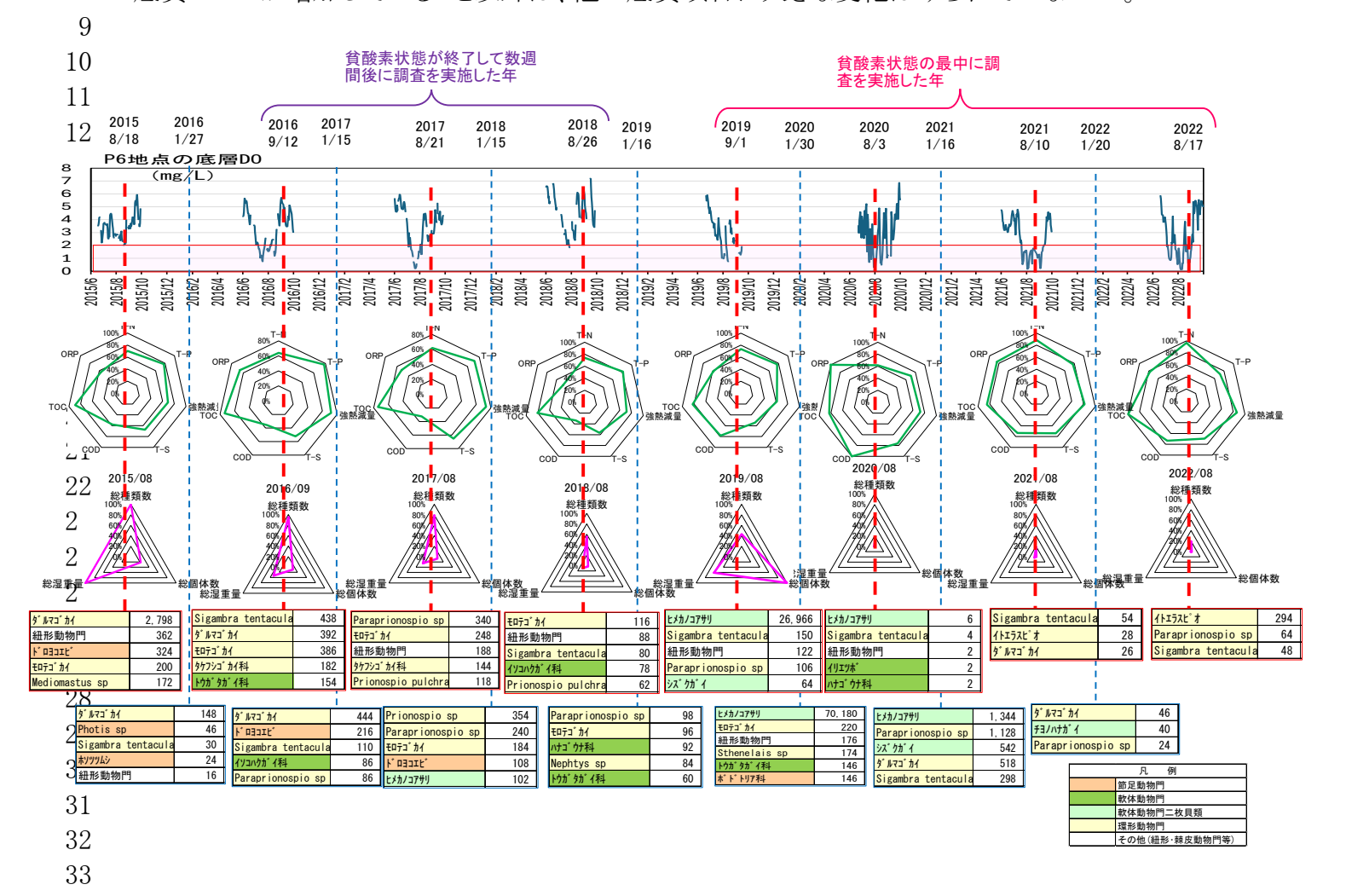
年度	2005	2006	2007	2008	2009	2010	2011	2012	2013	2014	2015	2016	2017	2018	2019	2020	2021	2022	2023
季節	夏	夏	夏	夏	夏	夏	夏	夏	夏	夏	夏	夏	夏	夏	夏	夏	夏	夏	夏
調査年月	0508			0807	0907	-	1107	1207	1308	1408		1608	1708		1908		_	2208	2308
物グループ	3	3	3	3	3		3	3	2	3	2	3	3	3	2	2	2	2	2
100	(種)																		
	7	1					<b>^</b>		1										
80	'	4	• 1	<b>\</b>		/	`\	1	<b>,</b> /	•		•				- 1			
60	- 1	١.	\ <b>~</b>	-\	90		,	<b>V</b>	•	<b>?</b> /	- 1	/ •	—	\ 1	<b>?</b>				
	17	₹/		-\.	/					$\bigvee$	- \	/		V	\/	\		7	\ /
40	'	<b></b> *		$\mathcal{A}^{V}$	8					ار ق	~\	٥-٩	$\overline{}$		¥	1			¥
20		K.		4					7	V			ار		$\mathcal{Y}$	<b>\\</b> 1	~	$\mathcal{J}_{I}$	-
0		-	1000		3.		-	-0-		Y	7	Za.			V	W			7
	005/08	8 2	007/0	8 2	009/0	8 2	011/0	8 2	013/0	8 2	015/0	8 2	017/0	18 2	2019/0	18	2021/0	8 2	.023/
_	003,00		<b>●</b> 総				《体動物				動物門			, 定動物			-そ O		.023/
2/傳統	数/m²		1/40	作主大只多	х —	+/	(1十三月1	1 100		ニュネルン	3月7月1	1	Д	1年到1	201		_ ( 0.		
20 <del>,0</del> 00															7	ı			
15 000															1	E			
15,000							<b>*</b>								1 :	Ē			
10,000	.						$/\mathbb{N}$								1	E			
_0,000		₹	<b>†</b>			//	- //		8										
5,000		<b>5</b>	/\ 🗸	\	_		/3	۱,			1				/ ₺				
			V	A.			}		7	$\searrow$					1			,	
0		8000		-00				-		-4							-	-	
2	005/08	8 2	007/0		009/0		011/0		013/0		015/0		2017/0		2019/0	08 🚦 3	2021/0		2023,
		-	- 総	固体数	. –	<b>─</b> 軟	体動物	加門	-	環形動	動物門	l <del>-</del>	— 節	足動物	か門	-	その	他	
100	7													-	Р6				
三 三 二 二 3 8 0	_																		
。 1 1 1 1 1 1 1 1 1 1 1 1 1 1 1 1 1 1 1								_											
9. 熊 60	1					<u> </u>						_				*			
は は は は は は は は は は は は は は															į				
	T													\ ,	/				
ģi ≘ 20	7					_													
严值						•													

付図 4.2.2-6 貧酸素発生日数の推移とベントス・底質グループの変動(Asg-4) 出典:環境省(2024)「有明海・八代海等総合調査評価委員会第14回海域環境再生方策検討作業小委員会資料4-2」を更新

年度

A3 海域(Asg-4)において、ベントスの種類数・個体数・湿重量と底層 DO との関係を整理した(付図 4.2.2-7)。2016 年、2017 年とも夏期に顕著な貧酸素状態であったが、調査を実施したのは貧酸素状態が終了して数週間後であり、種類数・個体数・湿重量はその前後の年と比較して大きな変動はみられなかった。

一方で、貧酸素状態が顕著となった状態で調査を実施した 2020 年、2021 年、2022 年の夏期には、種類数・個体数・湿重量が激減しており、貧酸素状態によるベントス群集への影響が生じている可能性が示唆された。なお、その際、貧酸素状態に伴って酸化還元電位が低下し底質 COD が増加していること以外は、他の底質項目に大きな変化はみられていない<sup>27</sup>。



付図 4.2.2-7 ベントスの種類数・個体数・湿重量と底層溶存酸素量の比較(Asg-4)

出典:環境省(2025)「令和 6 年度有明海·八代海等再生対策検討作業支援業務報告書」

<sup>27)</sup> 環境省(2025)「令和6年度有明海・八代海等再生対策検討作業支援業務報告書」

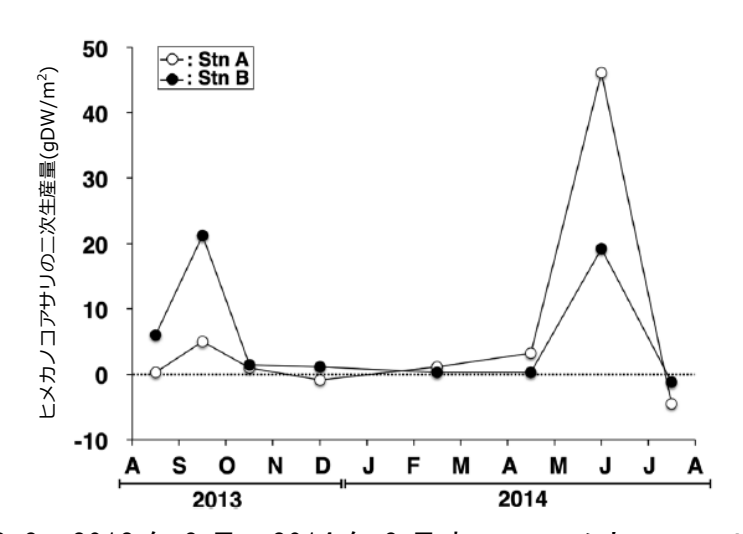
# ② 貧酸素状態による二枚貝の成長への影響

有明海低酸素耐性二枚貝であるヒメカノコアサリ Veremolpa micra の生物学的特性を明らかにするため、A2 海域に位置する 2 地点で野外調査を行った(図 4.2.2-1)。その結果、両地点とも夏期に新たな個体群が発見された。2013年8月には、B 地点よりも A 地点の方が表層堆積物においてより高濃度の還元状態を記録しており、貧酸素化が進んでいたとみられる。その後、A 地点ではヒメカノコアサリの殻の成長が低い結果となり(付図 4.2.2-8)、嫌気性代謝に頼らざるを得なかったことが示唆される。このことから、低酸素耐性二枚貝の個体群の成長速度と生存パターンは、堆積物の還元状態の程度により地点間で異なることが明らかとなった<sup>28)</sup>。

33°10'N33°00'N4
Japan

A
B
5 km

図 4.2.2-1 調査地点図



付図 4.2.2-8 2013 年 8 月~2014 年 8 月までのヒメカノコアサリの二次生産量

出典:Orita et al. (2021)

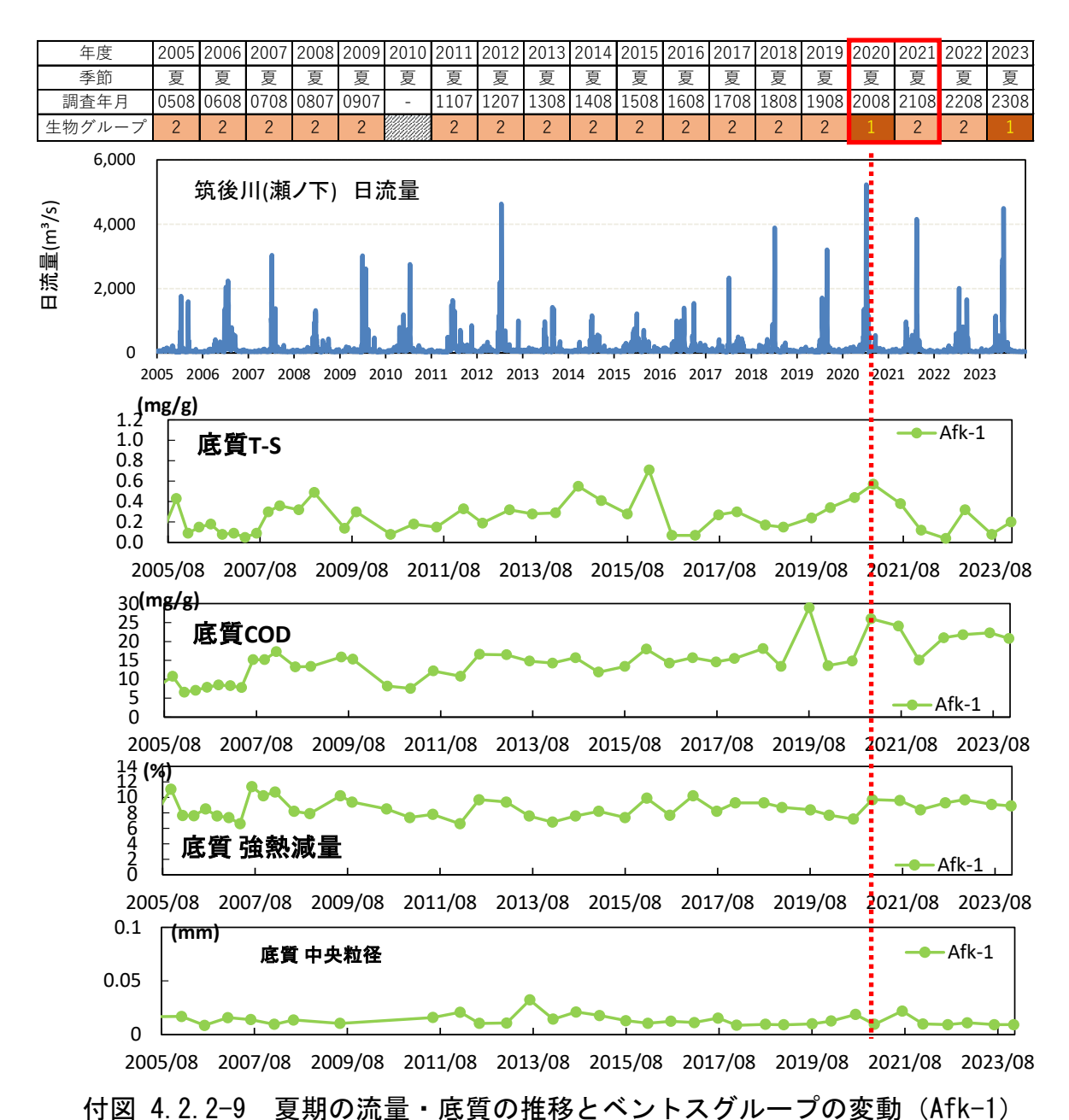
<sup>28)</sup> Ryo Orita, Tomohiro Komorita, Mutsuo Ichinomiya, Hiroaki Tsutsumi (2021) Population dynamics of a hypoxia-tolerant bivalve: A comparison of two sites in the inner part of Ariake Bay, Japan

#### ウ) 出水(淡水流入)による影響

1 2

### ① 出水によるベントス相への影響

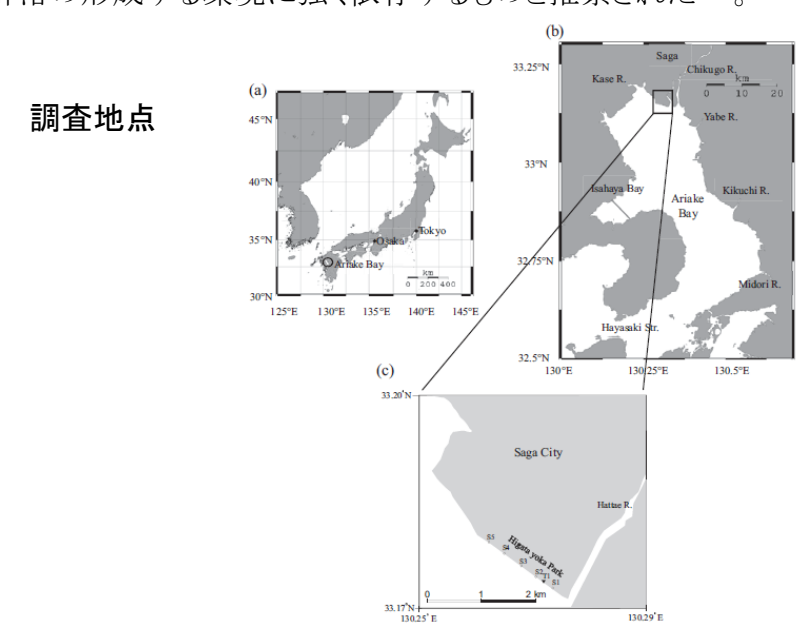
A1海域(Afk-1)において、2020年度夏期にベントスの種類数が減少するとともに多様度も低下したが、翌2021年度夏期には種類数が増加し、多様度も上昇していた。2020年度の調査前には大規模な出水が発生しており、出水に伴い一時的にベントス相が変化した可能性が示唆された(付図 4.2.2-9)。一方で、同時期の底質は前年度に比べ T-S、COD、強熱減量の増加や中央粒径の低下が一時的に生じており、出水によるベントス相への直接的な影響か、あるいは出水によって底質が変化し、それがベントス相に影響したかは不明であり、より詳細な解析が必要と考えられる<sup>26</sup>。

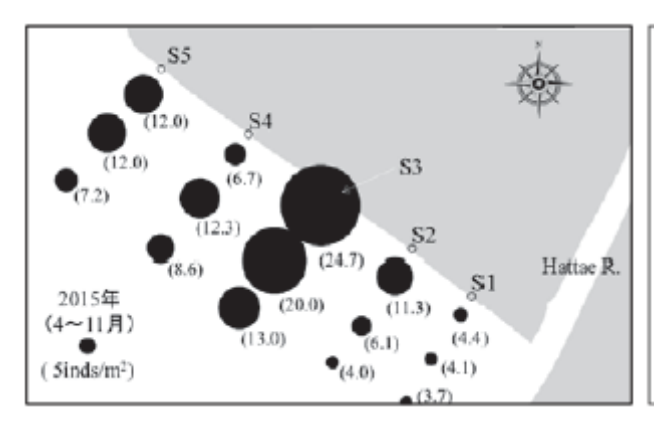


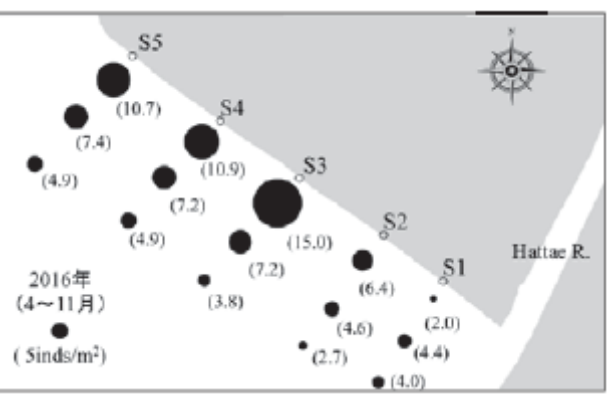
出典:環境省(2024)「有明海・八代海等総合調査評価委員会第14回海域環境再生方策検討作業小委員会資料4-2」を更新

### ② 出水による漂着ごみ等によるベントス相への影響

A1 海域に位置する東よか干潟における 2015 年と 2016 年のベントス調査結果によると、個体密度の平均値は、S3 で最も大きく、S1 で最も小さかった(付図 4.2.2-10)。また、表在性マクロベントスの出現種の空間分布において、S1 ではトビハゼやムツゴロウなどの脊椎動物門硬骨魚綱が 54~78%であるが、S2~S5 ではシオマネキやヤマトオサガニなどの節足動物門軟甲綱が64~99%であった。表在性マクロベントスの個体密度が比較的高い S3~S5 の岸から 10~30mの領域では、2015 年において S3 を中心に多くのシチメンソウ群落が自生しており、シチメンソウ群落の分布と軟甲綱、特にシオマネキ類の高い出現エリアは概ね一致した。しかし、2016 年において、2015 年に最も個体密度が高かった S3 を中心に軟甲綱の出現頻度は激減した。これは、2016 年 6 月~7 月の大出水時に干潟沿岸に大量のゴミが漂着し、漂着ゴミを重機で清掃する際、自生していたシチメンソウ群落の分布が一致していることから、シオマネキの分布はシチメンソウ群落の形成する環境に強く依存するものと推察された 290。







付図 4.2.2-10 表在性マクロベントスの個体数密度の空間分布

出典:前崎ら(2018)

4 5

<sup>29)</sup>前崎桜樹、郡山益実、石橋拓也(2018)東よか干潟高潮間帯域におけるマクロベントス群集、佐賀大農彙 103、p1-8

### エ) まとめ

A3 海域 (Asg-4) では、2019 年度夏期以降、底質の COD 増加に伴ってベントスの種類数が減少するとともに多様度も低下した可能性が示唆された。なお、強熱減量に大きな変動がみられておらず、ORP(酸化還元電位)が低下していることから、COD の増加は有機物量の増加よりも、還元体の増加による影響が大きいものと推察された。

底質中の硫化物の増加については、A6 海域(Ang-2)では、2018 年度夏期以降、ベントスの 種類数が減少するとともに多様度も低下した際に、底質の T-S が増加していたことから、ベント スの変動に関与している可能性が示唆された。

底質の泥化について、上記の A3 海域と A6 海域でベントスの変動がみられた際に中央粒径 に大きな変化はみられていないことから、ベントスの変動に大きな影響を及ぼしている可能性は 低いものと考えられた。

貧酸素水塊については、A3 海域(Asg-4)において、顕著に貧酸素化した期間に調査を実施した年は種類数・個体数・湿重量が激減しており、貧酸素状態がベントス群集に影響を与えている可能性が示唆された。

出水(淡水流入)について、A1海域(Afk-1)において、2020年度夏期にベントスの種類数が減少するとともに多様度も低下しており、同時期の調査前には大規模な出水が発生していることから、出水に伴う一時的なベントス相の変化の可能性が示唆された。一方で、同時期の底質は前年度に比べ T-S、COD、強熱減量の増加や中央粒径の低下が一時的に生じており、出水によるベントス相への直接的な影響か、あるいは出水によって底質が変化し、それがベントス相に影響したかは不明である。

# (2) 八代海

1 2

3

4 5 6

11 12 13

14

15

16

17

18

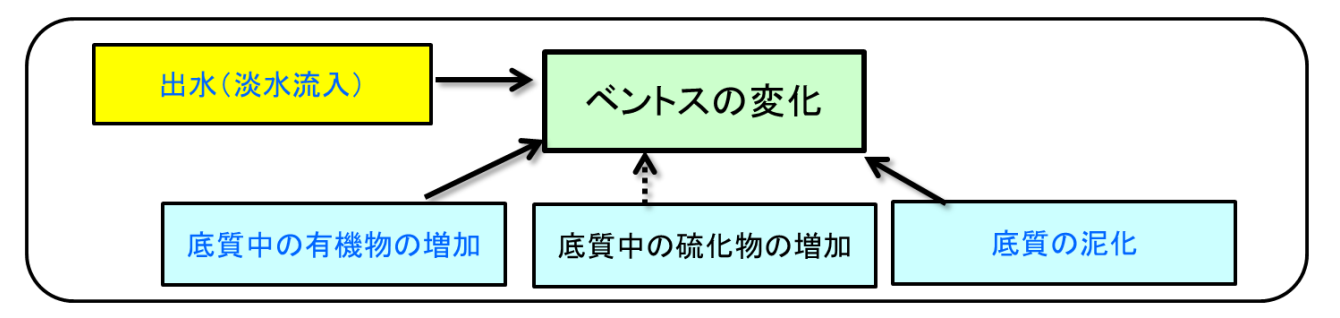
1920

212223

2425262728293031323334

35

八代海における、平成 28 年度委員会報告以降に新たに得られた知見をサブ連関図及び要因整理表に整理した(付図 4.2.2-11 及び付表 4.2.2-2)。



注) : 平成 28 年度委員会報告にて示した原因・要因 ( 生物、水産資源、 : 海域環境)

: 平成 28 年度委員会報告以降に得られた知見に基づき追加された原因・要因

青字: 平成28年度委員会報告以降に新たな知見が得られた事象

➡ (太実線):影響が大きい(複数年度で影響が確認される場合)

→ (実線) :影響が小さい (単年度での影響の確認に留まる場合あるいは影響の大小が不明)

→ (点線) :影響が確認できなかったもの

付図 4.2.2-11 八代海のベントスの変化に関する問題点と原因・要因との関連

付表 4.2.2-2 八代海のベントス変化と原因・要因との関連(要因整理表)

	Y2海域	他の海域等	備考
底質中の有機物の増加	Δ*	-	
底質中の硫化物の増加	_	_	
底質の泥化	Δ*	-	
出水(淡水流入)	$\Delta^*$	_	夏期の出水に伴って淡水が流入

注) 〇:影響が大きい(複数年度で影響が確認される場合)

△:影響が小さい(単年度での影響の確認に留まる場合あるいは影響の大小が不明)

-:影響が確認できなかったもの

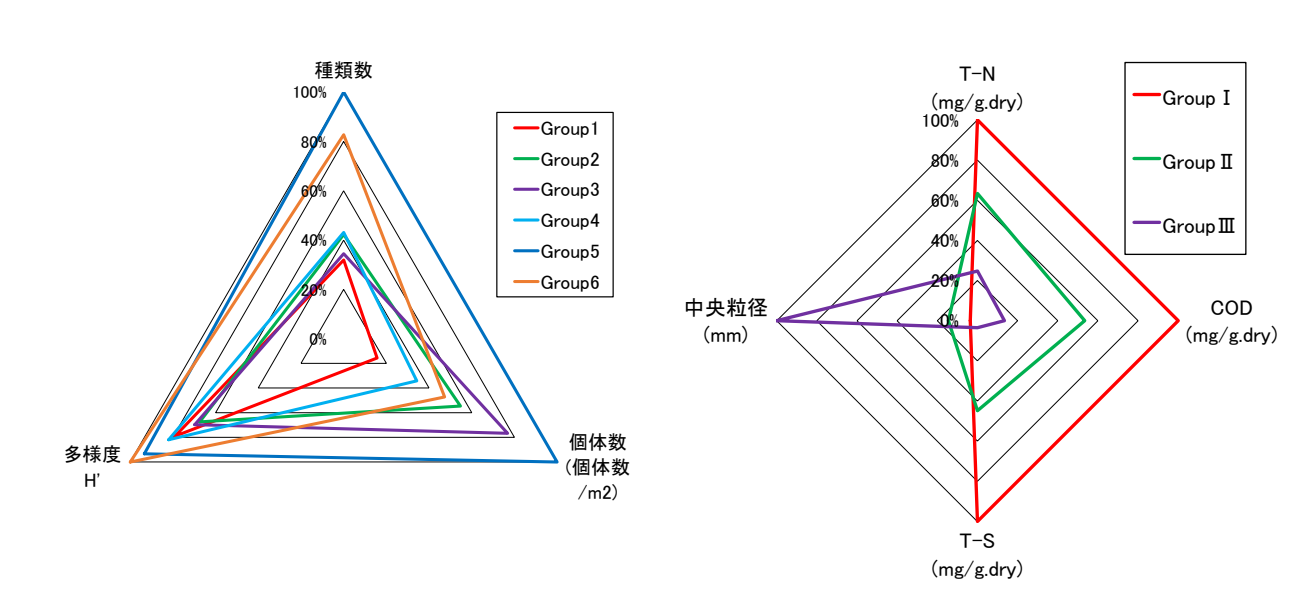
※: 平成 28 年度委員会報告以降に新たな知見が得られた事象

### ア) 底質の変化による影響

1 2

有明海と同様の方法により、八代海のベントスと底質データをクラスター分析により複数のグループに分類し、グループの経年変動を確認するとともに、ベントス群集(種類数、個体数、多様度指数)の変動要因について、底質との関連性を解析した。

八代海の夏期においては、ベントスは6つのグループに、底質は3つのグループに分類された(付図 4.2.2-12)。ベントスグループ 1 は種類数・個体数が少なく、多様度も低い。ベントスグループ 2 から 4 は種類数、多様度がほぼ同じであるが、個体数が相違している。ベントスグループ 5 と 6 は種類数、個体数が多く、多様度も高いグループであった。底質グループ I は中央粒径が最も小さく、I-N I-N I



付図 4.2.2-12 八代海・夏期のベントス(左)、底質(右)のグループの特性 出典:環境省(2024)「有明海・八代海等総合調査評価委員会第14回海域環境再生方策検討作業小委員会資料4-2」を更新

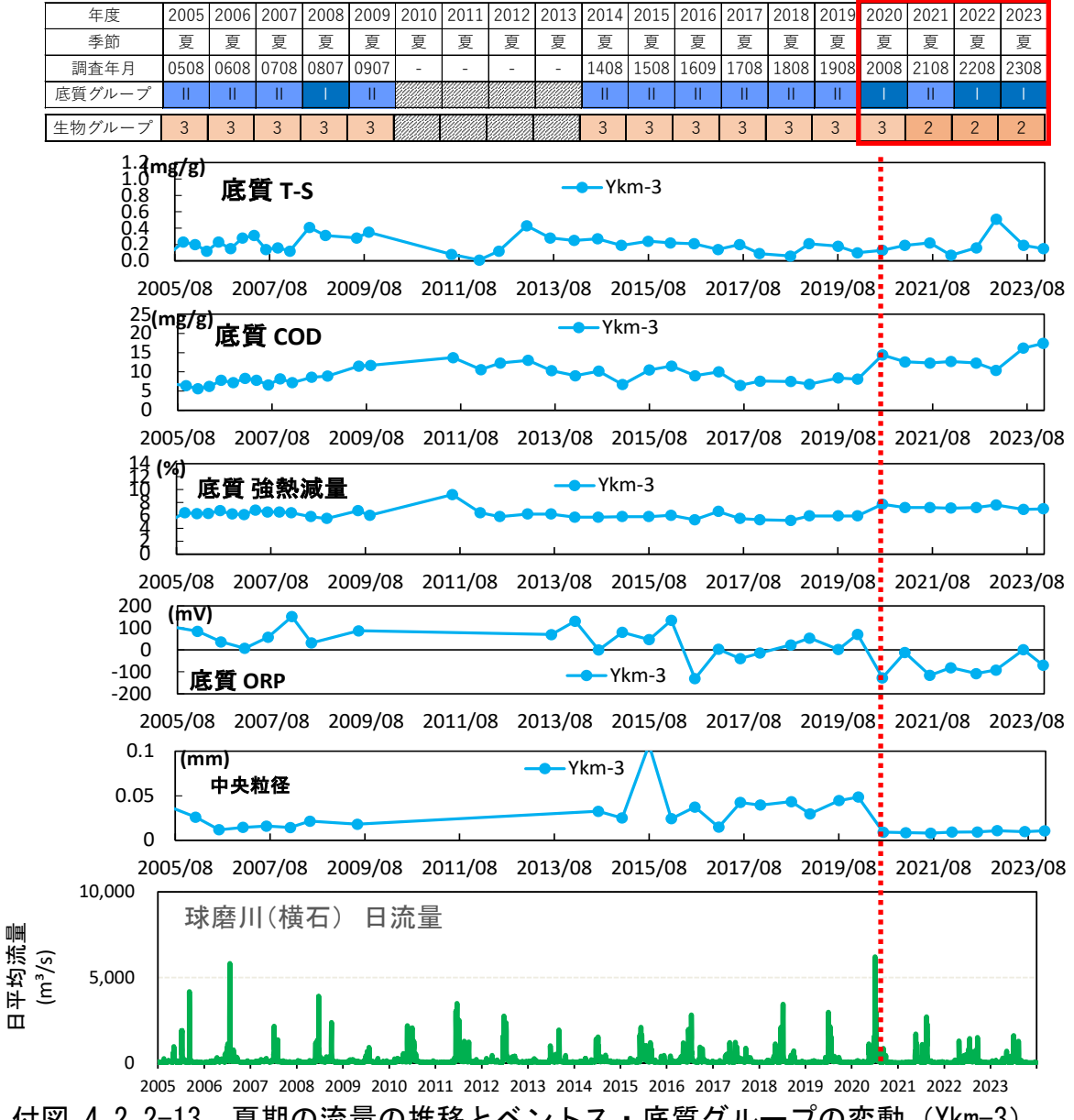
各調査地点のベントスと底質のグループの経年変動を確認した結果、ベントスグループが変化した場合において、翌年等に元のグループに戻る傾向が多くみられた一方で、Y2 海域 (Ykm-3)では 2021 年度夏期以降、元のグループに戻らない状況がみられており、同時期に底質グループも変化がみられていたことから、当該地点において、ベントスと底質との関連性を検討した。

### ① 底質中の有機物・硫化物の増加、底質の泥化、出水の影響

1 2

Y2 海域(Ykm-3)では、2021 年度夏期以降、ベントスの種類数がやや増加したものの個体数が減少しており、その前年の夏期に底質の COD が増加するとともに、粒度も細粒化していることから、これらの底質変化がベントスの変化に影響していることが示唆された(付図 4.2.2-13)。なお、COD の増加時には、強熱減量がやや増加するとともに、ORP(酸化還元電位)も低下していることから、COD の増加が有機物由来か還元体由来かは明確ではなかった。

また、2020 年度夏期においては、調査の約 1 か月前に球磨川で大出水が発生しており、ベントスのグループに変化がなく、底質グループに変化があったことから、出水により底質が変化し、これがベントス相に影響を与えた可能性が示唆されたが、より詳細な解析が必要と考えられる<sup>26)</sup>。



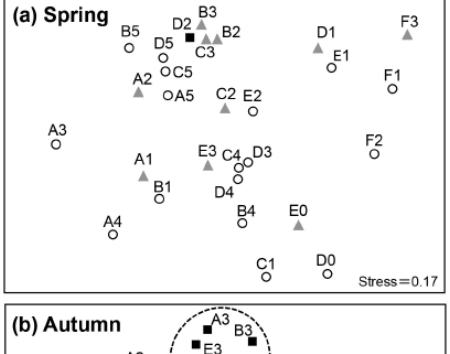
付図 4.2.2-13 夏期の流量の推移とベントス・底質グループの変動 (Ykm-3) 出典:環境省(2024)「有明海・八代海等総合調査評価委員会第14回海域環境再生方策検討作業小委員会資料4-2」を更新

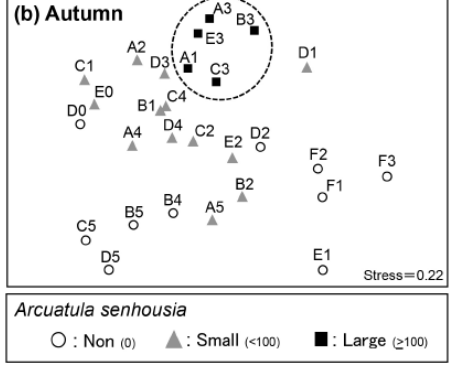
# ② 底質の泥化による影響

広域に分厚いホトトギスガイ・マットが形成される八代海の球磨川河口干潟(Y2 海域)を対象 に、春期と秋期にベントス群集の定量調査を行い、ホトトギスガイのマット形成によるベントスの 群集構造の変化を評価した。ホトトギスガイが小規模に発生した春期では、ベントスの群集構造 に対する影響が検出されなかった一方で、大規模に発生しマットを形成した秋期では、ホトトギ スガイの個体数区分に対応してベントスの群集構造が有意に異なることが明らかになった 30 (付図 4.2.2-14)。

このことは、秋期にかけての大量のホトトギスガイの加入・着底とマット形成が、マット下のベン トス群集の集合規則に影響を与えていることを示唆している。アサリ、アナジャコ、ケヤリムシ科、 ウミイサゴムシなどは、春期に比較的高い個体群サイズを維持していたが、ホトトギスガイのマッ トが形成された秋期に衰退もしくは消滅するパターンを示した。これらの種は一般的に好気的な 砂泥場での出現が多いことから、ホトトギスガイのマット形成による還元化と泥化によって駆逐も しくは水平・垂直移動した可能性が高い 30)。







注) 記号はホトトギスガイの密度レベルを示す

付図 4.2.2-14 球磨川河口干潟のホトギスガイを除いた動物ベントス群集の 類似度(Bray-Curtis)の nMDS 表示((a) 春期、(b) 秋期)

出典:北岡匠、山田勝雅、逸見泰久(2018)

<sup>30)</sup> 北岡匠、山田勝雅、逸見泰久(2018)八代海球磨川河口干潟における底生動物相の時空間変化:ホトトギスガイのマット形 成が群集構造に与える影響、Laguna 25: 93-103

### イ) まとめ

Y2海域(Ykm-3)で底質のCOD増加や細粒化が翌年のベントスの種類数・個体数の変化に影響した可能性が示唆されたが、強熱減量がやや増加、ORP(酸化還元電位)も低下していることから、CODの増加が有機物由来か還元体由来かは明確ではなかった。

底質の泥化については、ホトトギスガイのマットが形成されたことによる還元化と泥化により、ベントス相が駆逐もしくは水平・垂直移動した可能性が高いと考えられた。

出水(淡水流入)については、球磨川での大出水の1か月後の2020年夏期調査において、 底質グループが変化し、ベントスグループは翌年に変化があったことから、出水により底質が変 化し、これが翌2021年度夏期のベントス相に影響を与えた可能性が示唆されたが、より詳細な 解析が必要と考えられる。

### 4.2.3 ノリ養殖の問題

### (1) 有明海

1 2

3

4 5

6

7

8

9

1011

12

13

14

15

16 17

18

19

20

2122

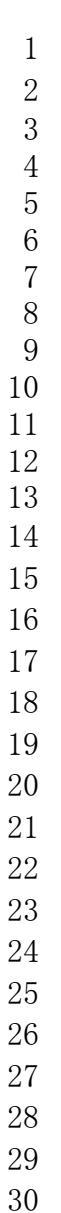
23242526

平成28年度委員会報告における問題点等を以下に示す。

- ・ 有明海のノリ養殖については、2000 年代中頃以降、比較的高い水準で推移しているが、 年度によって生産量の増減がみられ、その要因のとして、病害、色落ち、秋期水温の上 昇に伴う漁期の短縮等が挙げられる。
- ・ ノリの色落ちのメカニズムについては、珪藻類の増殖(赤潮の発生)に伴う海水中の栄養塩濃度の低下が大きな影響を及ぼしているものと考えられており、E. zodiacus については光環境の改善、Skeletonema spp.については水塊の鉛直混合や低水温、高栄養塩濃度など、A. karianus については海水交換の低い海域において、水温の低下と水柱の透過光量の増加が重要であることが示されているが、その詳細は明らかになっていない。
- ・ 安定したノリ養殖の生産を阻害する要因として、秋期の水温上昇や栄養塩の早期の枯 渇による漁期の短縮等が挙げられている。
- ・ ノリ酸処理剤や施肥剤の使用が適正に行われれば、底泥中の有機物や硫化物の増加 の主たる要因となる可能性は低いと思われるが、負荷された有機酸や栄養塩の挙動に ついては知見に乏しい。

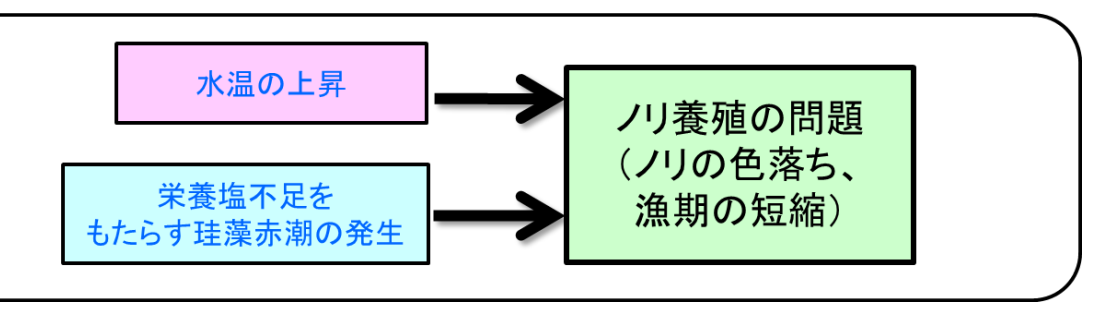
令和8年度委員会報告では、近年のノリの生産額はおおむね維持もしくは増加しているものの、生産量は減少傾向にある。また、2014年以降の有明海・八代海・大村湾におけるモニタリングの結果、酸処理剤による底質や水質への影響は検出されなかった。

平成 28 年度委員会報告以降に新たに得られた知見をサブ連関図及び要因整理表に整理した(付図 4.2.3-1 及び付表 4.2.3-1)。



32

33 34



注) : 平成 28 年度委員会報告にて示した原因・要因

: 生物、水産資源、 : 海域環境 : 気象・海象)

**青字**: 平成 28 年度委員会報告以降に新たな知見が得られた事象 ⇒ (太実線): 影響が大きい(複数年度で影響が確認される場合)

付図 4.2.3-1 有明海のノリ養殖の問題と原因・要因との関連(サブ連関図)

付表 4.2.3-1 ノリ養殖の問題と原因・要因との関連(要因整理表)

		A1海域	A2海域	A3海域	A4海域	他の 海域等	備考
栄養塩不足	大型 珪藻	O*	-	O*	-	_	冬期後半に珪藻が増殖
をもたらす 珪藻赤潮の	中型 珪藻	O*	0*	O*	_	_	冬期前半に珪藻が増殖
発生	小型 珪藻	O*	O*	0*	O*	_	秋期から冬期に珪藻が 増殖
水温の上昇		O*	Δ*	O*	_	Δ*	秋期~冬期における水 温の上昇 将来予測(A2,A7)

注) 〇:影響が大きい(複数年度で影響が確認される場合)

△:影響が小さい(単年度での影響の確認に留まる場合あるいは影響の大小が不明)

-:影響が確認できなかったもの

※: 平成 28 年度委員会報告以降に新たな知見が得られた事象

# ア) 栄養塩不足をもたらす珪藻赤潮の発生要因

3.8.3 有明海における赤潮による漁業被害(ノリ養殖等)で記載したとおり、ノリの色落ちは 商品価値の低下による生産枚数、生産額の減少をもたらす。色落ちの発生メカニズムは不 明な部分もあるものの、基本的に有明海奥部における海水中の栄養塩濃度の低下が重要 な役割を果たしていると考えられる。秋期から冬期の有明海湾奥部における海水中の栄養 塩濃度の低下をもたらす要因のひとつとして珪藻類による赤潮の発生が挙げられる。

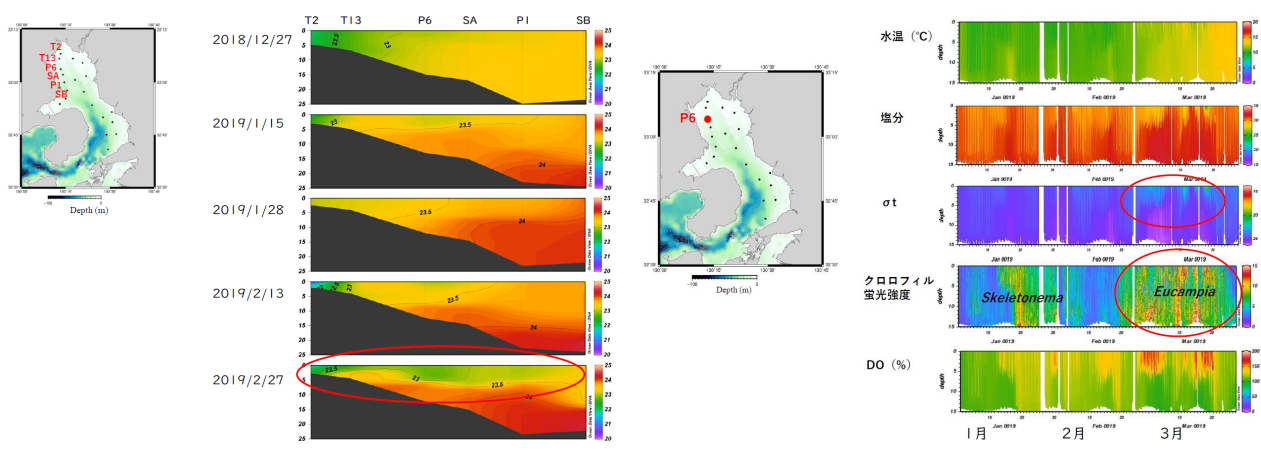
ここでは、色落ちをもたらす珪藻赤潮の発生要因について得られた知見を報告する。

# 

# ① 大型珪藻の発生要因

2018 年度冬期の Eucampia zodiacus の赤潮形成時には、A1 海域、A3 海域では 2 月中旬 からの気温上昇に伴う表層水温の上昇と河川流量増加に伴う表層塩分の低下によって、密度 成層が強化されてエスチュアリー循環が形成されており、2 月下旬以降は全層に Eucampia zodiacus の細胞が分布している様子がみられ、酸素飽和度をみると表層で活発に光合成を行 い、底層には沈降した細胞が存在していると推察された 31)(付図 4.2.3-2)。





における海水密度(σt)の鉛直断面図

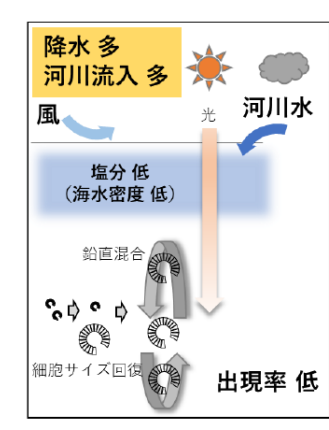
(1) 2018 年 12 月下旬~2019 年 2 月下旬の定点 T2~SB (2) 2019 年 1 月~3 月の定点 P6 の水質自動観測ブイによ る水温·塩分·海水密度(ot)·クロロフィル蛍光強度·酸素 飽和度の鉛直分布変化

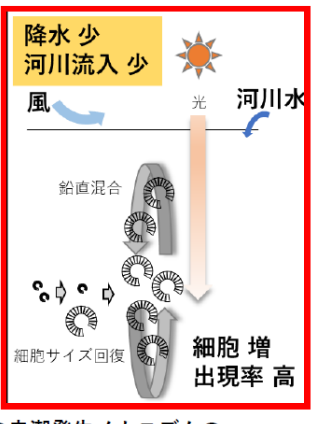
付図 4.2.3-2 冬期の Eucampia zodiacus の赤潮形成時の水塊構造

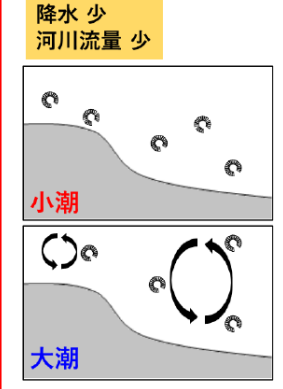
出典:環境省(2025)「有明海・八代海等総合調査評価委員会第16回水産資源再生方策検討作業小委員会資料2-3」

Eucampia zodiacus は、秋期に水温が20℃程度まで低下すると細胞サイズが最小から最大に 回復し、この時期に降水が少ないと鉛直混合の生じやすい環境となり、大型化した細胞が光環 境の良好な表層に出現する機会が増えて生残に有利になると考えられる32)。また、2月以降の 水温が上昇する時期に、降水により河川流量が増加することで栄養塩類が供給されるとともに、 密度成層が形成され細胞の増殖に有利になると考えられる<sup>32)</sup>。(付図 4.2.3-3)

<sup>31)</sup>環境省(2025)「有明海・八代海等総合調査評価委員会第16回水産資源再生方策検討作業小委員会資料2-3」 32)環境省(2025)「有明海・八代海等総合調査評価委員会第16回水産資源再生方策検討作業小委員会資料2-1」









Eucampia zodiacusの赤潮発生メカニズムの 概念図(秋季)

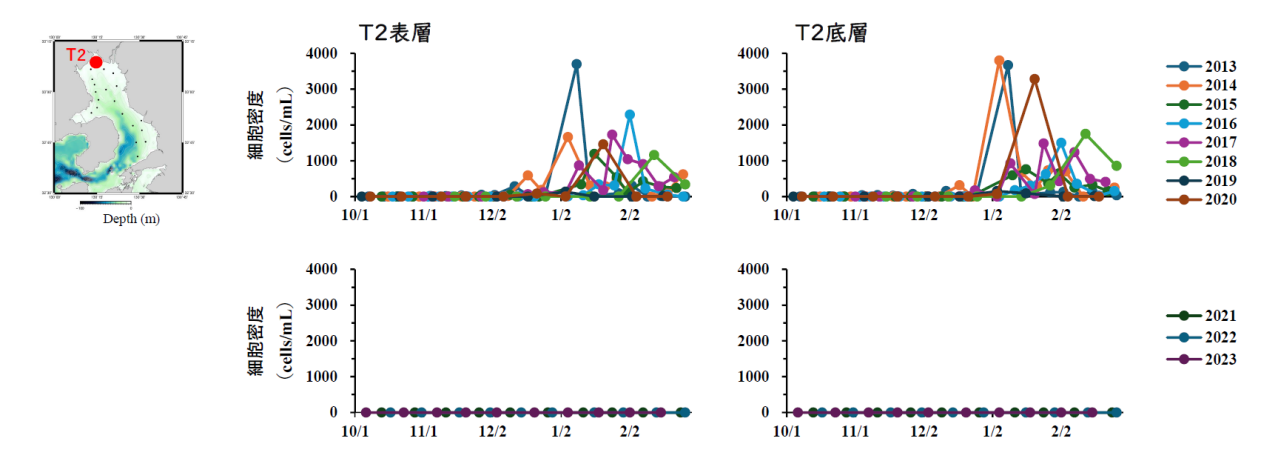
Eucampia zodiacusの赤潮発生メカニズムの 概念図(冬季:水温上昇期)

付図 4.2.3-3 秋期·冬期の Eucampia zodiacus の赤潮発生メカニズム

出典:環境省(2025)「有明海・八代海等総合調査評価委員会第16回水産資源再生方策検討作業小委員会資料2-1」

### ② 中型珪藻の発生要因

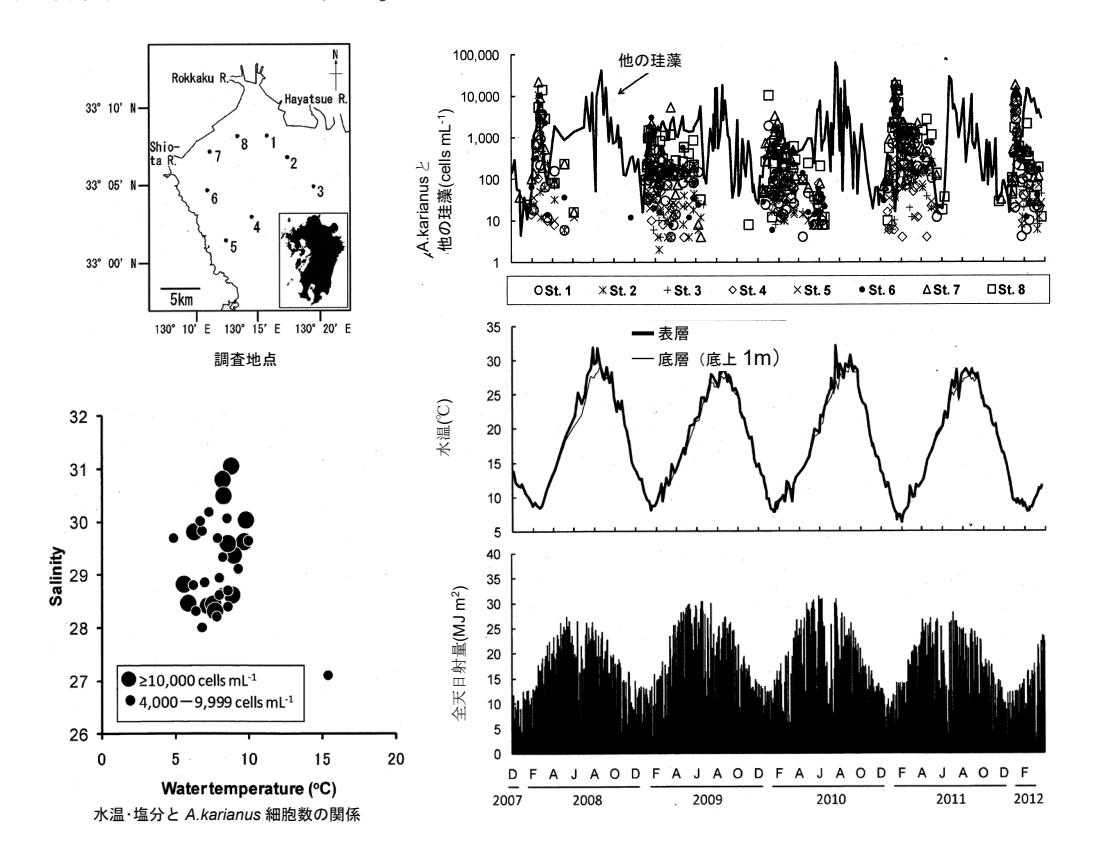
 $Asteroplanus\ karianus\$ は、2007年度~2014年度に佐賀県海域(A1海域)において、単独で、かつ高密度の赤潮を形成し、他海域では赤潮の報告はない $^{32}$ 。2015年度以降は出現時期が遅くなり、単独での赤潮形成もみられず、2020年度に Skeletonema 等との混合赤潮として記録されたのみである $^{32}$ (付図 4.2.3-4)。



付図 4.2.3-4 2013 年度~2023 年度の 10 月~2 月の <u>Asteroplanus karianus</u>の細胞密度の変化

出典:環境省(2025)「有明海・八代海等総合調査評価委員会第16回水産資源再生方策検討作業小委員会資料2-3」

 Asteroplanus karianus の栄養細胞(配偶子を産生する細胞以外の任意の細胞。主に生物の成長や代謝に関与する細胞)は 7 月から 10 月の期間は確認されないが、水温及び日射量が年間で最も低くなる 12 月下旬から 1 月中旬に塩田川河口域を中心とする海域(主に A1 海域、一部 A2・A3 海域も含む)で増殖して赤潮を形成する傾向がある  $^{33}$ (付図 4.2.3-5)。水温が高いと増殖速度が速いものの、A.karianus が冬期に限定的に赤潮を形成する要因として、休眠細胞の復活特性が低水温に適応していることが重要と示唆されている  $^{33}$ 。そのほか、A.karianus の窒素要求性が非常に高いこと  $^{34}$ 、A.karianus は他種よりも低い光強度を利用可能であることが明らかになった  $^{35}$ 。また、近年の研究で A.karianus の休眠細胞の復活及びその後の増殖に至適な水温は 15°C付近と推定された  $^{36}$ 。現在までに想定される A.karianus の赤潮発生機構の概念図を付図 4.2.3-6 に示す  $^{37}$ 。



付図 4.2.3-5 Asteroplanus karianusの細胞密度と水温全天日射量の変化 (2007年度~2012年度)

出典:松原賢、横尾一成、川村嘉応(2014)

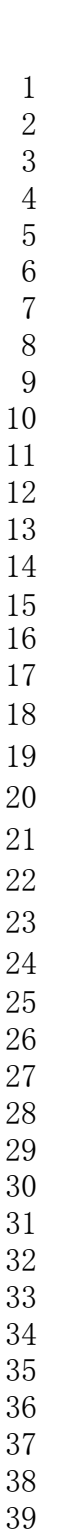
<sup>33)</sup>松原賢・横尾一成・川村嘉応(2014): 有害珪藻 Asteroplanuskarianus の有明海佐賀県海域における出現動態と各種環境要因との関係. 日本水産学会誌, (80), 222-232.

<sup>34)</sup>Yamaguchi, H., M. Minamida, T. Matsubara and K.Okamura(2014): Novel blooms of the diatom Asteroplanus karianus deplete nutrients from Ariake Sea coastal waters. Marine Ecology Progress Series, 517, 51–60.

<sup>35)</sup>Shikata, T., T. Matsubara, M. Yoshida, S. Sakamoto and M.Yamaguchi (2015): Effects of temperature, salinity, and photosynthetic photon flux density on the growth of the harmful diatom Asteroplanus karianus in the Ariake Sea, Japan. Fisheries Science, 81, 1063–1069.

<sup>36)</sup> Tadashi Matsubara, Tomoyuki Shikata, Setsuko Sakamoto, Hiroshi Ota, Takayuki Mine, Mineo Yamaguchi (2022): Effects of temperature and salinity on rejuvenation of resting cells and subsequent vegetative growth of the harmful diatom Asteroplanus karianus, Journal of Experimental Marine Biology and Ecology, Volume 550, May 2022, 151719

<sup>37)</sup>松原賢(2016): 有明海の新たなノリ色落ち原因珪藻 Asteroplanus karianus. p.252-257. 有害有毒プランクトンの科学. 今井一郎・山口峰生・松岡數充編. 恒星社厚生閣, 東京.

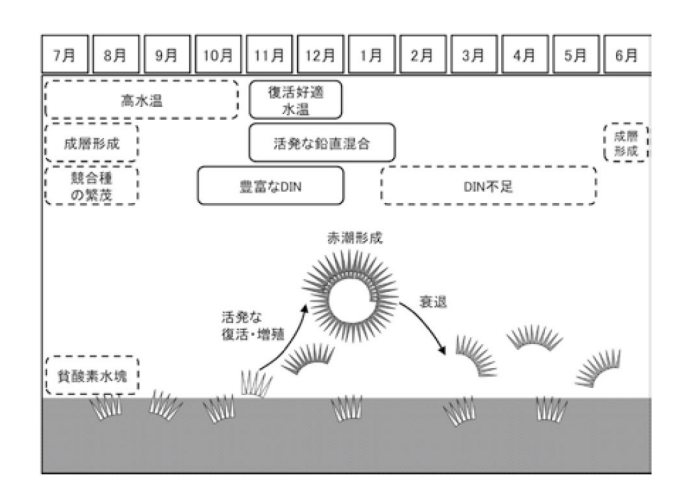


41

42

43

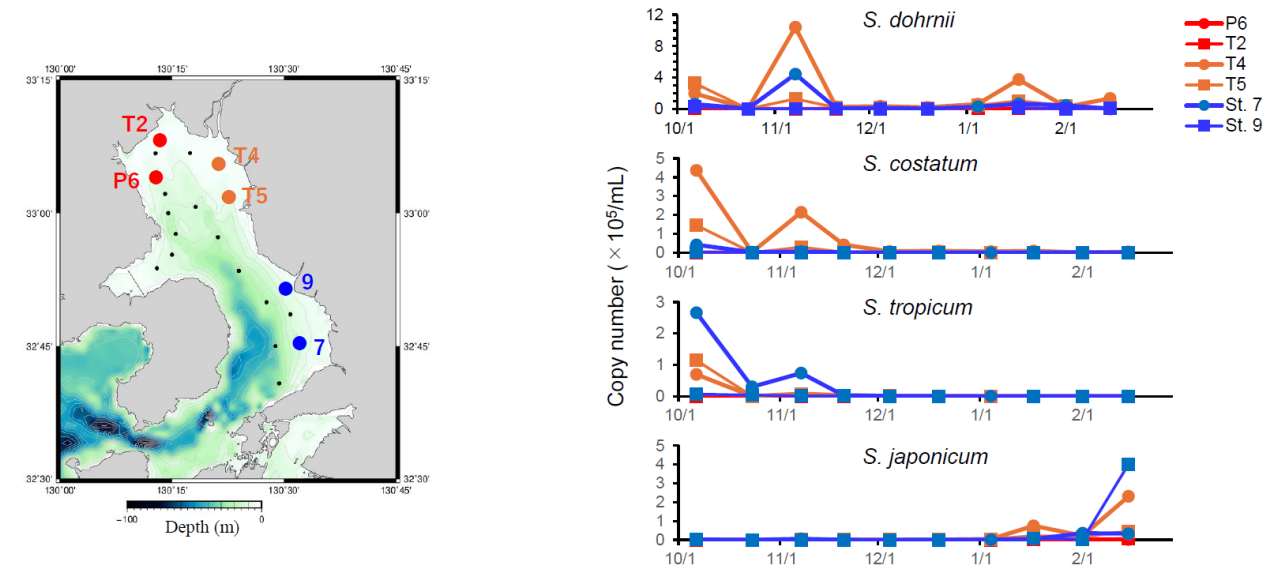
44 45



付図 4.2.3-6 Asteroplanus karianus の赤潮発生機構の概念図 出典:松原賢(2016)

# ③ 小型珪藻の発生要因

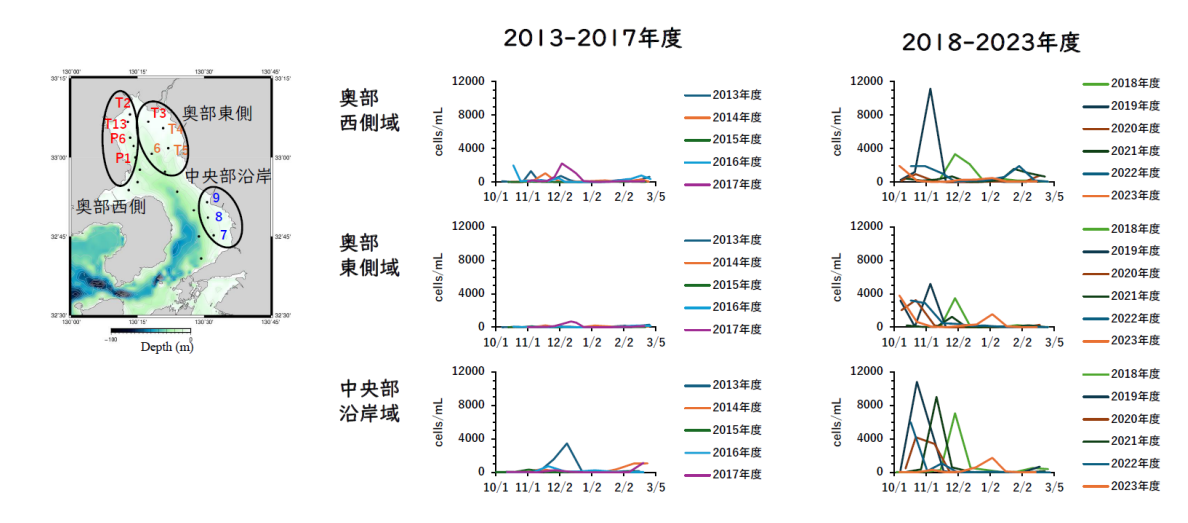
Skeletonema spp.の赤潮は、有明海奥部西側域及び中央東部域における河口周辺(主に A1海域、A4海域、一部 A2・A3海域も含む)での初期増殖及び水塊の滞留による増殖によって形成されることが分かっている  $^{31)}$ 。定量 PCR により有明海広域での Skeletonema 各種の出現状況の把握を行った結果、Skeletonema dohrnii が最も高い頻度で出現が確認され、Skeletonema costatum と Skeletonema tropicum は 10 月~11 月、Skeletonema japonicum は 1 月以降に出現が多いことが判明した  $^{31)}$  (付図 4.2.3-7)。



付図 4.2.3-7 有明海広域での Skeletonema 各種の出現状況

出典:環境省(2025)「有明海・八代海等総合調査評価委員会第16回水産資源再生方策検討作業小委員会資料2-3」

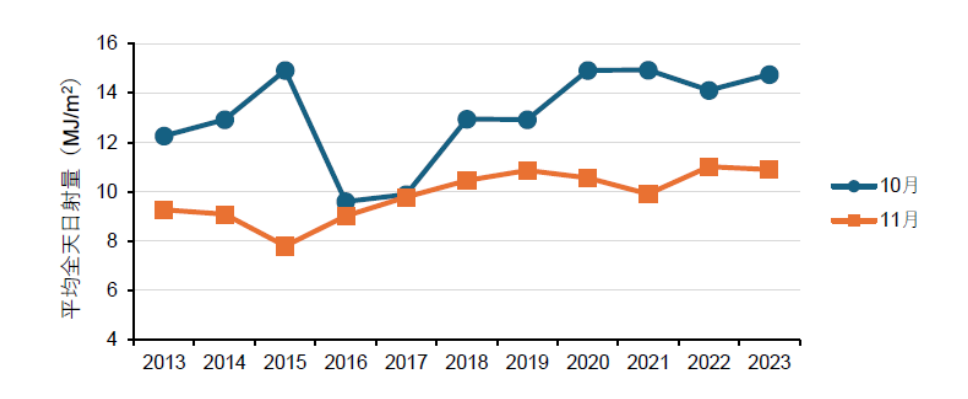
Chaetoceros spp.の赤潮は、主要なノリ色落ち原因珪藻とは扱われてこなかったが、2018年度以降、秋期に有明海広域(A1海域、A2海域、A3海域、A4海域)で細胞密度が上昇し、赤潮化する頻度が上昇してきた<sup>31)</sup>(付図 4.2.3-8)。



付図 4.2.3-8 海域別の Chaetoceros spp. 細胞密度の変化(2013 年度~2023 年度)

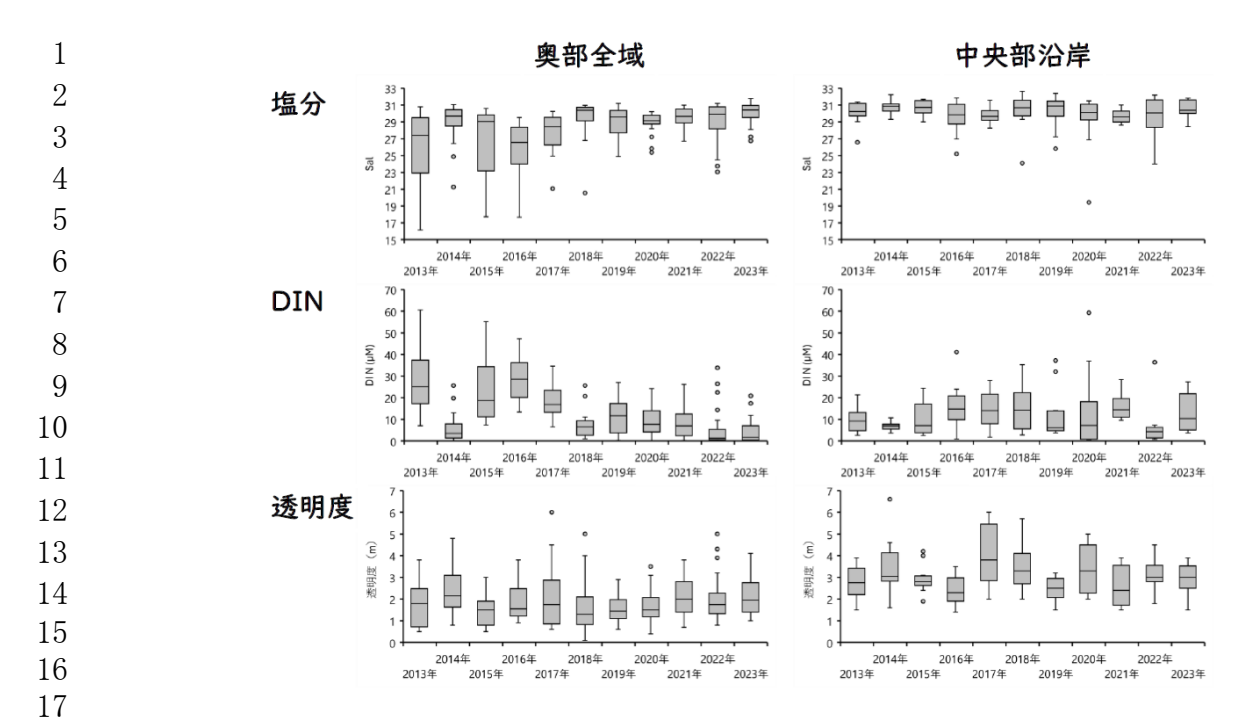
出典:環境省(2025)「有明海·八代海等総合調査評価委員会第16回水産資源再生方策検討作業小委員会資料2-3」

2018 年度~2023 年度の 10 月~11 月は、佐賀市の降水量及び筑後大堰直下の流量が少なく、日照率が高いことで全天日射量は比較的多く、降水量が少なかったことで表層塩分は高く、DIN は低く、透明度については明瞭な上昇はみられなかった <sup>31)</sup>(付図 4.2.3-9、付図 4.2.3-10)。これらから、晴天が続いたことで、水柱内で良好な光環境が継続したことが Chaetoceros 属の増殖に有利に働き、赤潮化した可能性が考えられた <sup>31)</sup>。



付図 4.2.3-9 佐賀市の全天日射量の変化(2013年度~2023年度)

出典:環境省(2025)「有明海・八代海等総合調査評価委員会第 16 回水産資源再生方策検討作業小委員会資料 2-3」

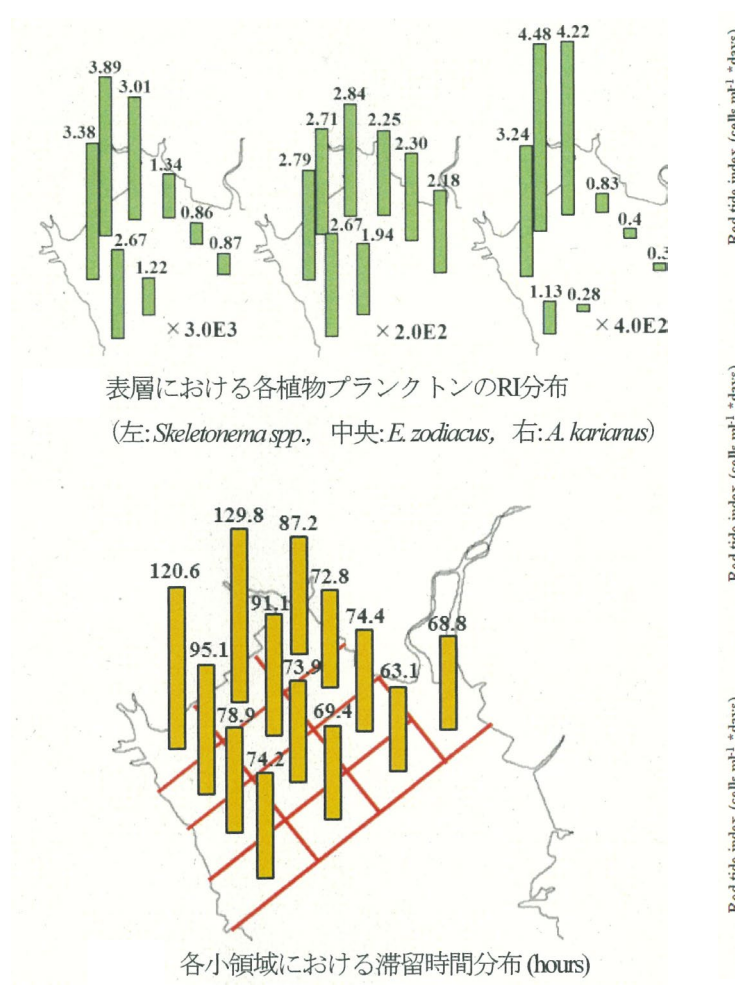


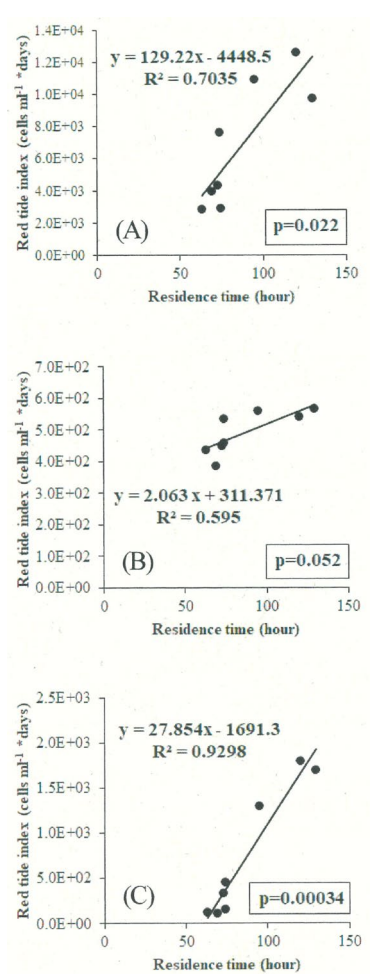
付図 4.2.3-10 10月~11月における表層の塩分とDIN及び透明度(2013年~2023年)

出典:環境省(2025)「有明海・八代海等総合調査評価委員会第16回水産資源再生方策検討作業小委員会資料2-3」

# ④ ノリ養殖施設による潮流の滞留化による影響

 ノリ養殖施設の流体抵抗が滞留傾向を強め、物理環境として植物プランクトンの増殖に寄与していることが明らかとなった <sup>38)</sup>(付図 4.2.3-11、付図 4.2.3-12)。ノリ養殖の実施は滞留傾向を強化する方向に働いており、持続可能な環境構築のためには滞留傾向を弱める対策を実施することが重要である <sup>38)</sup>。一方、ノリ養殖業者の減少によりノリ養殖柵数が減少しており、滞留傾向の緩和に一定程度寄与すると考えられる。





滞留時間と RI の相関関係

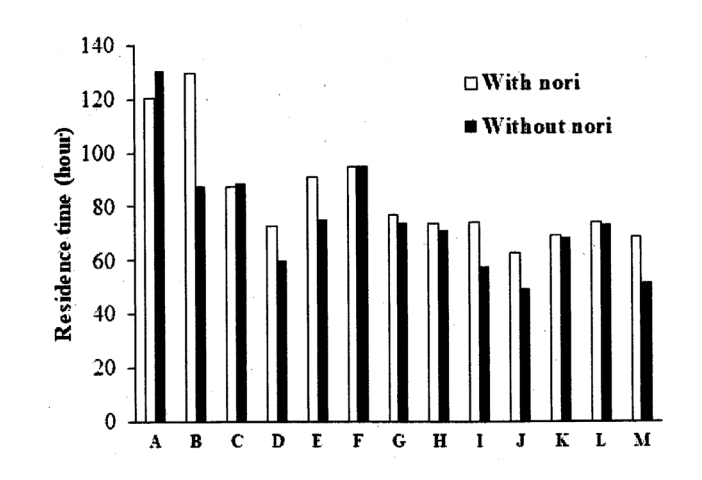
- (A): Skeletonema spp.
- (B): Eucampia zodiacus
- (C): Asteroplanus karianus

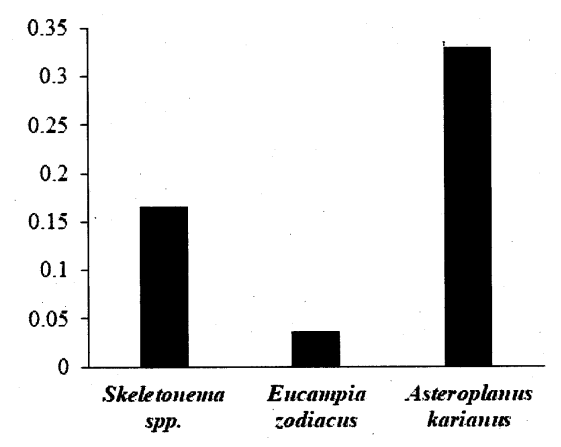
付図 4.2.3-11 数値シミュレーションモデルによる 植物プランクトンの RI <sup>注)</sup> 及び滞留時間の分布

注)RI:植物プランクトンの細胞密度×経過日数。赤潮指数として算定。

出典:南浦修也、山口創一(2019)

<sup>38)</sup>南浦修也、山口創一(2019)冬季有明海奥部におけるノリ色落ち原因藻 Skeletonema spp., Eucampia zodiacus, Asteroplanus karianus の増殖と物理環境特性. 土木学会論文集 B2 (海岸工学), 75(2), I\_991-I\_996.





(1)各小領域におけるノリ養殖の有無による滞留時間の変化

(2) ノリ養殖による各植物プランクトンの RI 増加率

付図 4.2.3-12 数値シミュレーションモデルによる ノリ養殖による滞留時間の変化・RI 増加率

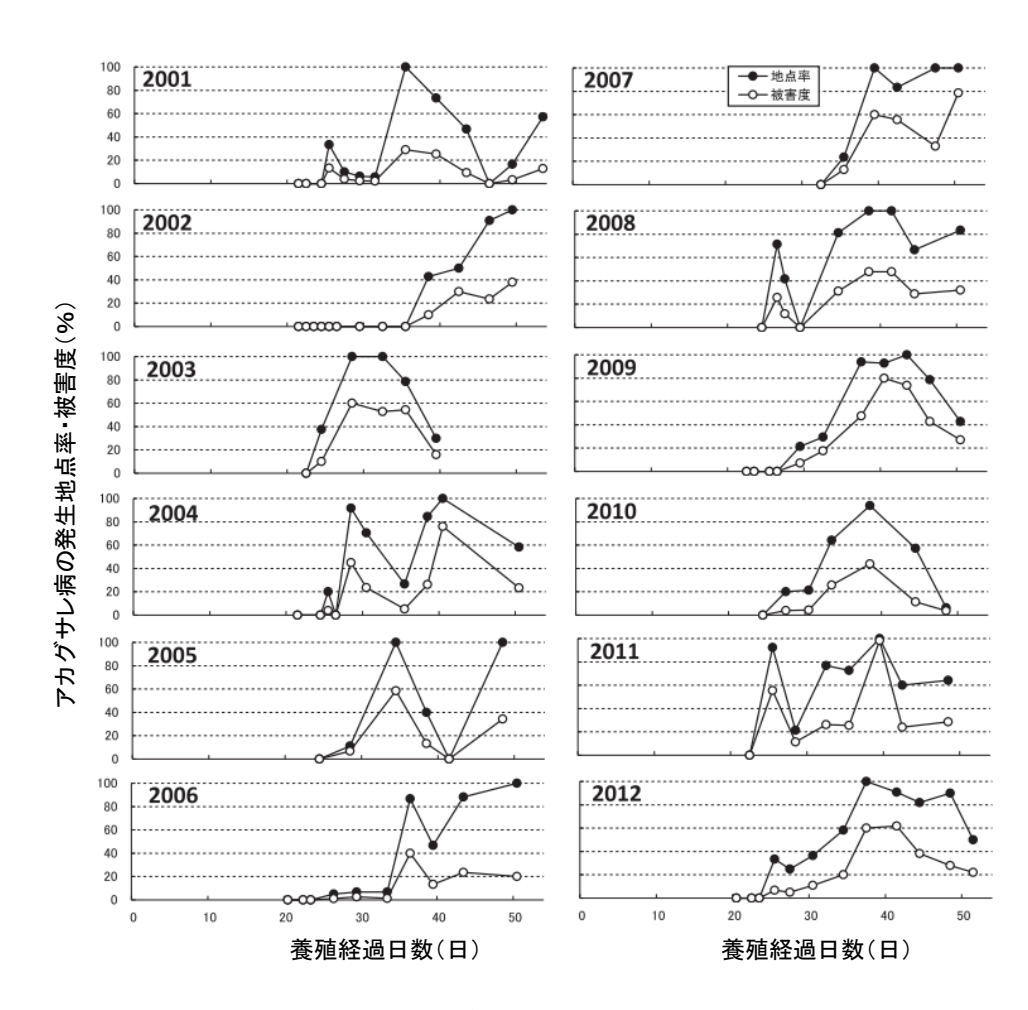
出典:南浦修也、山口創一(2019)

### イ)水温の上昇による影響

3 4

 有明海の佐賀県海域(A1 海域、A3 海域)では、水温 23 ℃以上の高水温が長期間継続すると、ノリ幼芽の生育が阻害されることが推察された 390。

1990年代後半以降、ノリの生産効率向上及び水温上昇の影響を緩和するために、採苗時期が 15 日程度遅くなっている。採苗日を遅らせる取組は、生産期間が 5 日間短くなっているにもかかわらず、芽付きの多さで生産性を上げるなど安定生産の有効な方法であることが明らかとなった 400。一方で、芽付きの多さは、秋芽網期でのアカグサレ病のリスクを高めること 400(付図 4.2.3-13)、冷凍網期に発生する小型珪藻や大型珪藻の赤潮による長期間の栄養塩低下により、年によって生産が早く終了し、漁期が短くなることで生産量が減少している 310。

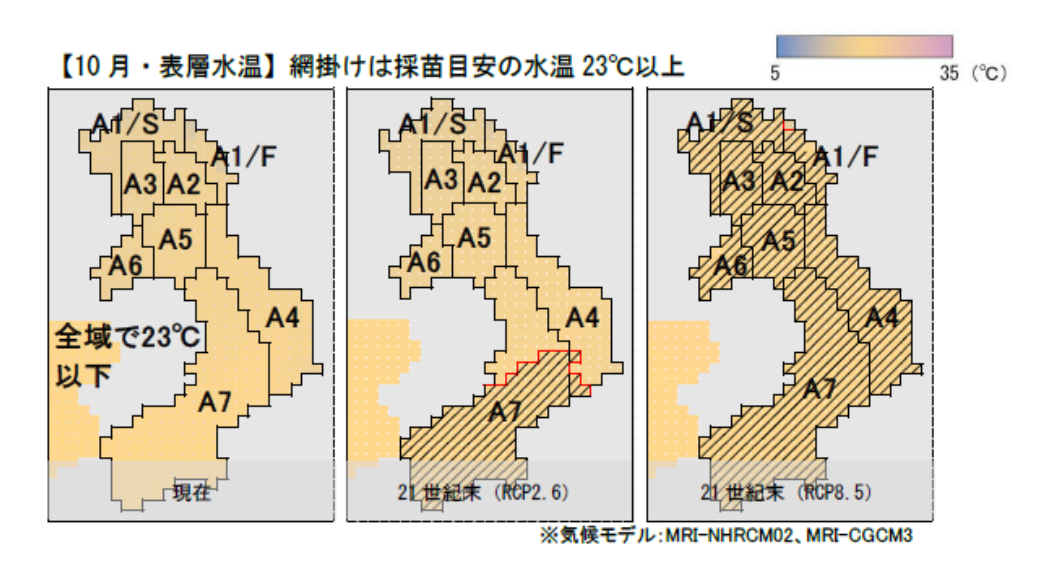


付図 4.2.3-13 秋芽網期のアカグサレ病発生状況(左:取組前 右:取組後) 出典:横尾一成、川村嘉応(2014)

<sup>39)</sup> 三根崇幸・横尾一成・川村嘉応 (2013) 高水温がノリ幼芽の生育に及ぼす影響佐有水研報 26,83-88.

<sup>40)</sup> 横尾一成・川村嘉応 (2014) 採苗開始時の環境がノリ養殖の生産性に及ぼす影響. 佐有水研報 27(61-69)

伊勢湾シミュレーターを用いた気候変動影響予測によれば、有明海(主に A1 海域、一部 A2・A3 海域)の/リ養殖について、21 世紀末(RCP2.6)には A7 海域で 10 月の水温が 23<sup> $\circ$ </sup> C以上になるものと予測され(付図 4.2.3-14)、採苗開始は 11 月となり、11 月末の収穫は見込めないため、漁期が短くなり、収量が減少するものと予測している 410。111、12 月の葉体の日増加率は、現在の 0.98  $\sim$  0.99 と若干減少し、1 月以降は現在よりもわずかに増加するものと予測されたが 411、漁期の短縮による影響が卓越し、収量が減少するものと予測された(付表 4.2.3-21)。



付図 4.2.3-14 有明海における表層水温の変化 (ノリの採苗可能な範囲)

出典:地域適応コンソーシアム事業報告(2021)「気候変動による有明海・八代海における漁業及び沿岸生態系への影響調査」

付表 4.2.3-2 ノリの収量比(21世紀末 RCP2.6 の場合)

	/	リの増加率	ノリの				
月	現	在	21世	紀末	日増加率(%)		
	福岡	佐賀	福岡	佐賀	福岡	佐賀	
11月	5.0	5.0	4.0	4.0	99	99	
12月	12.0	14.0	10.0	12.0	98	98	
1月	18.0	16.0	18.0	17.0	100	101	
2月	15.0	12.0	16.0	13.0	101	101	
3月	16.0	15.0	18.0	17.0	102	102	

※品質の変化・漁期の短縮に伴う収量減少は考慮していない。

※気候モデル: MRI-NHRCM02、MRI-CGCM3

 出典:地域適応コンソーシアム事業報告(2021)「気候変動による有明海・八代海における漁業及び沿岸生態系への影響調査」

<sup>41)「</sup>気候変動による有明海・八代海における漁業及び沿岸生態系への影響調査」(地域適応コンソーシアム事業報告、2021)

# ウ) まとめ

1

13

珪藻赤潮によって栄養塩が不足し、ノリの色落ちが生じる事象について、珪藻の種類別に発 2 生要因を整理した。Eucampia zodiacus は、2月以降の水温が上昇する時期に、降水により河川 3 流量が増加することで栄養塩類が供給されるとともに、密度成層が形成され細胞の増殖に有利 4 になると考えられる。A. karianus は、冬期に限定的に赤潮を形成する要因として、休眠細胞の復 5 活特性が低水温に適応していることが示唆されたほか、窒素要求性が非常に高く、他種よりも 6 低い光強度を利用可能であることが明らかになった。Skeletonema spp.は、有明海奥部西側域 7 における河口周辺での初期増殖及び水塊の滞留による増殖によって形成されることが分かって 8 いる。Chaetoceros spp.は、主要なリリ色落ち原因珪藻とは扱われてこなかったが、2018年度以 9 降、秋期に有明海広域で細胞密度が上昇し、赤潮化する頻度が上昇してきた。晴天が続いた 10 11 ことで、水柱内での良好な光環境が継続したことにより、増殖に有利に働き、赤潮化した可能性 12 が考えられた。

また、ノリ養殖施設の流体抵抗が滞留傾向を強め、物理環境として植物プランクトンの増殖に寄与していることが明らかになった。

14 寄与していることが明らかになった。
15 水温 23 ℃以上の高水温が長期間継続すると、ノリ幼芽の生育が阻害されることが推察された。1990 年代後半以降、ノリの生産効率向上及び水温上昇対策として採苗時期を 15 日程度 遅らせる取組が、芽付きの多さで生産性を上げるなど安定生産の有効な方法であることが明ら かとなった一方で、芽付きの多さは、秋芽網期でのアカグサレ病のリスクを高めること、冷凍網 期に発生する赤潮による長期間の栄養塩低下により、年によって生産が早く終了し、漁期が短 くなることで生産量が減少している。

# 4.2.4 魚類等の変化

### (1) 有明海

1 2

3

4 5

6 7

8

9

1011

1213

1415

16

19

2021

22

23

24

25

2627

28

29

30

平成28年度委員会報告における問題点等を以下に示す。

- ・ 有明海では、魚類資源に関する研究が少なく、特に漁獲努力量等の資源評価を行 うための長期的かつ基礎的データの蓄積が不十分である。
- ・ 有明海の漁獲量が減少傾向にある要因として、藻場・干潟等の生息場の縮小や貧酸素水塊の発生等の生息環境(底層環境や仔稚魚の輸送経路、仔稚魚の成育場)の変化、魚類の種組成の変化、夏期の Chattonella 属赤潮の発生による影響が考えられる。
- ・ 有明海が豊富な高次捕食者から成る生態系構造であることや、特にサメ・エイ類に とって世界有数の繁殖・成育場となっていることが明らかにされつつあるが、高次捕 食者が生態系構造に与える影響や繁殖・成育場としての環境条件等は未解明であ る。

(令和8年度委員会報告で明らかになった知見等)

※第19回小委以降に更新予定

17 18

### (2) 八代海

平成28年度委員会報告における問題点等を以下に示す。

- ・ 八代海の漁獲量は、熊本県では減少、鹿児島県では増加傾向にあり、八代海全体でもわずかに増加傾向にある。また、魚類資源に関する研究が少なく、特に漁獲努力量等の資源評価を行うための長期的かつ基礎的データの蓄積が不十分である。
- ・ 八代海では、魚類資源の動向を評価するに十分な情報がない。魚類の分布や生息 状況に関する知見も少なく、海域ごとの環境と魚類の出現状況の特徴は把握されて いない。また、八代海の漁獲種の構成は有明海と異なっており、魚類生態系構造が 大きく異なる可能性が示唆されているが、知見は乏しく、高次捕食者の出現は認めら れているものの、種数や生態、高次捕食者の餌となる可能性のある魚類の食性等に ついての知見も未解明である。
- ・ 魚類養殖については、ブリ類及びタイ類が90%以上を占め、生産量は1990年代中頃以降は横ばいだが、年によっては減産がみられる。安定生産の阻害要因として、 Chattonella属やCochlodinium属等の赤潮の発生が挙げられる。

31 32 33

(令和8年度委員会報告で明らかになった知見等)

※第 19 回小委以降に更新予定

353637

34

61

### 4.2.5 生物の生息環境の確保

1 2

3 4

5

6 7

8

9 10

11

12

13

14

15

16 17

18 19

20

2122

23

24

25

2627

28

29

30

31 32

33

34 35 平成28年度委員会報告における問題点等を以下に示す。

- ・有明海・八代海の底質については、限られた近年のデータからは海域全体として単調な変化傾向(泥化、有機物又は硫化物の増加等)はみられなかったが、一部の海域では一定期間泥化傾向を示した地点もみられており、有用二枚貝等の水生生物の保全・再生に重要な地点については、底質改善が有効な場合が考えられる。また、河川からの土砂流入の減少は、海域での底質の泥化の要因となる可能性がある。
- ・ 有明海・八代海の沿岸域においては、生態系や生物多様性の基盤となり、水質浄化機能を有する藻場・干潟の面積が減少するとともに、漂流・漂着・海底ごみが藻場・干潟等の維持管理の妨げとなっている。
- ・ 有明海の湾奥部や諫早湾では、夏期に貧酸素水塊が発生しているが、その発生・消滅 メカニズムは明らかとなっていない。
- ・ 有明海では夏期に Chattonella 属赤潮が発生しており、天然魚類のへい死等が発生している。2009 年夏期には、有明海湾奥部で発生した赤潮が橘湾に移流し、養殖魚のへい死を生じさせている。
- ・ 八代海の魚類養殖における安定生産の阻害要因として、Chattonella 属や Cochlodinium 属等の赤潮の発生があり、その発生頻度・規模は 2003 年~2010 年に急 激に拡大した。

令和8年度委員会報告では、3.5 底質で述べたとおり、底質の長期変動については各海域で 状況は異なるものの、大雨による出水の影響を受けており、その影響が継続していることが示唆 された。

藻場・干潟面積の変動要因としては、3.7 藻場・干潟で述べたとおり、漁業管理や再生活動等(藻場)、土砂堆積(干潟)、水温上昇や食害等(藻場)、出水による土砂流出等(干潟)が挙げられるが、詳細は不明である。また、有明海湾奥部においては、地まき養殖によりカキ礁が広く分布していたが、ノリ養殖場への転換等により過去30年間で面積・生物量ともに大きく減少しており、カキ礁の有する水質浄化、貧酸素水塊の軽減、生物多様性向上等の機能の低下が懸念される。

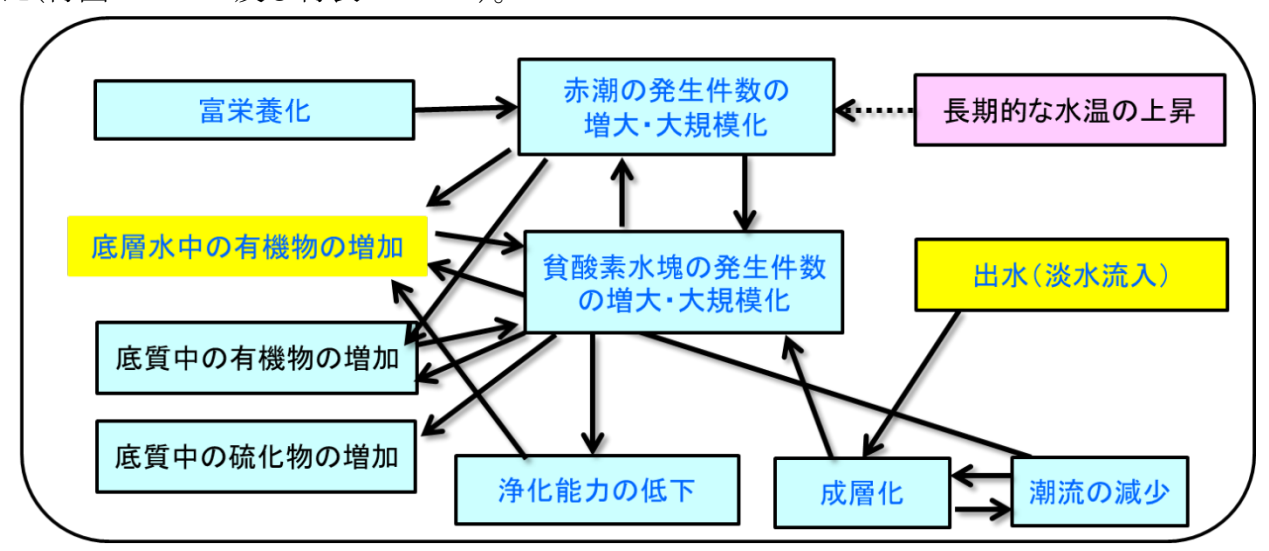
海洋ごみの漂流・漂着物の発生量は、3.7 藻場・干潟で述べたとおり、その年の豪雨等の有無に影響されると考えられる。

さらに、生物の生息環境の確保にあたっては、気候変動による影響も密接に関係している ことを踏まえ、気候変動により想定される影響について、有明海、八代海に関連する事象を既 往文献から整理した。

# (1) 生物の生息環境に係る問題点とその原因・要因 ア) 有明海

1 2

有明海における、平成28年度委員会報告以降に新たに得られた知見を、主要4項目への影響が考えられる「貧酸素水塊」及び「赤潮」に着目してサブ連関図及び要因整理表に整理した(付図4.2.5-1及び付表4.2.5-1)。



注) : 平成 28 年度委員会報告にて示した原因・要因( : 海域環境、 : 気象・海象)

: 平成 28 年度委員会報告以降に得られた知見に基づき追加された原因・要因

青字: 平成 28 年度委員会報告以降に新たな知見が得られた事象

→ (実線) :影響が小さい (単年度での影響の確認に留まる場合あるいは影響の大小が不明)

→ (点線) :影響が確認できなかったもの

付図 4.2.5-1 貧酸素水塊及び赤潮の問題に係る事象との関連(サブ連関図)

付表 4 2 5-1 貧酸素水塊及び赤潮の問題と原因・要因との関連(要因整理表)

	3 安凶とのほ	过度(女囚正任权/
	有明海全域	備考
富栄養化(内部生産)による赤潮の増大	$\Delta^{st}$	
赤潮の増大による底質中の有機物の増加	Δ	
赤潮の増大による底層水中の有機物の増加	Δ*	
赤潮の増大による貧酸素水塊の増大	$\Delta^{*}$	
底層水中の有機物の増加による貧酸素水塊の増大	$\Delta^{*}$	
底質中の有機物の増加による貧酸素水塊の増大	Δ	
貧酸素水塊の増大による浄化能力の低下	$\Delta^{*}$	シミュレーション結果
貧酸素水塊の増大による赤潮の増大	Δ	
貧酸素水塊の増大による底質中の硫化物の増加	Δ	
成層化による貧酸素水塊の増大	$\Delta^{*}$	シミュレーション結果
出水による成層化	$\Delta^{*}$	シミュレーション結果
潮流の減少による成層化	$\Delta^*$	シミュレーション結果
成層化による潮流の減少	$\Delta^{*}$	シミュレーション結果
長期的な水温の上昇による赤潮の増大	_	
潮流の減少による底層水中の有機物の増加	$\Delta^{*}$	
浄化能力の低下による底層水中の有機物の増加	$\Delta^{*}$	

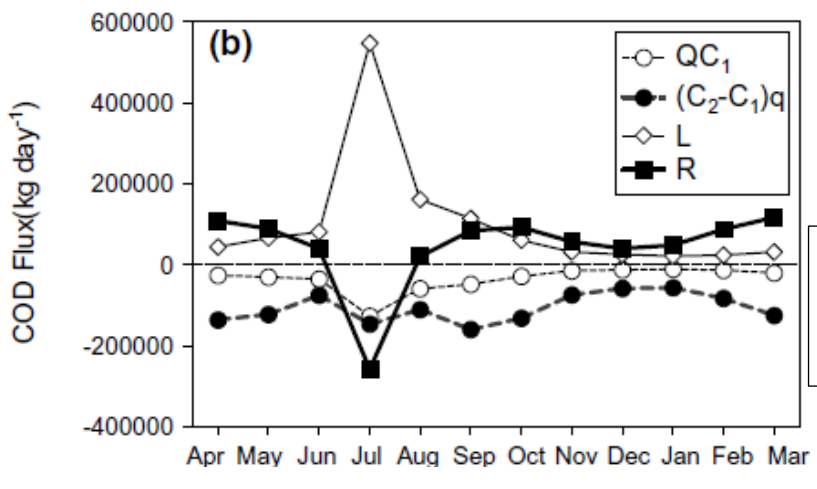
注) Δ:影響が小さい(単年度での影響の確認に留まる場合あるいは影響の大小が不明)

-:影響が確認できなかったもの

※: 平成 28 年度委員会報告以降に新たな知見が得られた事象

# ① 富栄養化(内部生産)による赤潮の増大

有明海では、東京湾・伊勢湾・大阪湾などの他の主要閉鎖性海域とは異なって、陸域からの有機物、窒素、リン負荷量の増加に起因せずに、富栄養化が引き起こされると考えられる。有明海湾奥部の COD 量は、河川からの COD 流入量(L)、生態系純生産量(R:藻類によって生産される有機物量と消費量との差)及び湾央部から移動してくる COD 量(C2-C1) qの合計となる。これらを1981年~2014年までのデータで把握した結果、河川からの COD 流入量(L) が多かった7月以外は、生態系純生産量(R) が常にプラスとなっているとともに、湾奥部から湾央部に移動していること(湾奥部が、湾央部や湾口部への COD 供給源であること)を示している 42 (付図4.2.5-2)。



QC<sub>1</sub>:湾奥部における COD 量

(C2-C1)q: 湾央部から湾奥部への COD 量

L:河川からの COD 流入量 R:COD 生態系純生産量

注)1981年~2014年までのデータを解析し、月平均で表示。

付図 4.2.5-2 COD の生態系純生産量の季節平均変動(1981年~2014年データ)

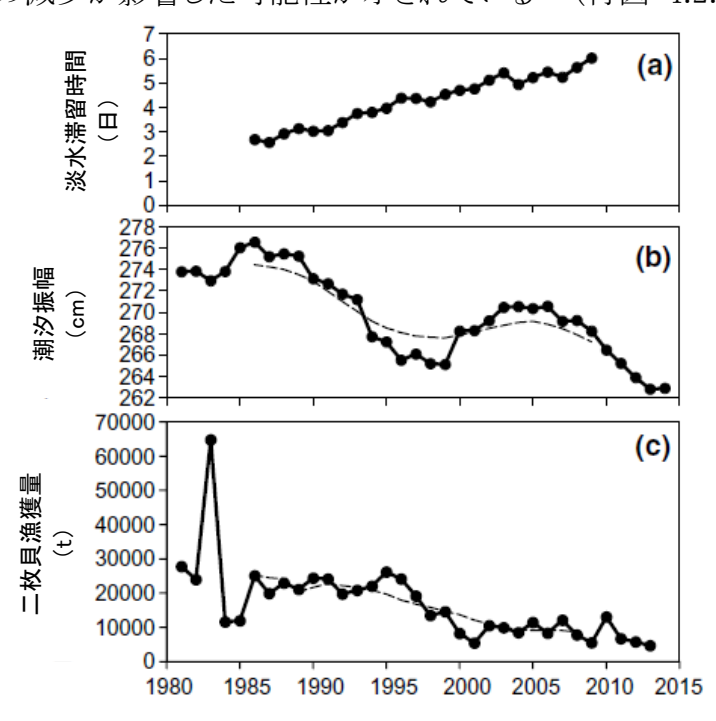
出典: Hayami et al(2018)

<sup>.</sup> 

<sup>42)</sup> Yuichi Hayami, Naoki Fujii (2018) Decadal-scale variation in COD and DIN dynamics during the summer in the inner area of the Ariake Sea, Japan ,Journal of Oceanography, Vol.74 Issue 6, 551–563

# ② 内部生産(赤潮発生)、潮流の減少、浄化能力低下による底層水中の有機物の増加

1980 年代から 2010 年代を対象とした、有明海における COD と無機態窒素に関する調査研究においては、有明海湾奥部において、COD は8月及び3月にピークを迎え、8月の増加は河川からの流入負荷量と一次生産の増大が、3月の増加は一次生産以外の有機物生産も原因と考察している。湾奥部の内部生産の増加は、淡水の滞留時間の増加や二枚貝による植物プランクトンの捕食量の減少が影響した可能性が示されている 42 (付図 4.2.5-3)。



付図 4.2.5-3 湾奥部の淡水滞留時間(a)、大浦における潮汐振幅(b)、有明海 (佐賀県と福岡県)の二枚貝漁獲量(C)

出典:Yuichi Hayami、Naoki Fujii(2018)

#### ③ 赤潮発生件数の増大・大規模化による貧酸素水塊への寄与

有明海奥部において、2008 年夏期に形成された貧酸素水塊における酸素消費速度等を調査したところ、貧酸素水塊が形成された初期は底層水の酸素消費速度は低下しており、貧酸素水塊の発達の主要因は成層の強化であったものと推測された。一方で、大潮時には強い鉛直混合による活発な再懸濁によって底層の有機物量が増加し、酸素消費が増加したと考えられた。その際、酸素消費速度とクロロフィル a の間には高い正の相関がみられていたが、酸素消費の主体はバクテリアであり、植物プランクトンの呼吸の寄与は小さいと考えられた。このことは、植物プランクトン由来の基質がバクテリアによって分解され、酸素消費が起きていたことを示す。本観測期間中はシャットネラ赤潮が継続的に発生しており、クロロフィル a 濃度の最高値は 72.3  $\mu$  g/L に達した。このことから、赤潮に由来する有機物供給が底層の酸素消費速度に影響した可能性がある 430。

<sup>43)</sup> 速水ら(2019) 有明海奥部の貧酸素水塊の変動-酸素消費の主体は何か-,日本地球惑星科学連合大会予稿集 Vol.2019 Page.AOS13-07-2019

# ④ 底層水中の有機物の増加による貧酸素水塊の増大・大規模化

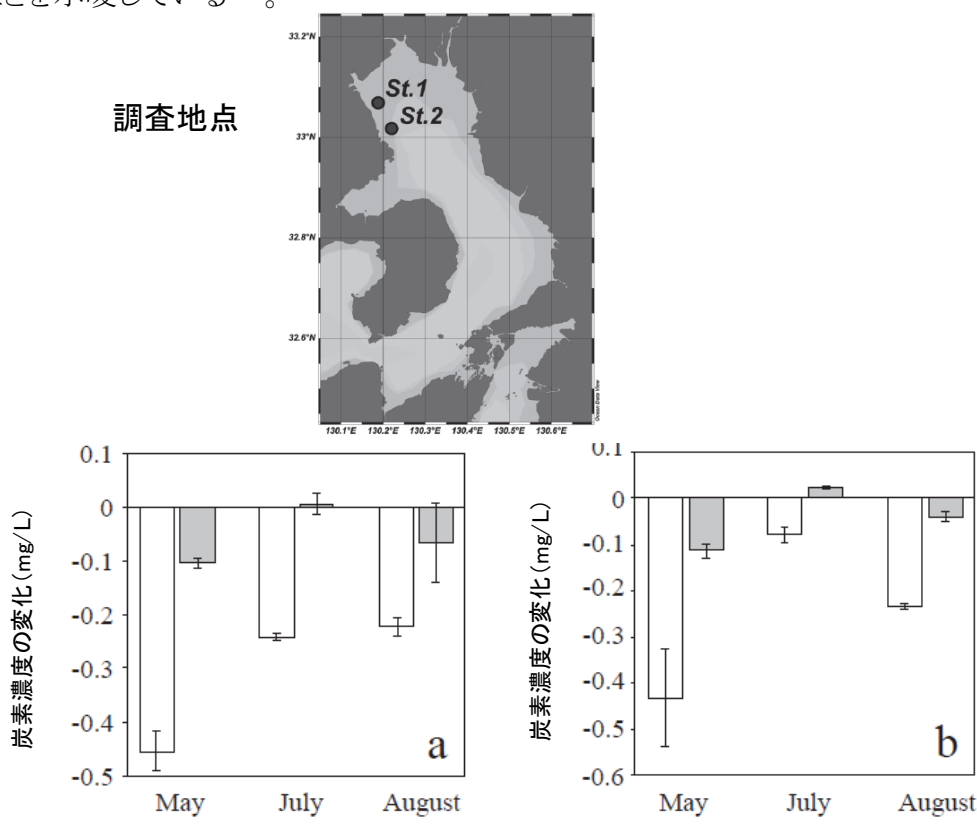
1 2

4 5

 海域の酸素消費が大きく、酸素供給を上回るようになると貧酸素化が進行する。底層水中の酸素消費には底泥と海水それぞれによる酸素消費が影響するが、平成28年度委員会報告では、有明海湾奥部の場合、海水による寄与(海水中の懸濁物による酸素消費を含む)が70%、底泥による寄与が30%との実験結果があり、底泥に比べ海水による酸素消費の寄与が大きく、中でも懸濁物質による酸素消費が大きいことが報告されている。

一方で、海水中には粒子態有機物 (POM) のみならず、溶存態有機物 (DOM) も存在する。 東京湾では、全有機炭素分解量への粒子態有機炭素 (POC) と溶存態有機炭素 (DOC) のそれぞれの分解量の寄与を比較した研究では、両者は同程度であったことが報告されている。有明海湾奥部における DOC の分解に伴う酸素消費量への寄与について、2018 年 5 月から 8 月にかけて有明海奥部の 2 つの観測点で採取した底層水を用いて、酸素消費量と POC 及び DOC の分解量を推定した調査結果によれば、全有機炭素分解量に対する DOC 分解量の寄与は約 10%であった。

また、全酸素消費に対する有機物分解の寄与は、貧酸素状態形成前の 5 月は約 5 割を占めていたが、貧酸素水塊が形成されていた 7 月は全 DO 消費への寄与は小さかった(付図 4.2.5-4)。これらの結果は、貧酸素状態形成段階において有機物分解による酸素消費量が極めて重要な役割を果たしており、DOC の分解による酸素消費も貧酸素水塊形成の駆動力の一つであることを示唆している 440。



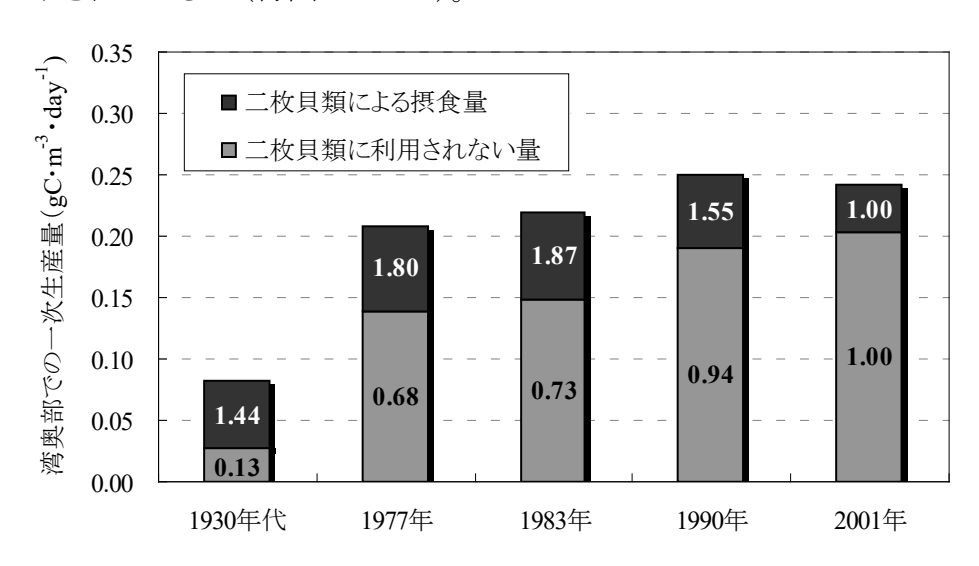
付図 4.2.5-4 調査地点 (St.1 (a)、St.2 (b)) における POC (白抜き) と DOC (灰色) 濃度の変化

出典: 内野宏治、猪股はるか、田原沙紀、高巣博之(2019)

<sup>44)</sup> 内野宏治、猪股はるか、田原沙紀、高巣博之(2019): 有明海奥部における酸素消費に対する水柱中の有機炭素分解の寄与、水環境学会誌、Vol.42、No.5、pp.195-200

### ⑤ 貧酸素水塊の増大・大規模化による浄化能力の低下、有機物の増加

有明海奥部では、タイラギ・サルボウ等の資源量が減少しており、その原因の一つとして貧酸素化の進行が挙げられる。数値シミュレーションにより、有明海では二枚貝類の生息量に依存して、摂食されずに酸化分解へと移行する一次生産による有機物量が1930年代に比べて増加していることが示されている45(付図 4.2.5-5)。



注)図中の数値は、各年代の計算結果の2001年比である。

付図 4.2.5-5 湾奥部全域での一次生産量の変化(8月平均)

出典:永尾ら(2010)

3 4

# ⑥ 出水・潮流の減少による成層化、成層化による貧酸素水塊の増大・大規模化

海洋の成層化は、閉鎖性海域の水質に影響を及ぼすことが想定されている。成層化と水質に関する知見として、潮流振幅と貧酸素水塊の累積時間に関係があることが示唆されており、有明海湾奥部では筑後川流量と $M_2$ 潮流振幅の3乗の間、 $M_2$ 潮流振幅の3乗と表層・底層の密度差の間、 $M_2$ 潮流振幅の3乗と底層 DO 濃度 3 mg/L 未満の累積時間との間には負の相関がみられることが示されている $^{46}$   $^{47}$ 。

中間とりまとめでは、底層溶存酸素の変動は、河川からの淡水供給、干潟縁辺域における密度成層の形成、潮流振幅の変化等が影響しており、貧酸素化のプロセスは完全に説明できないため、今後定量的な評価に関する調査研究が必要とされている。

上記は、水質や流速等のモニタリングの実測値から得られた知見であり、本項では数値シミュレーションモデル解析を行ったところ、河川からの淡水供給による海域の成層化に伴い、M₂ 潮流振幅が小さくなる現象が再現され、成層化に伴い内部潮汐流が変化することによって表面潮汐流(潮位の振幅による潮汐流)を弱める効果があることが示唆された ⁴7 (付図 4.2.5-6)。

<sup>45)</sup>永尾謙太郎 , 竹内一浩 , 畑恭子 , 堀家健司 , 木村奈保子(2010) 有明海の長期的な環境変化に伴う貧酸素水塊の発生状況に関する数値実験 , 土木学会論文集 B2 (海岸工学), 第 66 号, pp.1134-1140

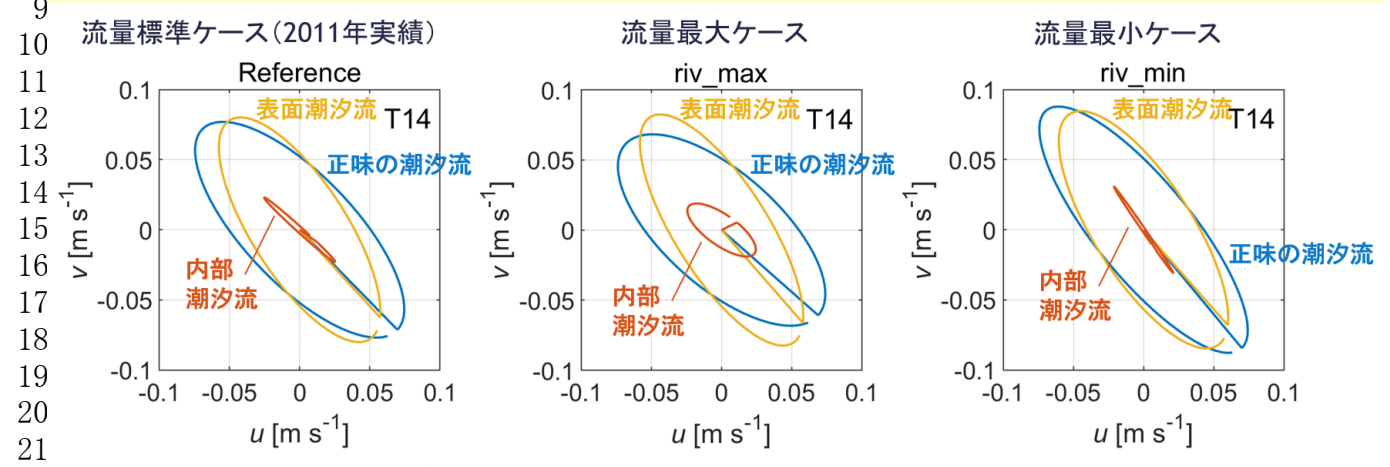
<sup>46)</sup>環境省(2025)有明海·八代海等総合調査評価委員会第 15 回海域環境再生方策検討作業小委員会、海域環境再生方策 検討作業小委員会資料 2-6

<sup>47)</sup> 環境省 (2025) 令和 6 年度有明海·八代海等再生対策検討作業支援業務報告書

# 数値シミュレーションモデルで流量条件のみ変化させる実験

# 4 数値シミュレーションでわかった事:

- 5 ✓ 淡水の流入状況により成層状態が変化
- 6 ✓ 成層化により内部潮汐流の振幅、位相、角度が変化(下図)
- 7 ✓ 表面潮汐流はいずれのケースも大きさが変わらない
- 8 ✓ 成層が強まると内部潮汐流によって表面潮汐流が弱められ、正味の潮流が弱まる



数値シミュレーションモデルで流量条件のみ変化させた時の湾奥西部底層のM2潮流楕円の内訳

- 正味の潮汐流=表面潮汐流+内部潮汐流で表される
- ※ 表面潮汐流:潮位の変動に伴う潮汐流

内部潮汐流:成層状態で内部境界面の変動に伴う潮汐流

- 注) 1.モデル解析は有明海を対象とした非定常の3次元流動シミュレーションモデルを使用。
  - 2. 気象水文状況が平均的な年として2011年をベースケースとして設定。
  - 3.流量のみを変動させ、水温・塩分・流速の計算結果を解析。

# 付図 4.2.5-6 成層化による潮流振幅の変化(湾奥西部底層)

出典:環境省(2025)「令和6年度有明海·八代海等再生対策検討作業支援業務報告書」

323334

35

36

37

38 39

40

41 42

22

23

24

25 26

27

28

29

30

31

# ⑦ まとめ

有明海湾奥部においてみられる、夏期の COD の増加は、河川からの COD 流入量や海域の生態系純生産量の増加に起因しており、生態系純生産量の増加は、淡水の滞留時間の増加や二枚貝による捕食量の減少(浄化機能の低下)が影響した可能性が示された。また、赤潮に由来する有機物供給が底層の酸素消費速度に影響し、貧酸素水塊の増大・大規模化に寄与している可能性がある。

有明海の貧酸素化により、二枚貝類による植物プランクトンなどの有機物の摂餌を減少させ、酸化分解への移行量が多くなっていることが示唆された。

また、河川からの淡水供給による海域の成層化に伴い、内部潮汐流が変化することによって表面潮汐流(潮位の振幅による潮汐流)を弱め、貧酸素化を促進する効果が示唆された。

43 44

# イ) 八代海・橘湾

1 2

3

4

5 6

7

8

23

24

25

262728

29

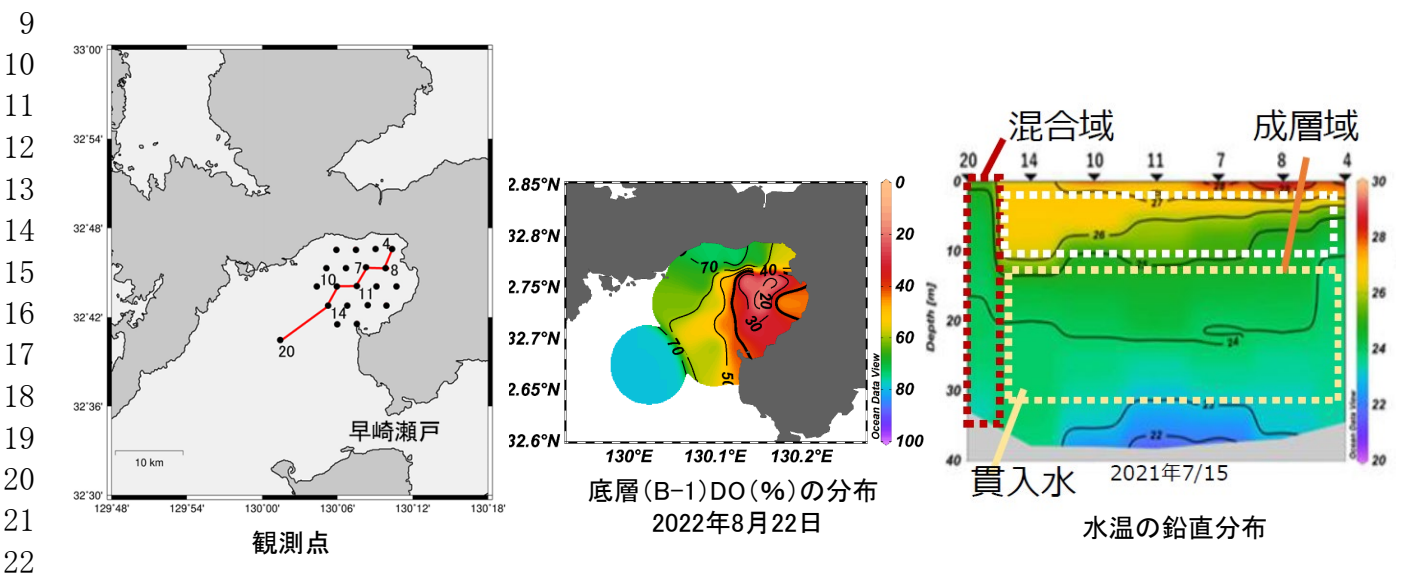
30

3132333435

# ① 貧酸素水塊及び赤潮の発生に関連する事象

橘湾では、2018 年以降毎年貧酸素水塊が発生しており、降雨や表層水温の上昇後に第2 躍層が形成され、その下層で貧酸素化が進行すると考えられた。また、第2 躍層形成までに、降雨後数日のタイムラグがあることなどから、有明海からの出水が早崎瀬戸で混合・低塩分化され、橘湾中層へ貫入したものと考えられた。

また、水温の低下や台風接近により垂直混合が発生し、貧酸素解消に進むと考えられた <sup>48)</sup> (付図 4.2.5-7)。



付図 4.2.5-7 橘湾における貧酸素水塊の発達・消滅機構

出典:環境省(2024)「有明海・八代海等総合調査評価委員会第 15 回水産資源再生方策検討作業小委員会、海域環境再生方策検討作業小委員会資料 2-7」

### ② まとめ

橘湾の貧酸素水塊については、2018 年以降毎年発生しており、降雨や表層水温の上昇後に第 2 躍層が形成され、その下層で貧酸素化が進行すると考えられた。また、有明海からの出水が早崎瀬戸で混合・低塩分化され、橘湾中層へ貫入したものと考えられた。

<sup>48)</sup>環境省(2024)「有明海·八代海等総合調査評価委員会第 15 回水産資源再生方策検討作業小委員会、海域環境再生 方策検討作業小委員会資料 2-7」

# (2) 気候変動による影響

1 2

# ア) 気候変動の影響が想定される要素

有明海・八代海における生物の生息環境の確保に関し、気候変動の影響が想定される要素について、既往文献(環境省「気候変動影響評価報告書」)<sup>49)</sup>をもとに整理した。生物の生息環境の確保にあたっては、気候変動による影響も密接に関係していることを踏まえて、気候変動により想定される影響の概略図「水環境・水資源分野」「自然生態系分野」「農業・林業・水産分野(水産業)」(以下「概略図」という。)をもとに、有明海、八代海において確認された事象(将来予測も含む)を赤枠で抽出した(付図 4.2.5-8)。

また、気候変動影響の整理にあたっては、「確信度」<sup>注)</sup>の評価も重要であることを踏まえ、上記で取り上げた①沿岸域及び閉鎖性海域(水環境・水資源分野)、②海洋生態系(自然生態系分野)、③沿岸域・内水面漁場環境等(農業・林業・水産分野(水産業))の確信度について以下に記載する。

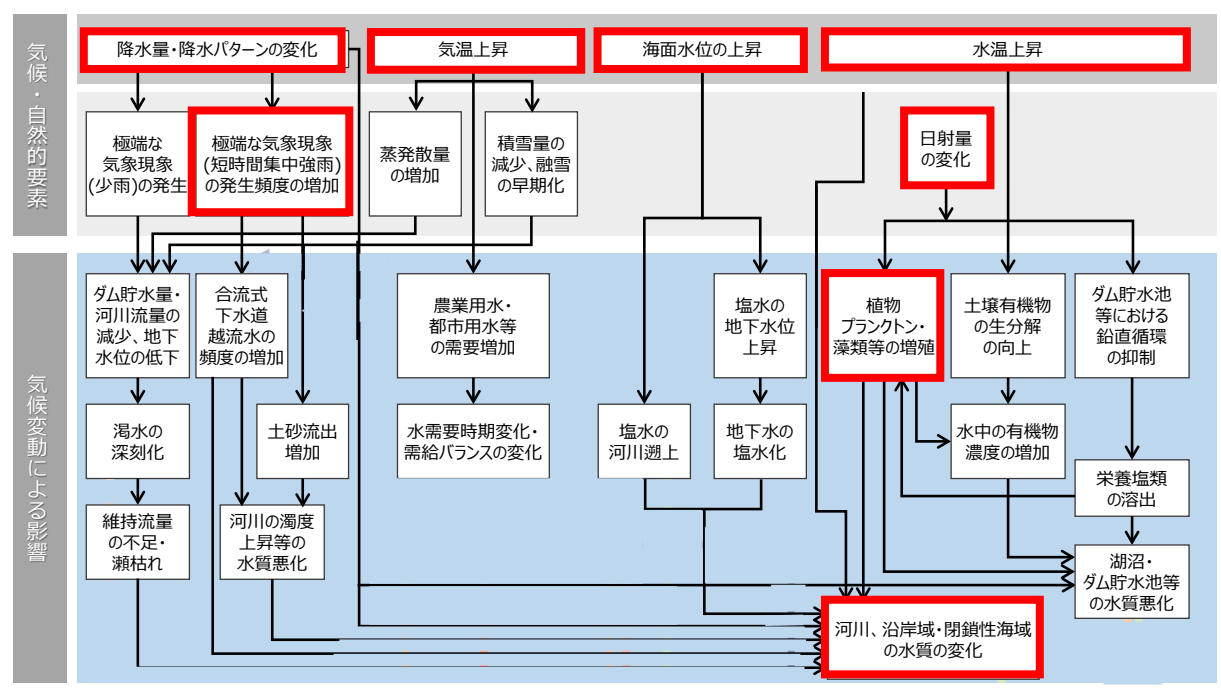
注) IPCC 第 5 次評価報告書と同様に、「証拠の種類、量、質、整合性」及び「見解の一致度」の2つの観点を用いて、IPCC の確信度の「高い」以上に相当するものを「高い」、IPCC の確信度の「中程度」に相当するものを「中程度」、IPCC の確信度の「低い」以下に相当するものを「低い」の3段階で示した。

### ① 沿岸域及び閉鎖性海域(水環境・水資源分野)

気候変動による影響の要因としては、主に気温上昇に伴う沿岸域及び閉鎖性海域における水温の変化及び水温上昇の変化に伴う水質の変化が想定されている。

確信度としては、気温上昇や降水の時空間分布の変化についての近未来の予測はなされているが、それが水質等に及ぼす影響について、限定的ではあるものの、定量的な予測を行った研究事例が報告されており、「中程度」とされている。

# 水環境•水資源分野



付図 4.2.5-8(1) 気候変動により想定される影響の概略図 ※更新予定

出典:環境省「気候変動影響評価報告書」を基に一部改変(同図に掲載されている「気候・自然的要素」及び「気候変動による影響」を抜粋して表示)

<sup>49)</sup>環境省(2020)「気候変動影響評価報告書(詳細)」

### ② 海洋生態系(自然生態系分野)

気候変動による影響の要因としては、海洋生態系におけるプランクトン等の分布の変化、 生物季節の変化、種構成や現存量等の生態系構造の変化等が想定されている。

確信度としては、親潮域及び混合域におけるクロロフィル及び一次生産力の減少傾向、日 本周辺海域の亜表層域における溶存酸素濃度の低下傾向については、複数の知見が得ら れており、一定程度の確信度があると判断できるが、これらの変化による魚類等のより高次の 生態系構成種への影響については、 現時点では報告・予測が限られる。将来予測につい ては、モデル予測の結果は未だ定性的にもばらつきがある段階であり、全球での予測につ いては中程度の確信度があるものの、日本周辺海域や生物種・生物群に限ると将来の傾向 を予測判断できる状態ではなく、「低い」とされている。

# 自然生態系分野

1 2

3

4

5

6

7

8

9

10 11 12

13

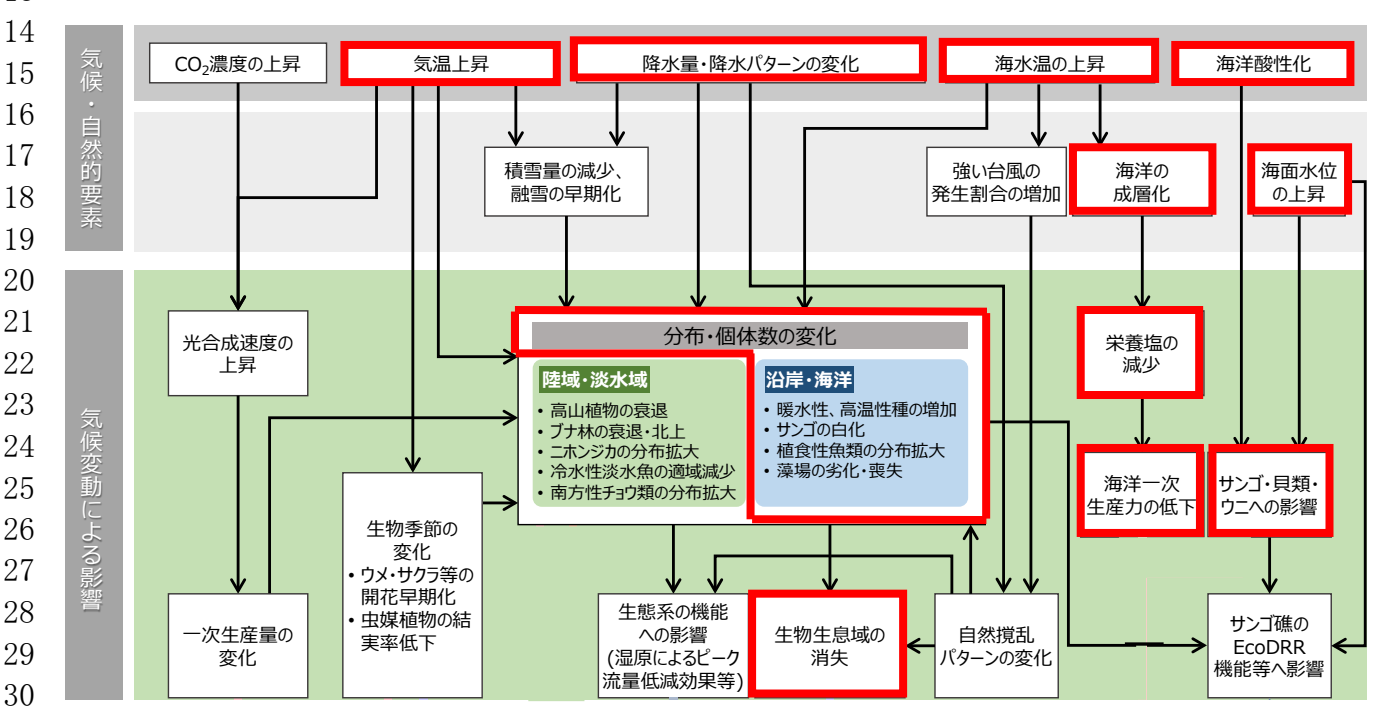
17

27

31

32

33



付図 4.2.5-8 (2) 気候変動により想定される影響の概略図 ※更新予定

出典:環境省「気候変動影響評価報告書」を基に一部改変(同図に掲載されている「気候・自然的要素」及び「気候変動に よる影響」を抜粋して表示)

### ③ 沿岸域・内水面漁場環境等(農業・林業・水産分野(水産業))

気候変動による影響の要因としては、主に水温上昇に伴う回遊性魚介類以外の魚介類の分布域及び生産量の変化や、それに伴う各地域での漁獲量や構成種の変化、漁場として重要となる藻場への影響やそれが漁業生産に与える影響、有害な藻類等の発生への影響が想定されている。

確信度としては、長期的な高水温による水産業への影響が様々な現象として認められ、将来影響に関する研究・報告例も多く、気候シナリオを用いた定量的な知見が増加しており、「中程度」とされている。また、IPCC による報告書でも藻場や昆布は 2 ℃を超える温暖化で高いリスクがあることが示されている。

# 農業・林業・水産業分野(水産業)

1 2

3

4

5 6

7

8

9 10 1

1: 1:

14

1!

16

1′ 1{

19

20

2

2:

2;

24

2!

20

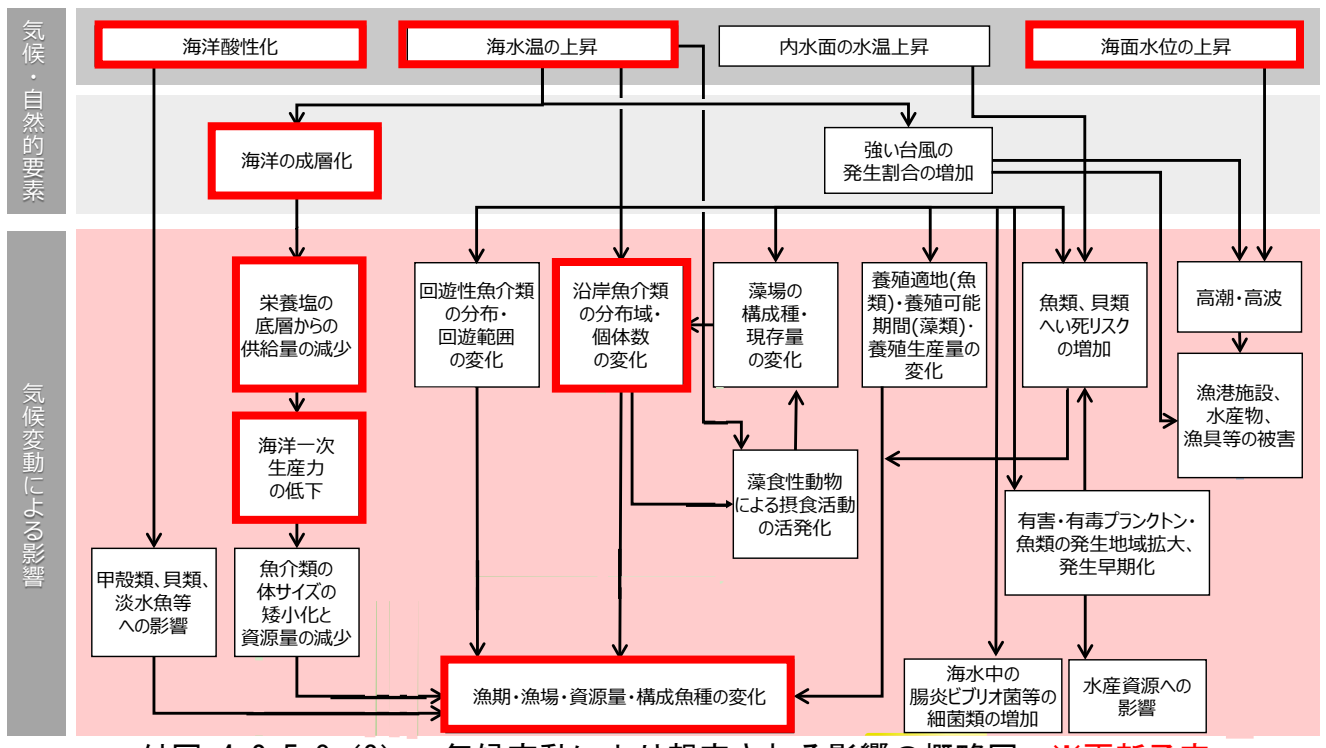
2

28

29

30

31



付図 4.2.5-8(3) 気候変動により想定される影響の概略図 ※更新予定

出典:環境省「気候変動影響評価報告書」を基に一部改変(同図に掲載されている「気候・自然的要素」及び「気候変動による影響」を抜粋して表示)

# イ) 有明海、八代海で確認されている影響

1 2

3 4

## ① 降水量・降水パターンの変化による二枚貝類への影響

2020 年及び 2021 年には、タイラギ、アサリ、サルボウが複数海域で大量死している。これは 2020 年と 2021 年の豪雨により、低塩分化や貧酸素水塊が大規模な範囲で長期間発生したためと推定されている 50 (付表 4.2.5-2)。

付表 4.2.5-2 令和3年中間取りまとめ以降の有用二枚貝類と大量死・環境特異項目との関係

年	イベント	タイラギ	アサリ	サルボウ
2018年 (平成30年)	豪雨 (A6) 、高水温 (A1)	0	×	0
2019年 (令和元年)	豪雨、貧酸素弱、台風 による土砂堆積(A1佐 賀県)	△ (埋没)	0	
2020年 (令和2年)	豪雨(全海域)、貧酸 素(A1, A3)	×	×	×
2021年 (令和3年)	豪雨、貧酸素 (A1, A2, A3)	×	×	×
2022年 (令和4年)	豪雨、貧酸素弱(A6除 く)	0	△ (貧酸素)	0
2023年 (令和5年)	貧酸素大 (A1, A2, A3)	△ (稚貝)	0	Δ

※:複数海域で大量死、△:特定海域で大量死、○:大量死なし

出典:環境省(2024)「有明海•八代海等総合調查評価委員会第13回水産資源再生方策検討作業小委員会資料」

### ② 気候変動と赤潮発生の長期変動との関連

魚を死滅させるラフィド藻類 Chattonella 属には、休眠期のシスト<sup>注)</sup>段階がある。Chattonella シストの個体数と分布を調査し、栄養細胞の個体群動態との関係を明らかにするため、2002 年~2017 年にかけて八代海で現地観察を実施し、環境条件を含むデータを回帰分析した結果、シスト量と底層水温が高い場合、毎年の栄養細胞の最初の検出日(FDD) が早くなる傾向があることが示された。しかし、平均シスト量とブルームのタイミング(FDD からブルームの発生日までの期間)、翌年のブルームの期間及び栄養細胞の最大密度の間には有意な相関は見られなかった。一方、ブルームのタイミングと期間は、FDD後の1か月間の気象要因(例:日射量)と有意に相関していた。この結果は、前年夏のブルームの規模を反映するシストの個体数が、その年の栄養細胞の出現時期に影響を与えるものの、ブルームの発生はシストの個体数ではなく、環境条件を通じた栄養細胞の成長ダイナミクスによって制御される可能性が高いことを示唆している。2002年~2017年にかけて、Chattonellaのシストと栄養細胞が3回明確にピークを迎えたが、これはエルニーニョ直後の時期と一致する。大規模な大気変動と地球規模の気象変化

<sup>50)</sup> 環境省(2024)「有明海・八代海等総合調査評価委員会第13回水産資源再生方策検討作業小委員会資料」

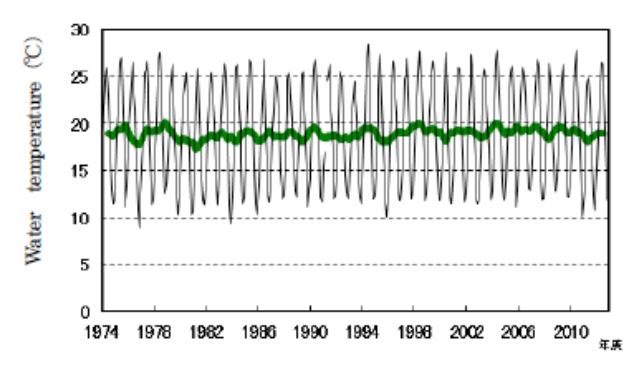
1 は、 2 長 3 注)

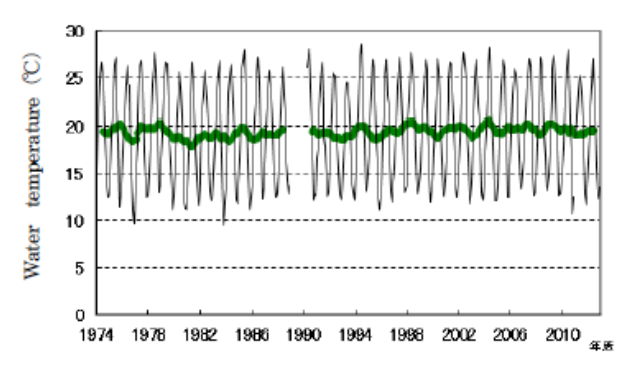
は、地域の気象条件と Chattonella のライフサイクルを通じて、この地域における Chattonella の長期的な個体群動態に影響を与えている可能性がある  $^{51)}$ 。

注)動物、植物、菌類いずれであれ、生活史の一部で、一時的に小さな細胞体や幼生が厚い膜を被って休眠状態に入ったような状態を指す

### ③ 気候変動と赤潮の大量発生機構との関連

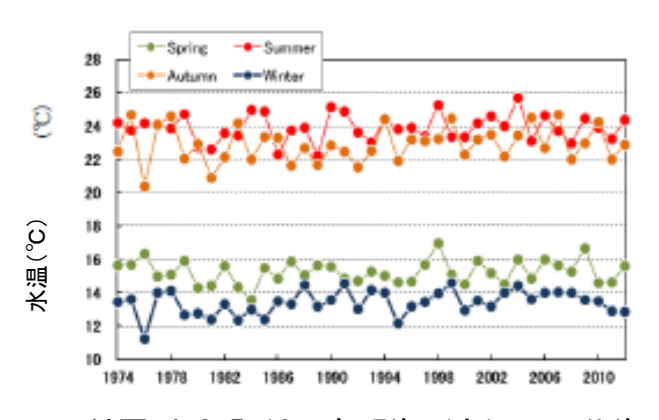
熊本県における有明海及び八代海の 1974 年から 2013 年までの水温の長期変動は、12 区間移動平均では上昇傾向にあった  $^{52)}$  (付図 4.2.5-9)。季節別の変化をみると、両海域ともに秋期~冬期の上昇が大きかった  $^{52)}$  (付図 4.2.5-10)。秋期~冬期における海水温の上昇は、同県の主要水産業であるノリ養殖業に大きな影響を与えると予想される。近年は珪藻プランクトンの増殖と関係があるとされるノリの色落ち被害が確認されており、冬期の水温上昇と大型珪藻プランクトンの大量発生機構の関与が指摘されている  $^{53)}$ 。熊本県においても 2018 年度以降、ノリ養殖漁期における  $Eucampia\ zodiacus\ による赤潮の報告がある。$ 

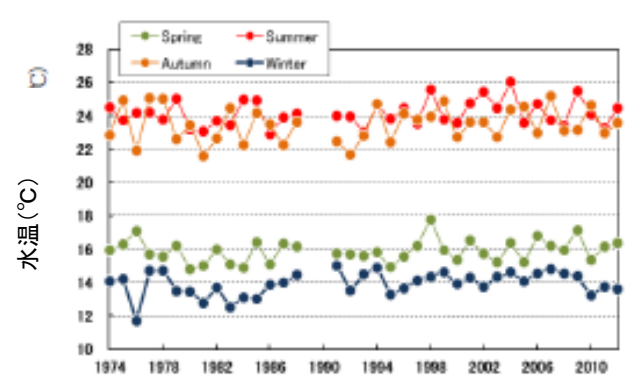




付図 4.2.5-9 有明海(左)・八代海(右)における水温の長期変動(5m層) (黒線:観測値 緑線:12区間移動平均)

出典:多治見誠亮、吉村直晃、増田雄二、川崎信司(2019)





付図 4.2.5-10 有明海 (左)・八代海 (右)における水温の季節別変動 (5m 層)

出典:多治見誠亮、吉村直晃、増田雄二、川崎信司(2019)

<sup>51)</sup> Goh Onitsuka, Mineo Yamaguchi, Setsuko Sakamoto, Tomoyuki Shikata, Natsuko Nakayama, Saho Kitatsuji, Shigeru Itakura, Kiyonari Sakurada, Hidenori Ando, Naoaki Yoshimura, Hirohiko Mukai, Hirokazu Yamashita (2020) Interannual variations in abundance and distribution of Chattonella cysts, and the relationship to population dynamics of vegetative cells in the Yatsushiro Sea, Japan, Harmful Algae, Volume 96, 2020,101833, ISSN 1568-9883, https://doi.org/10.1016/j.hal.2020.101833.

<sup>52)</sup> 多治見誠亮、吉村直晃、増田雄二、川崎信司(2019)「熊本県有明海・八代海における水質環境の長期変動について」熊本県水産研究センター研究報告 No.11Page.10-21

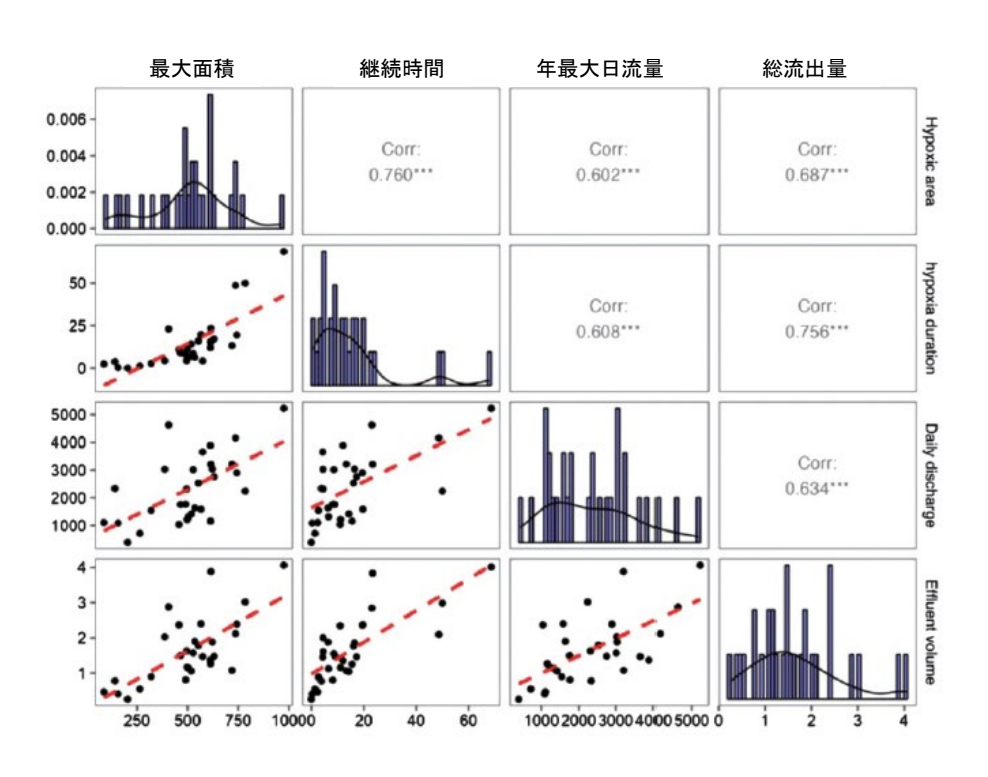
<sup>53)</sup> 西川哲也(2011) 養殖ノリ色落ち原因珪藻 Eucamapia zodiacus の大量発生機構に関する生理生態学的研究. 兵庫農技総セ研報(水産).42,1-82

### ④ 有明海の貧酸素水塊発生への影響

1 2

近年の気候変動によると推測される豪雨に伴う大規模出水は、大量の淡水の湾内流入に起因する密度成層の強化や長期化により、貧酸素水塊の時空間的な大規模化をもたらすとされている。このため、有明海における貧酸素水塊発生への気候変動の影響評価について、貧酸素規模と河川の出水イベントにおける総流出量との関係について解析した。この結果、有明海内の貧酸素水塊(DO<3mg/L)の最大面積、継続時間は、筑後川の出水イベントの総流出量と相関が強いことが分かる 54) (付図 4.2.5-11)。

また、貧酸素レベルごとの貧酸素水塊の最大面積についてのシミュレーション解析結果によると、1982年以降、その面積は拡大傾向にあり、気候変動の影響が降雨に現れはじめ、出水傾向の変化による貧酸素規模への影響が顕在化したと解釈できる55(付図 4.2.5-12)。

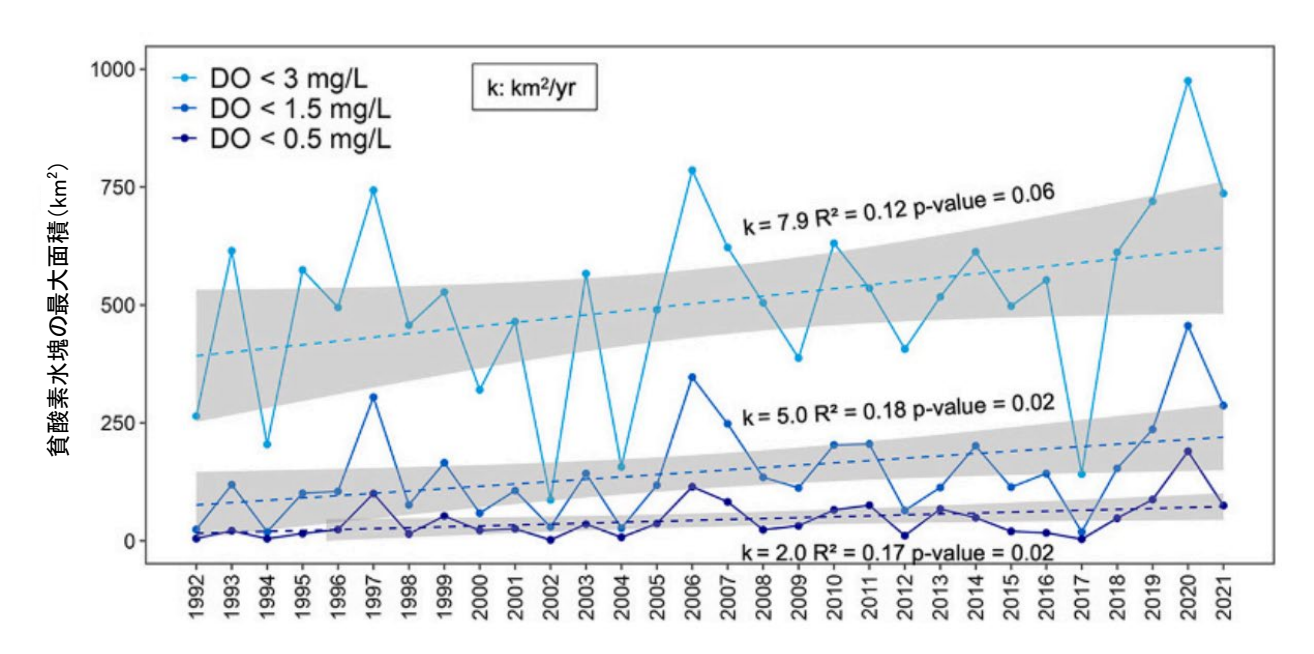


付図 4.2.5-11 有明海の貧酸素水塊の最大面積、継続時間、筑後川の年最大日流量、1 イベントの総流出量の関係

出典:矢野真一郎,LinHAO,丸谷靖幸(2024)有明海における貧酸素水塊発生への気候変動影響評価,沿岸海洋研究第62 巻,第1号,59-62,

<sup>54)</sup> 矢野真一郎, Lin HAO, 丸谷靖幸(2024) 有明海における貧酸素水塊発生への気候変動影響評価,沿岸海洋研究 第62巻, 第1号, 59-62,

<sup>55)</sup> Lin Hao a, Ai Sanada a, Baixin Chi b, Bing Xiong c, Yasuyuki Maruya a, Shinichiro Yano (2024) Long-term developments in seasonal hypoxia and response to climate change: A three-decade modeling study in the Ariake Sea, Japan, Science of the Total Environment. 929, 172471.



注)k は傾き。破線は信頼区間 0.95 の線形回帰線を表す。

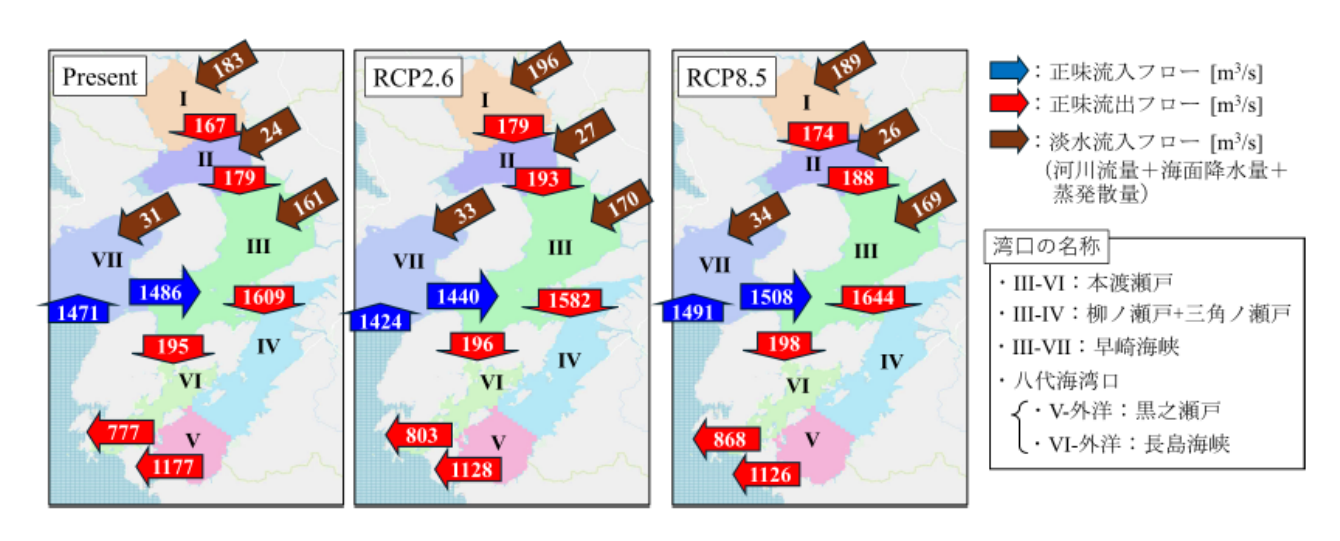
付図 4.2.5-12 有明海の貧酸素レベルごとの貧酸素水塊の最大面積のトレンド 出典:Lin Hao et al (2024)

### ウ) 有明海、八代海で将来想定される影響

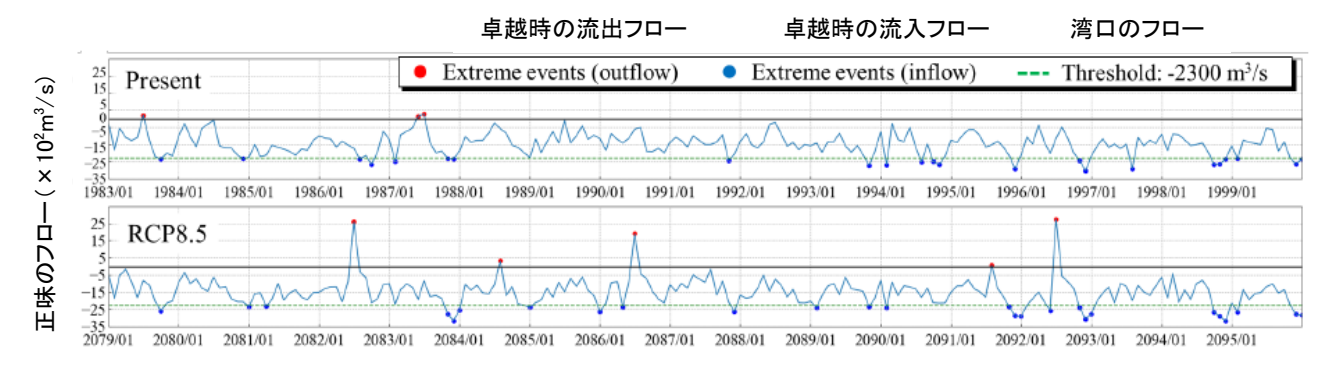
### ① 有明海・八代海の海水交換への影響

1 2

有明海・八代海とその集水域の陸域淡水流出ー海域流動モデルを用いて、有明海・八代海海域の海水交換特性を対象とした気候変動影響予測を行った結果、有明海・八代海では、平常時は外洋水が早崎海峡から流入し、主に柳ノ瀬戸を介して八代海に流入し、外洋に流出する時計回りで循環していることが明らかとなった 56)(付図 4.2.5-13)。夏の早崎海峡の流入量は、現在気候と比較して 21 世紀末(RCP8.5)で 40%減少し、正味通過流量が流出側に転じるパターンの発生頻度は、豪雨出水の増加によって、現在気候の約 5 倍に増加した。冬の早崎海峡の流入量は、気候変動による有明海・八代海における降水量の減少と蒸発量の増加によって20%減少することが確認された 56)(付図 4.2.5-14)。



付図 4.2.5-13 通年平均の有明海・八代海の海水フロー



付図 4.2.5-14 早崎海峡の月平均の正味通過流量

出典:赤星怜、東博紀(2025)

\_

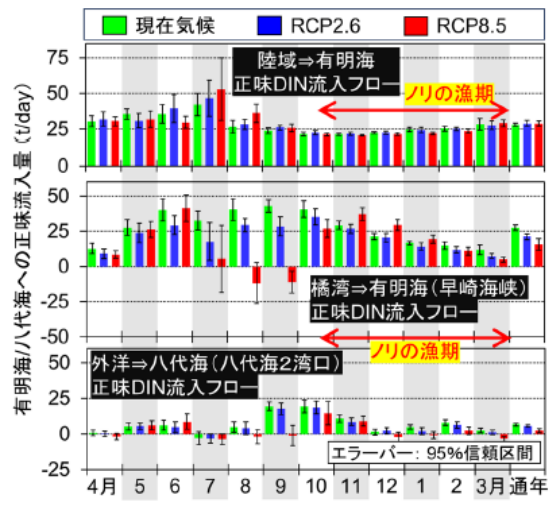
<sup>56)</sup> 赤星怜, 東博紀(2025) 有明海・八代海の海水交換を対象とした RCP シナリオに基づく気候変動影響予測. 土木学会論文集特集号(海岸工学), 81(17) (掲載予定).

### ② 有明海・八代海の窒素循環への影響

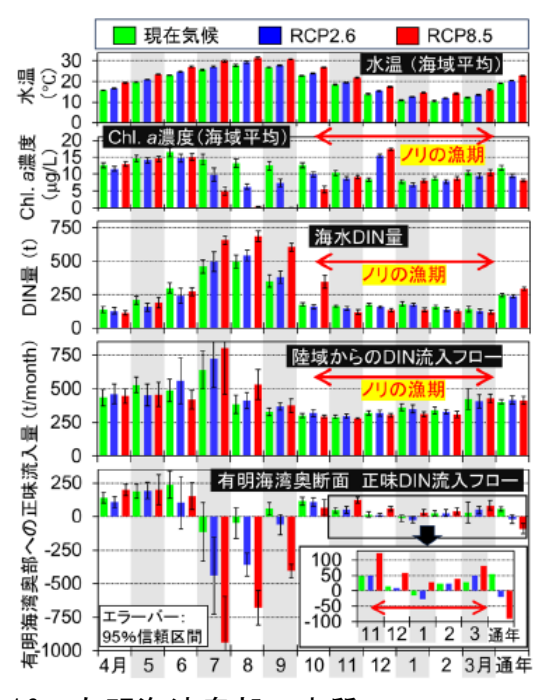
有明海・八代海の陸域流出 - 海域流動・水質・底質シミュレーションモデルを用いて、窒素循環に気候変動が及ぼす影響を予測した結果、有明海の窒素供給源は、DIN では外洋からの流入が陸域からの流入に匹敵した。気候変動の影響は DIN のフローに特に強く表れ、全体的に有明海・八代海から外洋への流出が強まる方向にフローが変化すると予測された 57) (付図 4.2.5-15)。その結果、有明海湾奥部の正味 DIN フローは、現在気候では湾央部からの流入であるのに対し、21 世紀末(RCP2.6 及び RCP8.5)の将来気候では流出に転じ、ノリの漁期である 11 年~3 月の海水 DIN 量が現在気候よりも減少すると予測された 57) (付図 10.5.10)

4.2.5-16)

1 2



付図 4.2.5-15 正味 DIN フローの季節性と気候変動の影響



付図 4.2.5-16 有明海湾奥部の水質・フローへの気候変動の影響

出典:東博紀、赤星怜、石崎紀子(2025)

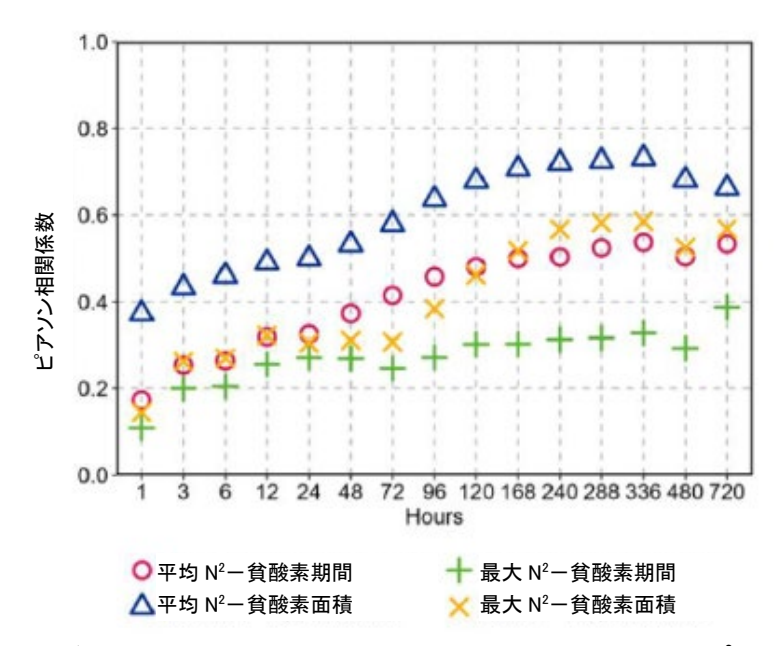
<sup>57)</sup> 東博紀,赤星怜,石崎紀子(2025) 気候変動が有明海・八代海の窒素循環に及ぼす影響.土木学会論文集特集号(海岸工学),81(17) (掲載予定).

# ③ 有明海の成層化と貧酸素水塊の発生規模・時間への影響

1 2

気候変動によると推測される大規模降雨により、有明海では成層化が進行し、鉛直混合と酸素供給を抑制し、結果的に貧酸素状態の頻度と深刻度を増大させていることから、出水後 720時間における成層強度(N²:14 日間の平均値、局所的な最大値)と貧酸素(DO<3mg/L)指標(面積・期間)との関係性についてピアソン相関注)を用いて解析した 58)。

この結果、平均成層強度は貧酸素面積と強い相関関係を示し、この傾向は出水後240~336時間でピーク(約0.75)に達していることから、長期にわたる成層化が貧酸素の空間的拡大に影響していることが示唆された(付図4.2.5-17)。一方で、最大成層強度と貧酸素面積との相関は比較的低い値(0.6未満)であり、最大成層強度は貧酸素状態を適切に反映していない可能性がある。また、貧酸素期間は、平均・最大成層強度とも、面積よりも相関係数が低い(0.6未満)ことから、貧酸素面積の方が成層強度に敏感であり、成層が強くなるほど貧酸素領域が拡大することが示唆された580。



付図 4.2.5-17 出水後の期間 (1~720 時間) における成層強度 (N<sup>2</sup>: 平均と最大) と 貧酸素指標 (面積・期間) のピアソン相関

注)ピアソンの相関係数(Pearson correlation coefficient)は、2 つの変数間の線形的な関係性の強さと方向を測定する統計指標で、-1 から1 の範囲の値を取る。

- +1: 完全な正の相関(片方が増加するともう片方も増加)
- 0: 相関なし(線形関係がない)

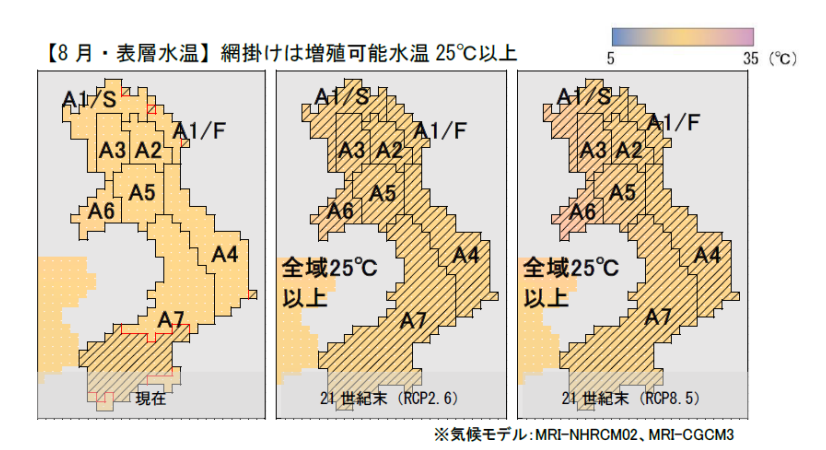
-1: 完全な負の相関(片方が増加するともう片方が減少)

出典:L.HAO, Z.SUN, A.SANADA, Y.MARUYA and S.YANO (2025)

<sup>58)</sup> Lin HAO, Zhaolin SUN, Ai SANADA, Yasuyuki MARUYA and Shinichiro YANO (2025): ASSESSING THE IMPACT OF SUMMER FLOODINDUCED STRATIFICATION ON HYPOXIA IN THE ARIAKE SEA USING BUOYANCY FREQUENCY AS AN EVALUATIVE INDICATOR, J.JSCE, Vol. 81(17).

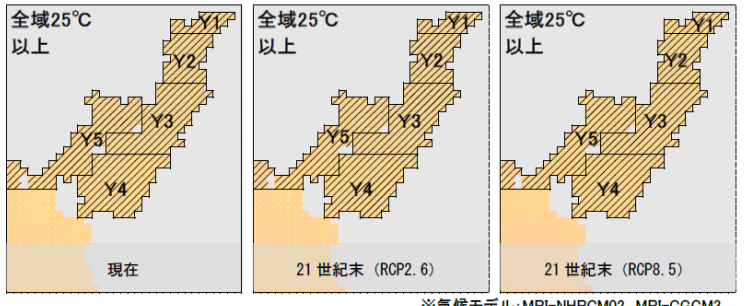
# ④ 気候変動による赤潮発生の将来予測

気候変動による有明海・八代海におけるシャトネラ赤潮の将来予測結果によると、21 世紀末 (RCP2.6)では、有明海では8月に、八代海では7月~9月にほとんどの区域で水温25℃を上回るため、シャトネラ赤潮が増殖しやすい水温となり、発生頻度が高くなる可能性が示唆された  $^{41)}$  (付図 4.2.5–18)。また、シャトネラ赤潮の増殖速度は有明海の一部海域では7月、八代海の多くの海域では6月に増殖速度が1を超える一方、珪藻類(スケルトネマ)の増殖速度は遅く なり、シャトネラ赤潮が発生しやすくなる可能性が示唆された  $^{41)}$  (付表 4.2.5–3)。



有明海における表層水温の変化

#### 【8月・表層水温】網掛けは増殖可能水温 25℃以上



※気候モデル: MRI-NHRCM02、MRI-CGCM3

八代海における表層水温の変化

付図 4.2.5-18 有明海・八代海における表層水温の変化

出典:地域適応コンソーシアム事業報告(2021)

付表 4.2.5-3 有明海・八代海の各海域における増殖速度 シャトネラの増殖速度(RCP2.6)

月		現在												
	A1	A2	A3	A4	A5	A6	A7	Y1	Y2	Y3	Y4	Y5		
6月	0.7	0.8	0.8	0.8	0.8	0.8	0.8	0.8	0.8	0.8	0.8	0.8		
7月	0.7	0.8	0.8	0.9	0.9	0.9	0.9	1.0	1.0	1.1	1.1	1.1		
8月	1.0	1.1	1.1	1.1	1.1	1.1	1.1	1.1	1.1	1.1	1.1	1.1		
9月	1.0	1.1	1.1	1.1	1.1	1.1	1.1	1.1	1.1	1.1	1.1	1.1		

月		21世紀末											
Я	A1	A2	A3	A4	A5	A6	A7	Y1	Y2	Y3	Y4	Y5	
6月	0.8	0.9	0.9	0.9	0.9	1.0	0.9	1.0	0.9	1.0	1.0	1.0	
7月	0.8	0.9	0.9	1.0	1.0	1.0	1.0	1.0	1.1	1.1	1.1	1.1	
8月	1.0	1.1	1.0	1.1	1.1	1.1	1.1	1.0	1.1	1.1	1.0	1.0	
9月	1.0	1.1	1.1	1.1	1.1	1.1	1.1	1.1	1.1	1.1	1.1	1.1	

※気候モデル: MRI-NHRCM02、MRI-CGCM3

### スケルトネマの増殖速度(RCP2.6)

月		現在											
Я	A1	A2	A3	A4	A5	A6	A7	Y1	Y2	Y3	Y4	Y5	
6月	2.6	2.7	2.7	2.7	2.7	2.7	2.7	2.7	2.7	2.7	2.8	2.8	
7月	2.5	2.6	2.6	2.6	2.6	2.6	2.6	2.5	2.4	2.4	2.3	2.3	
8月	2.4	2.3	2.3	2.3	2.3	2.3	2.4	2.1	2.1	2.1	1.9	1.9	
9月	2.4	2.4	2.4	2.3	2.4	2.3	2.3	2.4	2.5	2.4	2.3	2.3	

月		21世紀末											
Я	A1	A2	A3	A4	A5	A6	A7	Y1	Y2	Y3	Y4	Y5	
6月	2.6	2.6	2.5	2.6	2.6	2.5	2.6	2.5	2.6	2.6	2.6	2.6	
7月	2.4	2.4	2.4	2.4	2.4	2.4	2.4	2.3	2.2	2.2	2.1	2.1	
8月	2.2	2.1	2.1	2.1	2.0	1.9	2.1	1.8	1.9	1.8	1.6	1.6	
9月	2.3	2.2	2.2	2.2	2.2	2.2	2.1	2.3	2.3	2.3	2.1	2.2	

※気候モデル: MRI-NHRCM02、MRI-CGCM3

出典:地域適応コンソーシアム事業報告(2021)

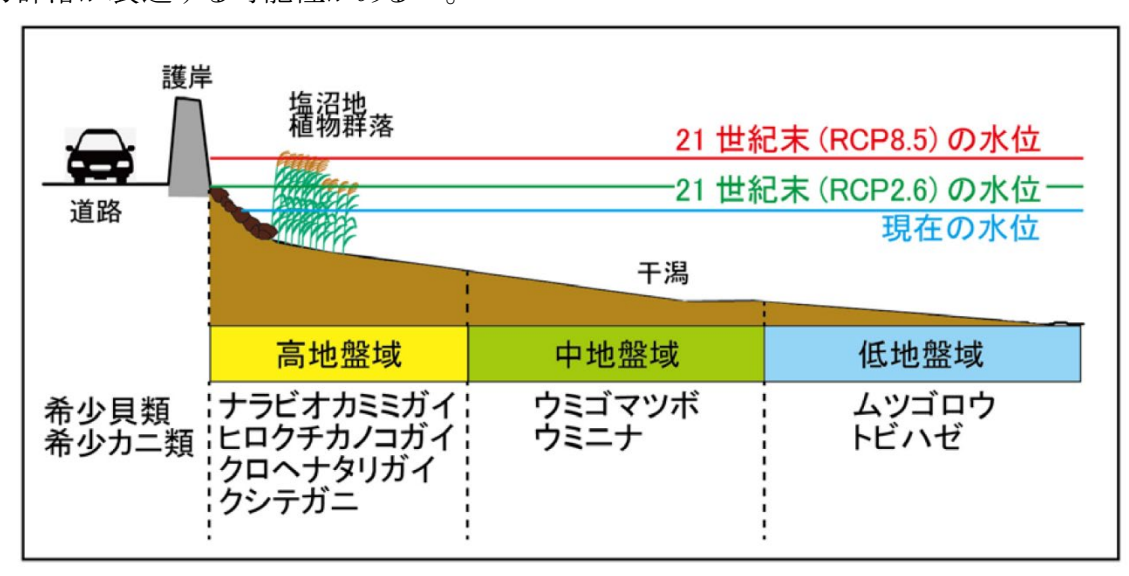
# ⑤ 気候変動による海面上昇と底生生物群集との関連

1 2

3 4

八代海湾奥部のモデル地区を対象とした現在と 21 世紀末(RCP2.6、RCP8.5)の水位の予測結果によると、低地盤域に分布する貝類・カニ類は現在よりも高地盤域へ移動することができるが、護岸沿いの高地盤域に分布する貝類・カニ類は現在の分布域よりも高い場所が堤防等によって分断されるため、移動することができない 410 (付図 4.2.5-19)。

また、水位上昇により冠水時間が長くなり、干潟域の底泥中の塩分が上昇するため、塩沼地植物群落が衰退する可能性がある<sup>41)</sup>。



付図 4.2.5-19 八代海湾奥部における希少貝類・希少カニ類の分布と 地盤高・水位(大潮満潮時)

出典:地域適応コンソーシアム事業報告(2021)

### ⑥ 気候変動によるアサリの生息への影響の将来予測

気候変動による有明海・八代海におけるアサリの生息の将来予測結果によると、21 世紀末 (RCP2.6)では、有明海・八代海でアサリの生息は現在と大きな変化はないが、21 世紀末 (RCP8.5)では、有明海・八代海の一部の海域で、1、2 月に 15  $\mathbb{C}$  を上回ることで、成長が速くなる可能性がある。8 月の水温は、有明海・八代海全域で生育可能な上限水温(35  $\mathbb{C}$ )に近くなることから、秋期の成熟時期の遅れや、高水温にさらされると代謝を抑え、活動を停止する「夏眠」に近い個体が発生する可能性がある  $^{41}$  (付図 4.2.5 -20)。また、貧酸素水や低塩分水などにさらされた際、アサリは殻を閉じ外界の水を遮断して耐えるが、持ちこたえられる時間は温度が高いほど短くなるため、これらの影響をより強く受けると考えられる  $^{22}$  。

10

30

31

32 33

34 35

36 37

38

39

40

41

42

1

2

3

4

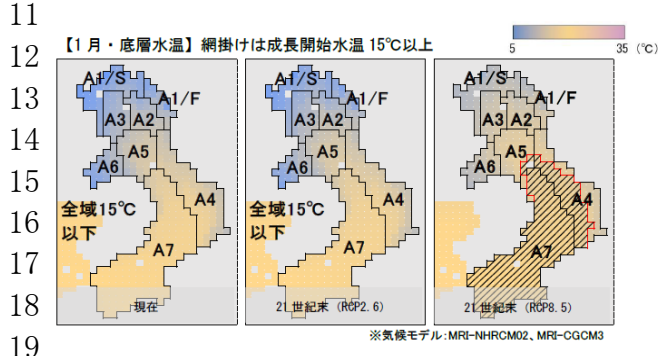
5

6

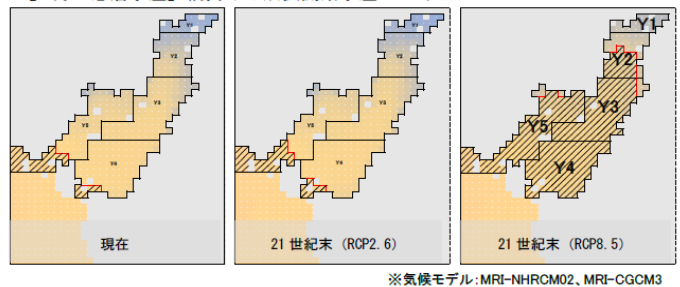
7

8

9

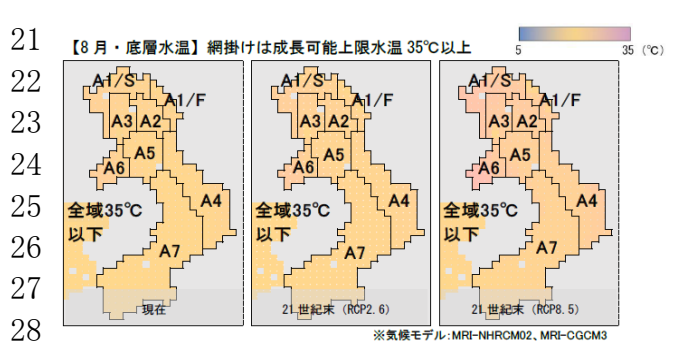


【1月・底層水温】網掛けは成長開始水温 15℃以上

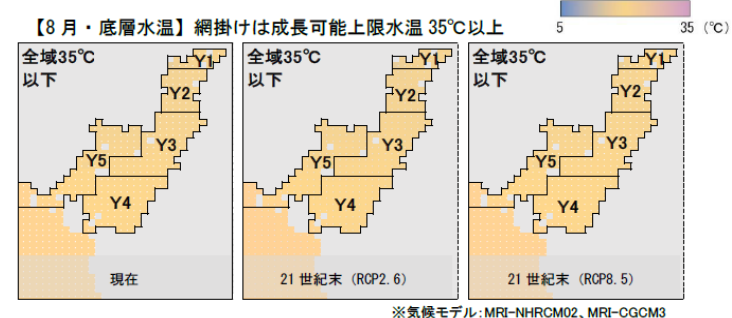


, 有明海における底層水温の変化(成長を開始する範囲)

八代海における底層水温の変化(成長を開始する範囲)



有明海における底層水温の変化(成長可能な範囲)



八代海における底層水温の変化(成長可能な範囲)

付図 4.2.5-20 有明海(左)・八代海(右)における底層水温の変化 (アサリの生息可能範囲)

出典:地域適応コンソーシアム事業報告(2021)

### エ) まとめ

### ① 有明海、八代海で確認されている影響

降水量・降水パターンの変化による影響については、豪雨が生じた 2020 年及び 2021 年に タイラギ、アサリ、サルボウが複数海域で大量死しており、豪雨の影響による低塩分化や貧酸素 水塊が大規模な範囲で長期間発生したためと推定されている。

赤潮発生への影響については、Chattonella のシストと栄養細胞のピークが、エルニーニョ直後の時期と一致することから、大規模な大気変動と地球規模の気象変化は、この地域における Chattonella の長期的な個体群動態に影響を与えている可能性がある。また、有明海及び八代

1 海における冬期の水温上昇による大型珪藻プランクトンの大量発生機構への関与が指摘され 2 ている。

貧酸素水塊への影響については、近年の気候変動によると推測される大規模豪雨による出水が、大量の淡水の湾内流入に起因する密度成層の強化や長期化により、貧酸素水塊の時空間的な大規模化を生じることが推測されており、有明海内の貧酸素水塊(DO<3mg/L)の最大面積、継続時間は、筑後川の出水イベントの総流出量と相関が強いことが分かった。また、貧酸素レベルごとの貧酸素水塊の最大面積は、1982年以降、拡大傾向にある。

# ② 有明海、八代海で将来想定される影響

有明海・八代海の海水交換や窒素循環への影響については、現在気候と比較して 21 世紀末(RCP8.5)には外海からの流入量が減少し、豪雨出水の増加により正味の通過流量が流出側に転じる頻度が約 5 倍に増加するほか、DIN フローは外洋への流出が強まり、ノリの漁期に当たる冬期の海水 DIN 量が減少することが予測された。

成層強度への影響については、大規模降雨により、有明海では成層化が進行し、鉛直混合と酸素供給を抑制し、結果的に貧酸素状態の頻度と深刻度を増大させており、モデル計算の結果、成層が強くなるほど貧酸素領域が拡大することが示唆された。

有明海・八代海におけるシャトネラ赤潮の将来予測結果によると、21 世紀末(RCP2.6)では、有明海では8月に、八代海では7月~9月にほとんどの区域で水温25℃を上回るため、シャトネラ赤潮が増殖しやすい水温となり、発生頻度が高くなる可能性が示唆された。

海面上昇による底生生物群集への影響については、八代海湾奥部において、低地盤域に 分布する貝類・カニ類は現在よりも高地盤域へ移動することができるが、護岸沿いの高地盤域 に分布する貝類・カニ類は堤防等によって現在より高い場所への移動が阻害されるほか、水位 上昇により冠水時間が長くなり、干潟域の底泥中の塩分が上昇するため、塩沼地植物群落が 衰退する可能性が指摘されている。

気候変動による水温上昇がアサリの生息にもたらす影響については、21 世紀末 (RCP8.5)の 予測結果では、有明海では、1、2 月に  $\mathbb{C}$  を上回ることで、成長が早くなる可能性があるが、8 月の水温は生育可能な上限水温 (  $\mathbb{C}$ ) に近くなることから、秋期の成熟時期の遅れや、高水 温にさらされると代謝を抑え、活動を停止する「夏眠」に近い個体が発生する可能性がある。